

T. C.  
ÇUKUROVA ÜNİVERSİTESİ  
TIP FAKÜLTESİ  
BİYOKİMYA ANABİLİM DALI

**ÇUKUROVA BÖLGESİNDE APO E POLİMORFİZMINİN KAN  
LİPİT PARAMETRELERİ ÜZERİNE ETKİSİ**

TEZ YÖNETİCİSİ  
**Prof. Güneş T. Yüregir**

UZMANLIK TEZİ  
**Dr. H. Gülcin Eskandari**

ADANA - 1997

Ateroskleroz, genetik ve çevresel faktörlerin etyopatogenezinde rol aldığı multifaktöryel hastalıklardandır. Özellikle gelişmiş batı toplumlarında, yüksek mortaliteyle seyretmesi nedeniyle bir halk sağlığı sorunu olarak ele alınmaktadır. Ülkemizde de, çevresel risk faktörlerine yönelik çalışmalar bulunmasına karşın, hastalığın genetik temeline yönelik veriler son derece sınırlıdır. Ateroskleroz patogenezinde rol oynadığı düşünülen genetik faktörlerden olan apolipoprotein E polimorfizmini yöremizde çalışarak, bu alandaki araştırmalara katkıda bulunduğumuz inancındayım.

Çalışmalarım süresince, bilgi ve birikimleriyle beni destekleyen ve bilimsel çalışmalar için beni özendiren tez danışmanım ve sevgili hocam Prof. Güneş T. Yüregir'e teşekkürü bir borç bilirim.

Uzmanlık eğitimim boyunca gerek bilimsel, gerek sosyal katkılarını esirgemeyen Biyokimya Anabilim Dalı öğretim üyelerine, çalışma arkadaşlarına ve bölüm çalışanlarına ayrı ayrı teşekkür ederim.

Tez çalışmamı TF.95-U.53 nolu proje ile destekleyen Ç. Ü. Rektörlüğü Araştırma Fonu'na ayrıca teşekkür ederim.

Dr. H. Gülçin Eskandari

Adana/1997

# İÇİNDEKİLER

<b>Şekil Listesi.....</b>	<b>iv</b>
<b>Tablo Listesi.....</b>	<b>v</b>
<b>Özet.....</b>	<b>vi</b>
<b>Abstract.....</b>	<b>vii</b>
<b>I. Giriş ve Amaç.....</b>	<b>1</b>
<b>II. Genel Bilgiler.....</b>	<b>3</b>
1. Lipitler.....	3
2. Plazma Lipoproteinleri.....	3
3. Lipoprotein Metabolizması.....	7
3.1. Apo B içeren Lipoproteinlerin Sentez ve Katabolizması.....	7
3.2. HDL sentez ve Katabolizması.....	17
4. Apolipoprotein E.....	19
4.1. Vücutta Dağılımı.....	19
4.2. Yapısal Özellikleri.....	20
4.3. Gen Yapısı.....	20
4.4. Katıldığı Metabolik Olaylar.....	23
4.4.1. Farklı organların hücreleri arasında lipitlerin dağılımı.....	23
4.4.2. Bir organ ya da dokuda hücreler arasında lipitlerin dağılımı.....	24
4.4.3. Lipit transportu ile ilgili olmayan fonksiyonları.....	24
4.5. Polimorfizmi.....	24
4.6. Kardiyovasküler Hastalıklarda Apo E Polimorfizmi.....	26
4.7. Apo E Polimorfizmi ve Alzheimer Hastalığı.....	29
<b>III. Gereç ve Yöntemler.....</b>	<b>31</b>
1. Araç ve Gereçler.....	31
1.1. Cihazlar.....	31
1.2. Kimyasal Maddeler.....	31
1.3. Kitler.....	32

<b>2. Örnek Toplama.....</b>	<b>32</b>
<b>3. Analiz Yöntemleri.....</b>	<b>33</b>
<b>3.1. Lipoprotein Elektroforezi.....</b>	<b>33</b>
<b>3.2. Total Kolesterol Tayini.....</b>	<b>33</b>
<b>3.3. LDL Kolesterol Tayini.....</b>	<b>35</b>
<b>3.4. HDL Kolesterol Tayini.....</b>	<b>35</b>
<b>3.5. Trigliserit Tayini.....</b>	<b>36</b>
<b>3.6. Apolipoprotein AI Tayini.....</b>	<b>38</b>
<b>3.7. Apolipoprotein B Tayini.....</b>	<b>39</b>
<b>3.8. Lipoprotein (a) Tayini.....</b>	<b>40</b>
<b>3.9. Tam Kandan DNA Eldesi.....</b>	<b>43</b>
<b>3.10. PCR ile Apo E Geninin Amplifikasyonu.....</b>	<b>45</b>
<b>3.10.1. Amplifikasyon koşulları.....</b>	<b>46</b>
<b>3.10.2. PCR programı.....</b>	<b>48</b>
<b>3.10.3. Amplifikasyon kontrolü.....</b>	<b>48</b>
<b>3.11. RFLP ile Apo E Genotipinin Saptanması.....</b>	<b>48</b>
<b>3.12. Elektroforez.....</b>	<b>49</b>
<b>4. İstatistiksel Analiz.....</b>	<b>50</b>
<b>IV. Bulgular.....</b>	<b>51</b>
<b>V. Tartışma.....</b>	<b>68</b>
<b>VI. Sonuç.....</b>	<b>79</b>
<b>VII. Kaynaklar.....</b>	<b>80</b>

## **ŞEKİL LİSTESİ**

<b>Şekiller</b>	<b>Sayfa Numarası</b>
Şekil 1	4, 5
Şekil 2	9
Şekil 3	10
Şekil 4	11
Şekil 5	12
Şekil 6	14
Şekil 7	16
Şekil 8	18
Şekil 9	21
Şekil 10	22
Şekil 11	22
Şekil 12	27
Şekil 13	28
Şekil 14	47
Şekil 15	53
Şekil 16	54
Şekil 17	55
Şekil 18	55
Şekil 19	56
Şekil 20	57
Şekil 21	57
Şekil 22	58
Şekil 23	61
Şekil 24	62
Şekil 25	62
Şekil 26	63
Şekil 27	63
Şekil 28	64

## **TABLO LİSTESİ**

<b>Tablolar</b>	<b>Sayfa Numarası</b>
Tablo I	6
Tablo II	7
Tablo III	13
Tablo IV	25
Tablo V	25
Tablo VI	28
Tablo VII	34
Tablo VIII	35
Tablo IX	36
Tablo X	37
Tablo XI	38
Tablo XII	40
Tablo XIII	41
Tablo XIV	46
Tablo XV	49
Tablo XVI	51
Tablo XVII	52
Tablo XVIII	52
Tablo XIX	53
Tablo XX	58
Tablo XXI	59, 60
Tablo XXII	65
Tablo XXIII	66
Tablo XXIV	67
Tablo XXV	67
Tablo XXVI	67
Tablo XXVII	68
Tablo XXVIII	69
Tablo XXIX	72
Tablo XXX	74

## ÖZET

### Çukurova Bölgesinde Apo E Polimorfizminin Kan Lipit Parametreleri Üzerine Etkisi

Apolipoprotein E lipoprotein metabolizmasında esansiyel öneme sahip, özellikle trigliseritten zengin lipoprotein kalıntılarının düşük dansiteli lipoprotein (B,E) reseptörü ve hepatik kalıntı (E) reseptörüne bağlanmalarında ligant olarak fonksiyon gören bir glikoproteindir. Apo E geninin polimorfik doğasından kaynaklanan sık görülen üç apo E alleli tanımlanmıştır. Bu alleller üç apo E izoformunun oluşumundan sorumludur. Üç izoformun 112. ve 158. amino asit dizisinde farklılık vardır. Farklı apo E izoformları lipoprotein seviyeleri üzerinde bireyler arası varyasyonda önem kazanmaktadır.

Adana ili Yemişli köyü ve hastaneye başvuran, sağlıklı görünen 75 olgudan alınan kan örneklerinde lipit parametreleri yanında, DNA'ları elde edilip, amplifiye edildikten sonra restriksiyon tipleme yöntemi (RFLP) ile apo E genotipleri saptandı. Ateroskleroz açısından risk faktörleri olarak kabul edilen total kolesterol, LDL kolesterol, apolipoprotein B ve lipoprotein (a) yüksekliği ile HDL kolesterol ve apolipoprotein AI düşüklüğü özellikle erkek populasyonu tehdit etmektedir. Apo E genotipleri sıklığı 2/2 %0, 2/3 %10.7, 2/4 %2.7, 3/3 %68.0, 3/4 %17.3 ve 4/4 %1.3 olarak saptandı. Apo E genotipleri sıklığı Yemişli köyü ile hastaneye başvuran olgular arasında farklılık taşımaktaydı. İstatistiksel değerlendirmeye alınan üç apo E genotipinin ( 2/3, 3/3 ve 3/4) HDL kolesterol dışında lipit parametreleri üzerine anlamlı bir etkisinin olmadığı saptandı. Olgu sayısının artırılmasıyla tüm genotipleri kapsayacak şekilde çalışmanın genişletilmesi gerektiği düşünüldü.

**Anahtar Sözcükler:** apolipoprotein E, lipit parametreleri, ateroskleroz, RFLP, apo E genotip sıklığı

## **ABSTRACT**

### **The Effect of Apo E Polymorphism on Blood Lipid Parameters in Çukurova Region**

Apolipoprotein E plays a central role in lipoprotein metabolism. It serves as a ligand for the binding of triglyceride rich lipoprotein remnants to the LDL and the hepatic remnant receptors. Apo E gene is polymorphic, that codes for three apo E isoforms. The isoforms differ by amino acid substitutions at one or both 112. and 158. position. The genetic variation in apo E have significant impact on interindividual-variation of lipoprotein levels in normal subjects.

Samples were obtained from a village of Adana and the people who administered to Biochemistry Department to search their lipid profiles. Apo E genotypes according to the restriction fragment length polymorphism (RFLP) method and lipid parameters of 75 blood samples were analyzed. High levels of total-LDL cholesterol, apolipoprotein B, and lipoprotein (a), and low levels of HDL cholesterol and apolipoprotein AI, were encountered as risk factors of atherosclerosis in male population. The frequency of apo E genotypes of the population were found as 2/2 %0, 2/3 %10.7, 2/4 %2.7, 3/3 %68.0, 3/4 %17.3 and 4/4 %1.3. The frequency of apo E genotypes were different between the village and city populations. Impact of apo E genotypes on lipid parameters of 2/2, 3/3 and 3/4 groups were analyzed statistically. It is observed that only the HDL cholesterol levels were affected by apo E polymorphism.

**Key Words:** apolipoprotein E, lipid parameters, atherosclerosis, RFLP, frequency of apo E genotype

## GİRİŞ VE AMAÇ

Ateroskleroz, yunanca *lapa* + *kitle* + *katı* anımlarına gelen 'athero' + 'oma' + 'scleros' kelimelerinden türetilmiş, damar duvarında dejeneratif değişiklikler sonucunda gelişen bir hastalık sürecidir. Temel patoloji damar lümenindeki daralmadır. Bunun sonucunda hücrelere oksijen ve besin maddelerinin yeterli ya da hiç ulaşamaması ve arterilerin uzaklaştırılamaması ile iskemi ya da infarktüs tablosu ortaya çıkmaktadır. (82)

Gelişmiş batı toplumlarında ateroskleroza bağlı olarak gelişen kardiyovasküler hastalıklar ölüm nedenlerinin %35-40'ını oluşturmaktadır. Bizim toplumumuzda da, yeterli istatistiksel veri bulunmamakla beraber, yağ ve kalori içeriği yüksek besinlerin aşırı tüketimi, sigara içimi, obesite ve sedanter yaşam biçimi gibi çevresel faktörlerin varlığı göz önünde bulundurulduğunda, ateroskleroza bağlı mortalitenin hiç de düşük olmayacağı tahmin edilebilmektedir. Ateroskleroz patogenezinde çevresel faktörler yanında, genetik faktörlerin de rol alması, hastalığı diebetes mellitus, gut ve esansiyel hipertansyonun da yer aldığı multifaktöryel hastalıklar grubuna dahil etmektedir. (4, 48)

Apolipoprotein E (apo E) polimorfizmi ateroskleroz patogenezinde rol oynayan genetik faktörlerdendir. İlk olarak 1973 yılında Shore ve arkadaşları tarafından çok düşük dansiteli lipoproteinin (VLDL) bir komponenti ve 'argininden zengin apolipoprotein' olarak tanımlanmıştır. Esas olarak karaciğerde sentezlenmeye beraber birçok dokuda, değişik hücrelerce de sentezlenebildiği yapılan çalışmalarla gösterilmiştir. Apo E'nin reseptörlerle olan ilişkisinden dolayı lipoprotein metabolizmasında belirleyici bir rol oynadığı bilinmektedir. Trigliseritten zengin lipoproteinler olarak bilinen şilomikron ve VLDL artıklarının plazmadan uzaklaştırılmasında apo E aracılık etmektedir. (47, 74)

Erken koroner kalp hastalığının görüldüğü tip III hiperlipoproteinemi hastalarda farklı bir apo E izoformunun saptanması sonucunda bu konuya olan ilgi artmıştır. Moleküler biyoloji tekniklerindeki gelişmelere paralel olarak da, apo E geninin çoklu allellerdenoluştugu ve polimorfik bir doğasının bulunduğu saptanmıştır. ε2, ε3 ve ε4 olarak adlandırılan üç sık görülen allele, sırasıyla E2, E3 ve E4 izoformlarını kodlamaktadır. Diğer çevresel ve genetik faktörler göz önünde

bulundurulmadığında, apo E3 izoformunu taşıyan bireylerde normal bir lipit metabolizması gözlenirken, diğer apo E izoformları farklılıklara neden olmaktadır. (29, 74)

Üç majör apo E alleli ve bunların protein ürünlerinin, plazma lipit parametreleri üzerine önemli etkilerinin bulunmasından yola çıkılarak, apo E polimorfizminin ateroskleroza yatkınlığı belirlemede majör bir rol oynayabileceği ileri sürülmüştür. Aterosklerozun özellikle gelişmiş toplumlarda önemli bir halk sağlığı sorunu olması, apo E üzerinde çalışmaların yoğunlaşmasına neden olmuştur. Değişik populasyonlarda tarama çalışmalarıyla, apo E izoformlarının görülme sıklığı ve ateroskleroz gelişiminde etkili olan plazma lipit parametreleri ile olan ilişkisi saptanmıştır. (19)

Biz de bu çalışmamızda ateroskleroz ve koroner arter hastalığının sık görüldüğü Çukurova Bölgesi'nde majör apo E izoformlarının görülme sıklığını ve bunların plazma lipit parametreleri ile olan ilişkisini, bunun yanında, henüz yayınlanmamış olan tarama sonuçlarına göre plazma lipit parametrelerinin normalden sapma gösterdiği Adana ili Yemişli köyü ile hastaneye başvuran, sağlıklı görünen kişiler arasında apo E genotipleri dağılımı açısından farklılık olup olmadığını saptamayı amaçladık .

# **GENEL BİLGİLER**

## **1. Lipitler**

Lipitler, kloroform, eter, benzen gibi nonpolar çözücülerde çözünen, organik bileşiklerden oluşan heterojen bir gruptur. Yağ asitleri, kolesterol, fosfolipitler ve glikosfingolipitler majör polar lipitler olup, hidrofobik ve hidrofilik yapıları birlikte içermelerinden dolayı suda çözünürlükleri sınırlıdır. Nonpolar lipitler ise trigliseritler veコレsterol esterleridir. Lipitler:

- ısı yalıtımda,
- enerji deposu olarak,
- membran komponenti olarak,
- steroid hormonlar ve vitamin D metabolitlerinin sentezinde,
- prostanoïdler ve lökotrienlerin prekürsörü olarak,
- A, D, E ve K vitaminlerinin emiliminde,
- ekspirasyonda alveoler duvarların yüzey gerilimini azaltan surfaktan oluşumunda ve
- kendi sindirim ve emilimlerinde emülsifiye edici ajan olarak fonksiyon görürler. (6, 51)

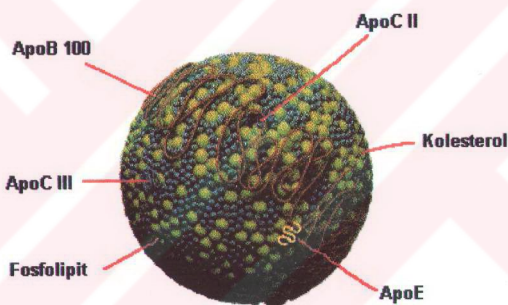
## **2. Plazma Lipoproteinleri**

Suda çözünmeyen lipitlerin, plazmada çözünebilir lipit ve protein kompleksleri halinde taşınması için oluşturulan makromoleküllere lipoproteinler denir. Lipoproteinler, trigliserit veコレsterol esterlerinden oluşan hidrofobik bir çekirdek ile serbestコレsterol, fosfolipit ve spesifik proteinlerin kapladığı yüzey tabakasından meydana gelen küresel partiküler şeklindedirler (Şekil 1). İçerdikleri spesifik proteinlere apolipoproteinler denir. Apolipoproteinler, lipoprotein metabolizmasında :

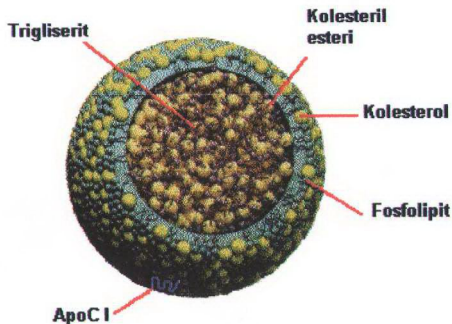
- enzim kofaktörü olarak,
- lipit transfer proteinleri gibi davranışarak ve
- dokularda lipoprotein reseptörleri ile ilişkide ligant olarak önemli fonksiyonlar görürler (Tablo I). (33, 50, 73, 80)

Lipoproteinler dansite gradyent ultrasantrifügasyonu ile izole edilerek sınıflandırılmışlardır. Lipoproteinlerin dansitesi boyutları ile ters bir ilişki göstermektedir; düşük dansite nonpolar kor lipitlerinin, yüksek dansite ise yüzey proteinlerinin fazlalığını yansımaktadır. Dansiteleri, yapısal ve fonksiyonel özelliklerine göre lipoproteinler şilomikron, VLDL, IDL, LDL, HDL ve Lp (a) olmak üzere altı sınıfa ayrılmaktadır (Tablo II). Ayrıca HDL kendi içinde HDL<sub>2</sub> ve HDL<sub>3</sub> olarak ayrılır. Elektroforetik özelliklerine göre şilomikron,  $\alpha$ , pre- $\beta$  ve  $\beta$  lipoproteinler olarak da ayırmayı yapılabilmektedir. Yapısal olarak; en büyük iki sınıfı temel içerikleri trigliserit olan VLDL ve şilomikron oluştururken, kolesterol ve fosfolipitleri fazla içeren LDL, HDL<sub>2</sub> ve HDL<sub>3</sub> en küçük lipoproteinlerdir. (33, 51, 80)

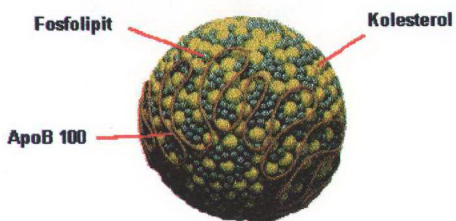
**VLDL'nin yüzeyden görünümü**



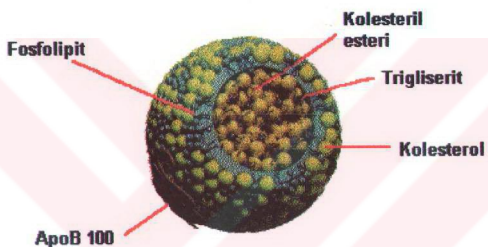
**VLDL'nin çekirdek kısımının görünümü**



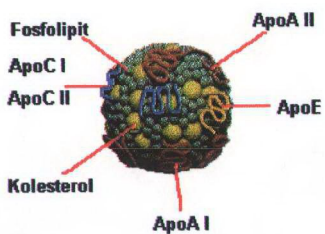
#### LDL'nin yüzeyden görünümü



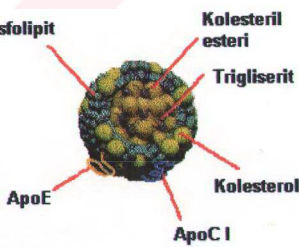
#### LDL'nin çekirdek kısmının görünümü



#### HDL'nin yüzeyden görünümü



#### HDL'nin çekirdek kısmının görünümü



Şekil 1. VLDL, LDL ve HDL lipoproteinlerin içerdikleri lipitler ve proteinlerin hem yüzeyden, hem de çekirdek kısmından gösterimi

Tablo I. Lipoproteinlerde yer alan apolipoproteinlerin genel özellikleri

Apolipoprotein	Kromozom	M. A. (kDa)	Amino Asit Sayısı	Sentez Yeri	Lipoprotein Dağılımı
A I	11	~28	243	karaciğer, ince barsak	HDL, şilomikron
A II	1	~17	77	karaciğer	HDL
A IV	11	~45	376	ince barsak	HDL, şilomikron
B - 48	2	~246	2152	ince barsak	şilomikron
B - 100	2	~513	4536	karaciğer	VLDL, IDL, LDL
C I	19	~6.6	57	karaciğer	HDL, VLDL, şilomikron
C II	19	8.9	79	karaciğer	HDL, VLDL, şilomikron
C III	11	8.8	79	karaciğer	HDL, VLDL, şilomikron
E	19	~34	299	karaciğer, beyin, deri, testis, dalak	HDL, VLDL, şilomikron
apo (a)	6	~400-800	4-6000	karaciğer	lipoprotein (a)
D	3	~22	169	karaciğer, ince barsak	HDL

**Tablo II. Lipoprotein sınıfları**

Sınıf	Kaynağı	Dansitesi	Elektroforetik Mobilitesi	Başlıca Lipitleri
<b>Şilomikron</b>	İnce Barsak	<0.95	Aplikasyon noktası	%86 Trigliserit
<b>VLDL</b>	Karaciğer	0.95-1.006	Pre-β	%55 Trigliserit %18 Fosfolipit
<b>IDL</b>	VLDL	1.006-1.019	Yavaş Pre-β	%38 Kolesterol %23 Trigliserit
<b>LDL</b>	IDL	1.019-1.063	β	%50 Kolesterol %22 Fosfolipit
<b>HDL<sub>2</sub></b>	Karaciğer İnce Barsak	1.063-1.125	α	%40 Protein %33 Fosfolipit
<b>HDL<sub>3</sub></b>		1.125-1.210	α	%55 Protein %35 Fosfolipit
<b>Lp (a)</b>	Karaciğer	1.040-1.090	Yavaş Preβ	LDL'ye Benzer

### 3. Lipoprotein Metabolizması

#### 3.1. Apo B İçeren Lipoproteinlerin Sentez ve Katabolizması:

Şilomikronlar ve VLDL sırasıyla enterosit ve hepatositlerin endoplazmik retikulumunda sentezlenirler. Daha sonra golgi apereyine transfer edilerek, sekretuar veziküller içinde paketlenirler. Ekzositoz ile ekstrasellüler boşluğa aktarılırlar. Şilomikronlar intestinal lakteallere geçerken, VLDL de hepatik sinüzoidal endotelde bulunan pencerelerden kana geçer. (33, 34)

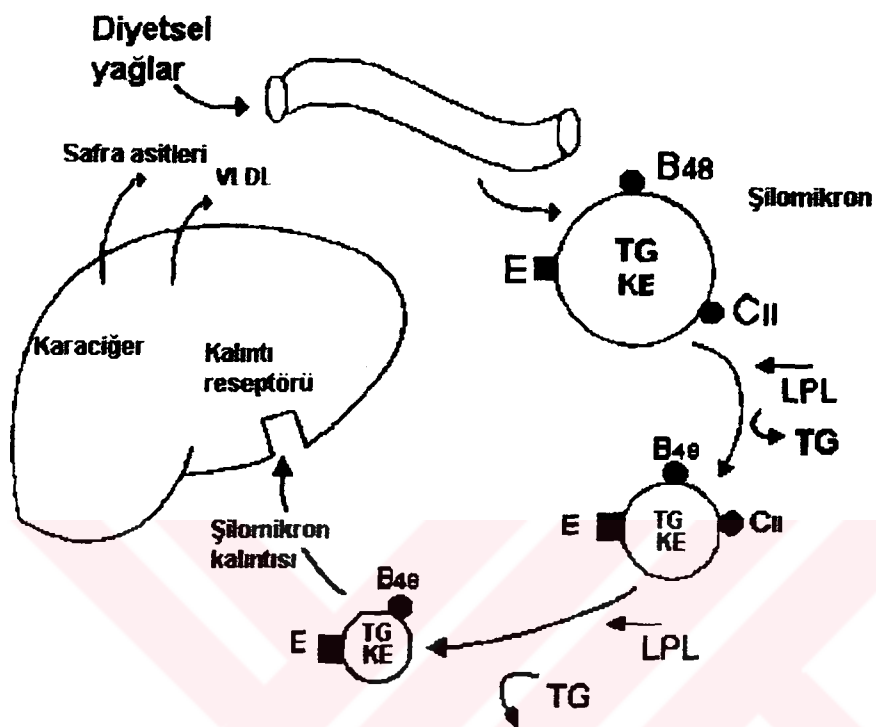
Henüz olgunlaşmamış şilomikronlar yeni emilmiş yağ asitlerini trigliserit olarak içerirler. Enterositlerde sentezlenen apo B-48 ve A apoproteinlerini yapılarında bulundururlar. Torasik duktus yoluyla genel kan dolaşımına geçerler.

HDL'den transfer ile apo C'leri ve E'yi de kazanarak, olgun şilomikron halini alırlar. Kapiller endotelyal hücrelerin yüzeyinde bulunan lipoprotein lipaz enzimine bağlanarak, içerdikleri trigliseritler hidroliz olur (Şekil 4). Apo CII ve fosfolipidler lipoprotein lipaz enziminin aktivatörü olarak rol oynarlar. Eş zamanlı olarak fosfolipidlerinin bir kısmı, A ve C apoproteinleri HDL'ye transfer olur. Trigliserit içeriğini %80-90 oranında yitirerek, göreceli olarak kolesterolce zenginleşen yapıya da şilomikron kalıntısı denir. Şilomikron kalıntıları hepatositlerde bulunan şilomikron kalıntı reseptörlerine apo E aracılığı ile bağlanırlar. Ekstrahepatik dokularda şilomikron metabolizmasının ilk basamağında, trigliseritlerin yağ asitleri adipositlere depolanmak üzere, diğer dokulara oksidasyon amacıyla alınırlar. Salınan yağ asitlerinin bir kısmı ise albumine bağlanarak değişik dokulara taşınırlar. Şilomikron metabolizmasının ikinci basamağında ise geriye kalan trigliseritler ve diyetsel kolesterolün tamamı hepatositlere taşınır (Şekil 2). (32, 38, 95, 96)

VLDL, hepatositlerdeki fazla trigliseritin (lipogenezle sentezlenen, serbest yağ asiti ve şilomikron kalıntısı olarak karaciğere taşınan) periferik dokulara depolanmak ya da oksidasyon amacıyla kullanılmak üzere taşınmasını sağlar. Ogunlaşmamış VLDL apo B-100, az miktarda da E ve C apoproteinlerini içerir. Sekresyondan sonra şilomikronlarda olduğu gibi HDL'den protein transferi gerçekleşir. VLDL metabolizmasının ilk basamağı, şilomikronunkine benzer şekilde, lipoprotein lipaz enziminin hidrolitik etkisiyle VLDL kalıntısının oluşmasıdır (Şekil 4). VLDL trigliseritlerinin hidroliz hızı şilomikron trigliseritlerine oranla daha yavaştır. Bunun, VLDL'nin çap olarak daha küçük olması ve daha az enzim bağlanması ile ilgili olduğu düşünülmektedir. (33, 38, 95)

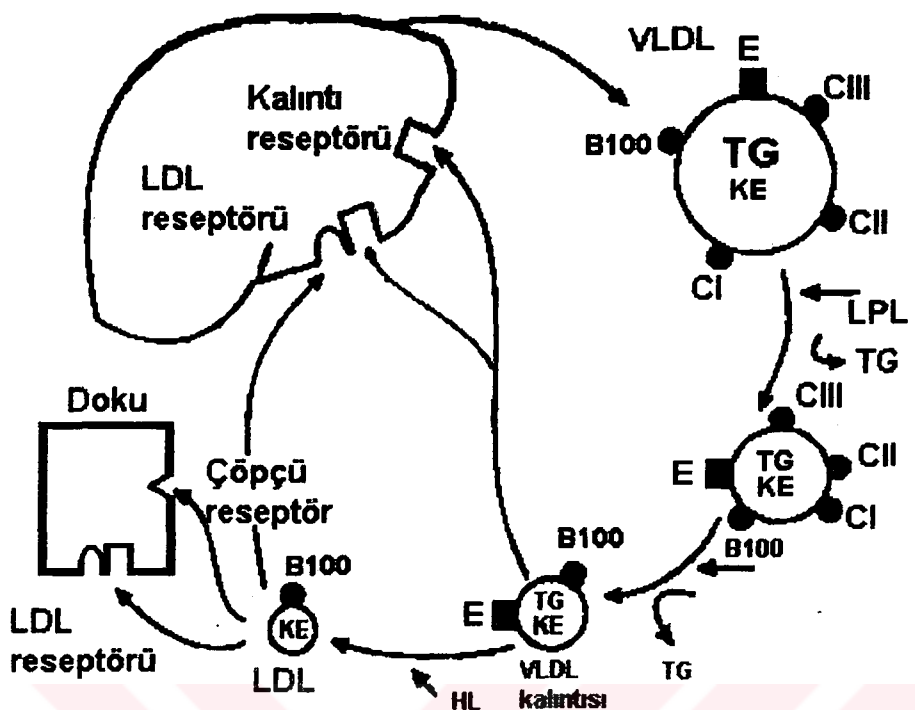
VLDL kalıntıları hepatositlerdeki LDL ve kalıntı reseptörlerine apo E aracılığıyla bağlanırlar. VLDL kalıntısı ne kadar çok apo E içerirse, reseptöre o kadar yüksek affinitiyle bağlanmakta ve kanın kalıntıdan temizlenmesi hızlanmaktadır. Yüksek affinitiyle bağlananlar fazla apo E içeren, büyük çaplı VLDL kalıntılarıdır. Daha küçük çaplı VLDL kalıntıları daha az apo E içerirler ve IDL olarak plazmadan izole edilebilirler. IDL hepatik lipaz enziminin etkisiyle trigliseritlerini daha da kaybederek LDL'yi oluşturmaktadır. LDL apo E içermez,

fakat karaciğerde ve ekstrahepatik dokularda bulunan LDL reseptörlerine B-100 proteiniyle monovalent olarak bağlanır (Şekil 3). (33, 34, 96)

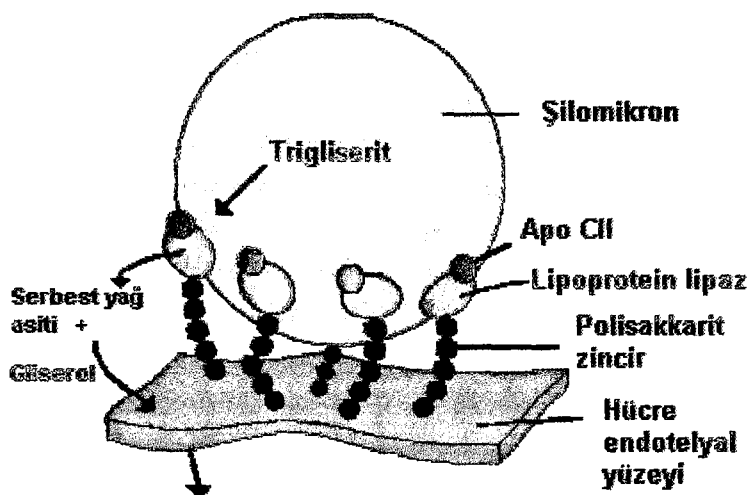


Şekil 2. Şilomikron metabolizması. Diyetsel yağlar enterositlerde şilomikron sentezine katılarak, genel dolaşımı geçerler. Temel apolipoproteini B48'dir. Dolaşında apo E ve C'leri de kazanır. Lipoprotein lipaz (LPL) enziminin etkisiyle trigliseritlerini kaybeden şilomikron, göreceli olarak kolesterolce zenginleşir. Hepatositlerin yüzeyinde bulunan kalıntı reseptörlerine apo E aracılığıyla bağlanarak, hücre içine alınır.

TG: Trigliserit, KE: Kolesterol esteri



**Şekil 3.** VLDL ve LDL metabolizması. Karaciğerden salınan VLDL trigliseritten zengindir ve yapısında apo B 100, E ve C'leri içerir. Lipoprotein lipaz (LPL) enziminin etkisiyle trigliseritlerini kaybeden VLDL, göreceli olarak kolesterolce zenginleşir. Bazı VLDL kalıntıları apo E'nin aracılık ettiği LDL ve kalıntı reseptörlerince hepatositler tarafından hücre içine alınırlar. VLDL kalıntılarının bir kısmı da, hepatik lipaz (HL) etkisiyle trigliseritlerini daha da kaybederek LDL'yi oluştururlar. LDL apo B 100 aracılığıyla, karaciğer ve periferik dokularda bulunan LDL reseptörleri tarafından hücre içine alınır. LDL'nin bir kısmı da çöpçü (scavenger) reseptörlerce dokular tarafından alınır. TG: Trigliserit, KE: Kolesterol esteri



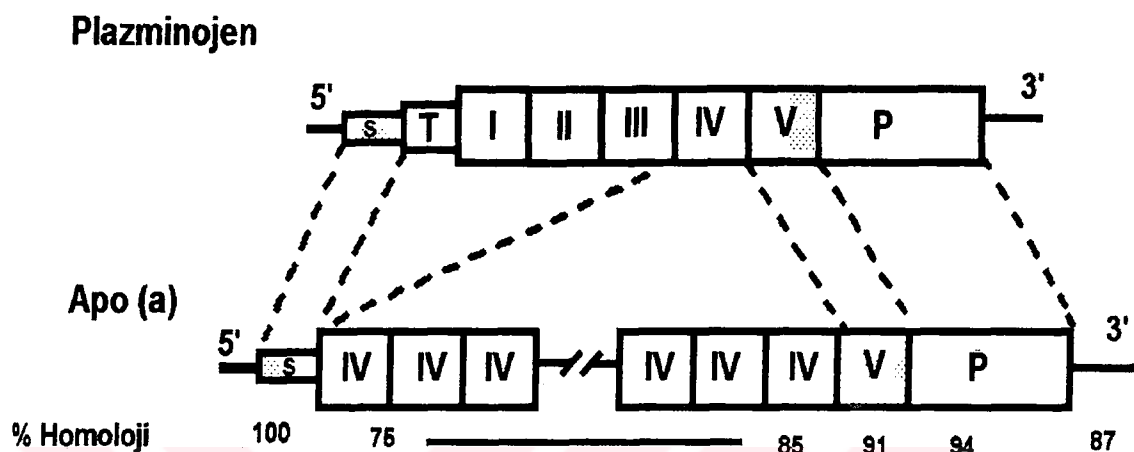
**Şekil 4.** Şematik olarak şilomikronun lipoprotein lipaz enzime bağlanması. Enzim hücre yüzeyine polisakkart zincirle bağlıdır. Apo CII'nin de kofaktör olarak rol almasıyla şilomikron ve VLDL trigliseritlerini hidroliz eder.

Apo B-100 içeren bir diğer lipoprotein olan Lp (a) ilk olarak 1963 yılında Kare Berg tarafından LDL'nin antijenik bir varyantı olarak tanımlanmıştır. Fakat kısa bir süre sonra LDL'nin varyantı olmadığı, farklı bir lipoprotein olduğu görülmüştür. Protein komponentinin kompleks olmasından dolayı moleküler biyoloji tekniklerindeki gelişmeye rağmen yapısı pek aydınlatılamamıştır. Lp (a), iki farklı komponenti olan kompleks bir yapıya sahiptir. LDL'den oluşan bir lipoprotein fraksiyonu ile yüksek moleküler ağırlıklı bir glikoprotein olan apo (a)'dan oluşmaktadır. Mc Lean ve arkadaşları tarafından apo (a) klonlanarak baz dizisi saptanmış ve plazminojen ile olan homolojisi gösterilmiştir. (75, 93)

Plazminojen fibrinolitik sistemin bir parçasıdır. Bir çeşit Danimarka peynirine benzerliğinden dolayı 'kringle' olarak adlandırılan yapıları içermektedir. 80-90 amino asit dizisinden oluşan kringle yapısında, stabilizasyon amacıyla üç disülfit köprüsü yer almaktadır. Plazminojen farklı amino asit dizilimlerine sahip, romen rakamları ile KI, KII, KIII, KIV ve KV olarak adlandırılan beş değişik kringle içermektedir. (53)

Apo (a) plazminojenden çok daha büyük bir yapıya sahiptir. Bunun nedeni, apo (a)'nın tekrarlayan KIV parçalarını içermesidir. Plazminojende bulunan KI, KII ve KIII apo (a)'da bulunmazken, bir proteaz olan KV'i her iki molekül de

icermektedir (Şekil 5). Fakat plazminojende aktivasyon bölgesinde bulunan arginin-valin, apo (a)'da yerini serin-izolösin'e bırakmıştır. Bu da apo (a)'nın plazmin benzeri proteaz aktivitesi göstermediğini düşündürmektedir. ( 5, 28, 30, 53, 89, 90, 93)



Şekil 5. Apo (a) ve plazminojen cDNA yapısı. İki molekülün farklı parçaları arasındaki homoloji % olarak verilmektedir.

S: Sinyal peptit, P: Proteaz domaini

I, II, III, IV ve V: Kringle'lar

Lp (a)'nın LDL ve apo (a) fraksiyonları birbirlerine tek bir disülfit bağı ile bağlanmaktadır. Bu bağ, apo (a)'nın 36. K IV'ünün sisteini ile apo B 100'ün karboksi terminalinde bulunan bir diğer sistein arasında gerçekleşmektedir (Şekil 6). Ayrıca apo (a) ile B 100 arasında nonkovalen bağların olduğunu da inanılmaktadır, fakat bunlar henüz aydınlatılamamıştır. (53, 93)

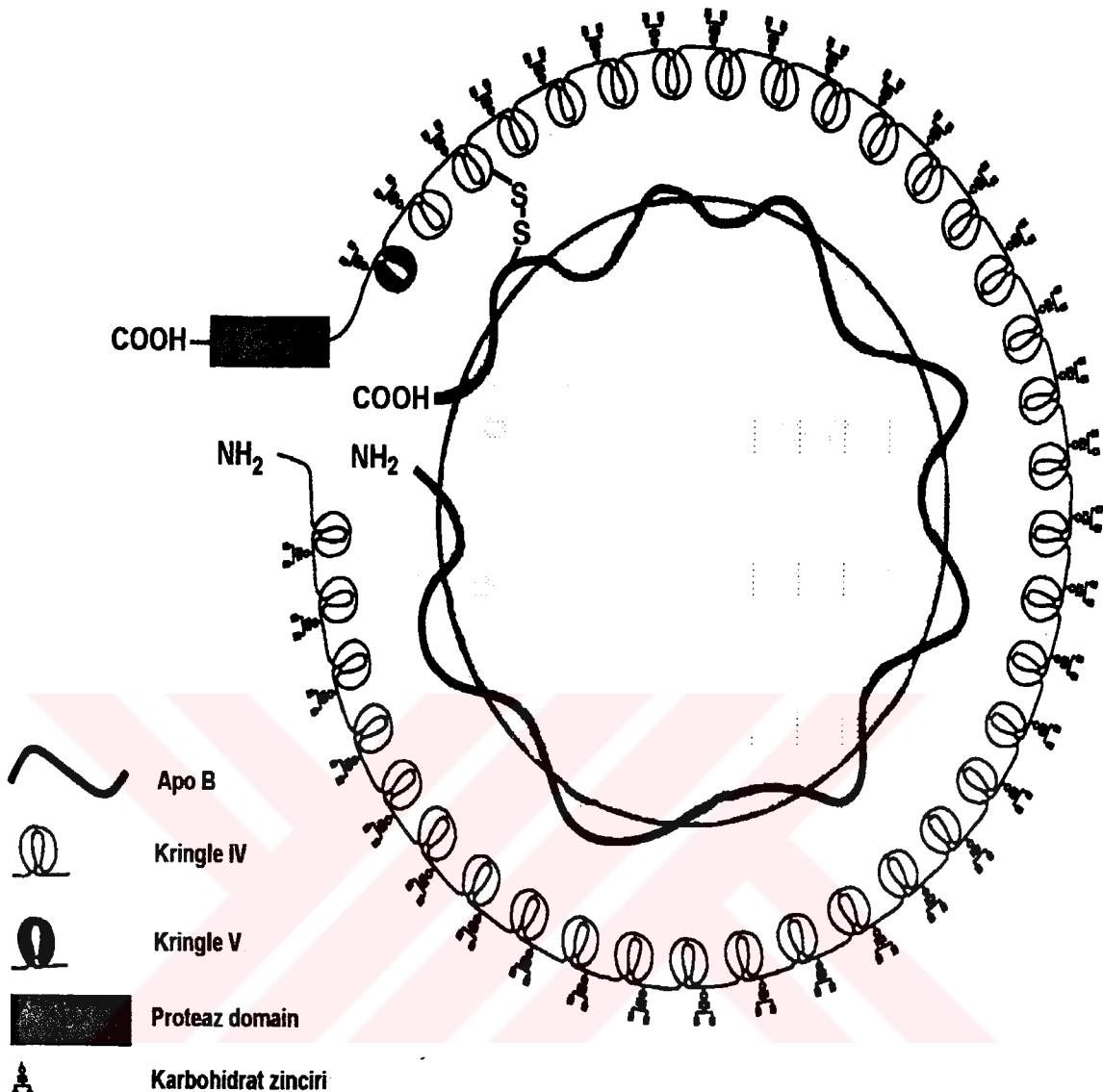
Apo (a) mRNA'sı en çok karaciğerde olmak üzere, testis ve beyinde de saptanmıştır. Fakat apo B 100'ün sentezlendiği tek yer olan karaciğerin, Lp (a) sentezinden de sorumlu olduğu düşünülmektedir. Karaciğer transplantasyonu yapılan bireylerde apo (a)'nın genetik tipinin değişmesi de bunu desteklemektedir. Apo (a)'nın, Lp (a)'yı oluşturmak üzere LDL ile birleşmesinin, çelişkili çalışmalar

bulunmakla birlikte, plazmada gerçekleştiği düşünülmektedir. Lp (a) ve apo (a)'nın bazı biyokimyasal özellikleri tablo III'de verilmiştir.(41, 55, 83, 93)

Yüksek Lp (a) düzeyinin aterotrombotik hastalık patogenezindeki rolü tam olarak aydınlatılamamıştır. Kostner ve arkadaşları tarafından yapılan bir çalışmada, Lp (a) düzeyinin 30 mg/dl'nin üzerine çıktığı, 40-60 yaş arası normolipidemik erkeklerde miyokardiyal infarktüs riskinin 1.75 kez arttığı saptanmıştır. Bu çalışmanın sonucu olarak da 30 mg/dl'nin üzerindeki Lp(a) konsantrasyonlarının miyokardiyal infarktüs için bağımsız bir risk faktörü olduğu yorumu yapılmıştır. Değişik populasyonlarda yapılan birçok çalışmaya da Lp (a) ile diğer lipoproteinler arasında ve Lp (a) ile fibrinolitik parametreler arasında herhangi bir ilişki saptanamamıştır. (63, 93)

Tablo III. Lp(a) ve apo (a)'nın bazı özellikleri

Lp (a)	
• Elektroforetik mobilite (agaroz)	Beta
• Dansite (g/ml)	1.040-1.131
• İzoelektrik nokta (pH)	4.9
• Moleküler ağırlık (dalton)	3.8-4.66 x 10 <sup>6</sup>
• Moleküler çap	~250
• Plazma konsantrasyonu (mg/dl)	0.1-120
• Protein (g/mol)	~800,000-1,350,000
• Serbest kolesterol (mol/mol)	750
• Kolesterol esteri (mol/mol)	2000
• Triglicerit (mol/mol)	350
• Fosfolipit (mol/mol)	1110
• Fraksiyonel katabolizma hızı/gün	0.26-0.306
• Plazma yarılanma ömrü	3.32-3.93
• Sentez hızı (mg/kg/gün)	4.60±3.64 (0.54-11.39)
Apo (a)	
• Moleküler ağırlığı	300,000-800,000
• Olgun proteinin amino asit sayısı	4529
• Karbohidrat (%)	28
• Sialik asit (%)	21



Şekil 6. Lp (a)'nın şematik gösterimi. LDL ve apo B 100 iç kısımda, apo (a) dış kısımda yer almaktır. Apo B'nin C terminali ile apo (a)'nın 36. K IV'ü arasında tek bir disülfit bağı bulunmaktadır.

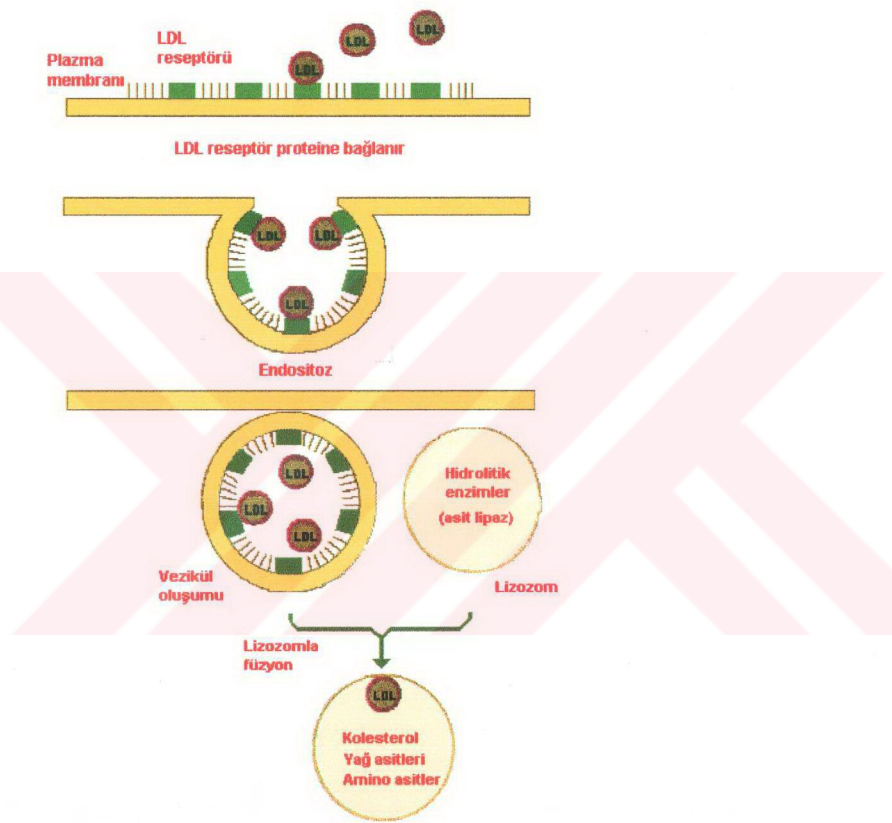
Lp (a) düzeyinin 6. kromozomda yer alan apo (a) geninin çoklu allellerinden etkilendiği gösterilmiştir. Günümüze kadar saptanmış olan 34 değişik apo (a) izoformu bilinmektedir. Özellikle B, S1 ve S2 izoformları yüksek Lp (a) düzeyleriyle ilişkili bulunmuştur. Çalışılan tüm etnik grplarda koroner kalp hastalığı olan bireylerde bu izoformlara daha sıkılıkla rastlanılmaktadır. (40, 65, 71, 75)

Lp (a)'nın plazmadan uzaklaştırılma yeri ve mekanizması tam olarak bilinmemektedir. Lp (a), LDL reseptörü için ligant olarak fonksiyon gösteren apo B 100 içermektedir. Fakat Lp (a)'nın içerdiği B 100'ün LDL reseptörüne zayıf bir şekilde bağlandığı gösterilmiştir. Sonuç olarak da, LDL reseptörünün Lp (a) katabolizmasında minör öneme sahip olduğu düşünülmüştür. Lp (a) katabolizmasıyla ilgili üzerinde durulan diğer çalışmalar, makrofajlar tarafından bağlanarak plazmadan uzaklaştırıldığı şeklindedir. Ayrıca deneysel olarak lipoprotein lipaz enziminin, hücrelerce Lp (a) alımını ve degredasyonunu, enzimatik aktivitesine gerek olmadan arttırdığı gözlenmiştir. Degredasyon hücre içinde lizozomal olarak gerçekleşmektedir. Lipoprotein lipazın Lp (a) katabolizmasına olan etkisinin LDL reseptörü bağımlı ve LDL reseptöründen bağımsız olmak üzere iki komponenti bulunmaktadır. Lipoprotein lipazın, Lp(a)'nın LDL reseptörüne ve hücre yüzeyindeki heparin sülfat proteoglikanlara bağlanması gerektiğini ileri sürülmüştür. Heparin sülfat proteoglikanlara bağlanmada, LDL-reseptör ilişkili proteinin aracılık ettiği düşünülmektedir. Lp (a) katabolizmasıyla ilgili tüm bu çalışmalar deneysel olup, insan organizmasındaki geçerliliği kanıtlanamamıştır. (31, 84, 103, 108)

B apolipoproteinlerini içeren lipoproteinlerin (şilomikron, VLDL, LDL) katabolizması reseptör aracılı endositoz yoluyla gerçekleşmektedir. LDL ve şilomikron kalıntı reseptörleri lipoprotein katabolizmasında rol alan reseptörlerdir. Bunlar arasında en iyi tanımlanmış olanı, bir transmembran proteini olan LDL reseptöridür. LDL reseptörü hem karaciğerde, hem de ekstrahepatik dokularda bulunmaktadır. Lipoproteinler içerdikleri apolipoproteine göre, apo B-100 ya da E aracılığıyla LDL reseptörüne bağlanırlar. Endositoz yoluyla hücre içine alınırlar. Lizozomlarda degrade edilirler. (32)

Membranda yer alan LDL reseptör düzeyi hücre içi kolesterol miktarına bağlı olarak kontrol edilir. Hücre içinde lizozomlardanコレsterol salınımı hem reseptör sentezini baskılarken, hem deコレsterol biosentezinde hız kısıtlayıcı basamağı katalizleyen β-hidroksi-β-metilglutaril Co A redüktaz enzimini inhibe eder. Böylece hücre içiコレsterol konsantrasyonu belli sınırlar içinde tutulmaya çalışılır (Şekil 7). Bunun yanında, makrofaj kökenli köpük hücrelerin oluşumunda görev alan çöpçü (scavenger) reseptörlerce LDL alımında, hücre içiコレsterol

İçeriği önem taşımamaktadır. Dolayısıyla fazla miktarda kolesterolün hücre içi birikimi, aterosklerozun öncül lezyonlarından olan yağlı çizgilenmelerin (fatty streak) oluşumuyla sonuçlanacaktır.(32, 39, 109)



Şekil 7. LDL'nin reseptör aracılığıyla hücre içine alımı. LDL plazma membranında bulunan özgün reseptörlerine bağlanarak, endositoz ile hücre içine alınır. Hücre içinde lizozomlarla birleşme sonucu lipoproteinler degrad olurlar.

### **3.2. HDL Sentez ve Katabolizması:**

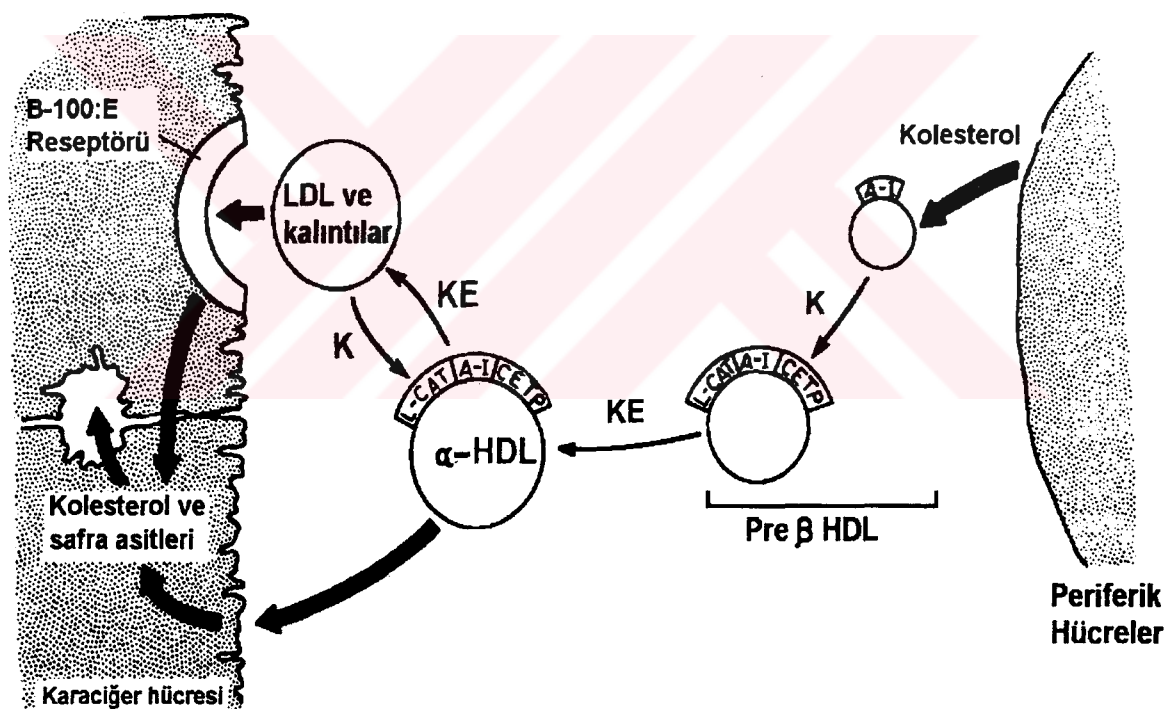
HDL hem karaciğer, hem de ince barsaklarda sentezlenerek, plazmaya salınmaktadır. Karaciğerden salınan HDL apo A, C ve E apolipoproteinleri içerirken, ince barsaktan yeni salınan HDL sadece A apolipoproteinlerini içermektedir. Trigliseritten zengin lipoproteinlerin lipolizi sırasında A, E ve C apolipoproteinleri HDL'ye transfer edilmektedir. Aynı şekilde yeni sentezlenmiş VLDL ve şilomikronlara da olgun HDL'den apolipoprotein transferi gerçekleşmektedir. VLDL ve şilomikronların metabolizmasında gerekli olan C ve E apolipoproteinleri için, HDL plazmada depo yeri olarak fonksiyon görmektedir. (25, 34)

Henüz olgunlaşmamış HDL diskoid fosfolipid çift katman, apolipoproteinler ve serbest kolesterolden oluşmaktadır. Yapıya lesitin kolesterol asil transferaz (LCAT) enzimi bağlanır. Apo A I, LCAT enziminin aktivatördür. LCAT enziminin etkisiyle yüzey fosfolipidleri ve serbest kolesteroller,コレsterol esterlerine ve lizolesitine çevrilir. Nonpolarコレsterol esterleri yapının hidrofobik iç kısmına doğru yer değiştirirken, lizolesitin de plazma albuminine transfer edilir. Bu reaksiyon, nonpolar lipidler sayesinde HDL sferik bir şekil alana kadar devam eder. İnsanda plazmaコレsterol esterlerlerinin çoğu bu yolla oluşur. LCAT substrati olanコレsterol, hem plazma lipoproteinlerinin yüzeyinden, hem de hücrelerin plazma membranlarından sağlanır (Şekil 8). (27, 33)

HDL ile ilişkili bir diğer protein iseコレsterol ester transfer proteindir (CETP). CETP, HDL'den VLDL, LDL ve daha az oranda da şilomikronlaraコレsterol esterlerini transfer ederken, bu lipoproteinlerden de HDL'ye trigliserit transferini gerçekleştirir. Böylece CETP, LCAT'in son ürün inhibisyonunu engeller. Ayrıca HDL'de LCAT aktivitesi sonucu oluşanコレsterol esterlerinin çoğu IDL ve LDL yoluyla karaciğere taşınmış olur. Eş zamanlı olarak trigliserit içeriği bakımından zenginleşen HDL, hepatik lipaz enziminin etkisiyle, bu yükünü karaciğere aktarır.コレsterol esterlerinin transferi ve trigliseridlerin hidrolizi sonucunda HDL'nin boyutu küçülür. Büyük HDL partikülüne HDL<sub>2</sub> denirken, daha küçük olan HDL partikülü HDL<sub>3</sub> olarak adlandırılmaktadır. (20, 22)

HDL'nin karaciğer tarafından plazmadan uzaklaştırılmasında birkaç değişik mekanizmanın görev aldığı düşünülmektedir. Tam olarak aydınlatılmamış olmakla

birlikte, HDL kolesteril esterlerinin karaciğer tarafından selektif olarak hücre içine alındığına inanılmaktadır. Ayrıca HDL fosfolipitlerinin hepatic lipaz ile hidrolizi, HDL kolesterolinin kimyasal gücünde değişikliğe neden olmaktadır. Bu da, HDL'den karaciğereコレsterol transferinde artışla sonuçlanmaktadır. Bir diğer mekanizma ise, apo E içeren HDL'lerin reseptör aracılığıyla hücre içine alınmalarıdır. Fakat bu son mekanizma, insan plazmasında apo E içeren HDL miktarının oldukça az olması nedeniyle, HDL katabolizmasında önem taşımamaktadır. (33, 68)



**Şekil 8.** Ters kolesterol transportu. Karaciğer ve ince barsaktan salınan olgunlaşmamış HDL, plazmada LCAT enzimini bağlar. Apo AI, enzimin kofaktörüdür. Ekstrahepatik hücrelerden alınan kolesterolü (K) kolesterol esterlerine (KE) dönüştürür. Oluşan kolesterol esterleri CETP'nin etkisiyle şilomikron ve VLDL kalıntıları ile LDL'ye aktarılır. Kolesterol esterlerince zenginleşen  $\alpha$ -HDL ve diğer lipoproteinler karaciğer tarafından alınır. Karaciğerde kolesterol safra asitlerine çevrilerek atılır.

## **4. Apolipoprotein E**

Apo E, lipit metabolizmasında, özellikle de trigliseritten zengin lipoproteinlerin aterojenik kalıntılarının plazmadan uzaklaştırılmasında esansiyel rolü olan bir glikoproteindir. Diyetle alınan ve karaciğerde sentezlenen lipitlerin plazmada transportu sırasıyla, şilomikron ve VLDL ile yapılmaktadır. Apo E, bu lipoprotein kalıntılarının plazmadan uzaklaştırılmasında ligant olarak fonksiyon görmektedir. Periferik dokulardan karaciğere kolesterol transportunda görev alan HDL'nin, periferik dokularda, kolesterol içeriğinin artmasında apo E'nin belirleyici olduğu deneysel olarak gösterilmiştir. Ayrıca, apo E içeren HDL, LDL reseptörüne bağlanarak plazmadan uzaklaştırılabilmektedir. (8, 24, 47, 64, 96, 104)

İlk olarak 1973 yılında Shore ve arkadaşları tarafından VLDL'den izole edilerek, direk amino asit dizisinin tanımlanmasıyla primer yapısı ortaya çıkarılmıştır. Bu araştırmacılar tarafından da 'argininden zengin apolipoprotein' olarak tanımlanmıştır. Daha sonra Utermann ve arkadaşları tip III hiperlipoproteinemili hastalarda erken koroner kalp hastalığının gelişmesi ile apo E polimorfizmi arasında bağlantı kurmuşlardır. Bu dönemde yapılan çalışmalar protein düzeyinde gerçekleştirilirken, Mc Lean ve arkadaşları apo E mRNA'sından cDNA nükleik asit dizisini saptamışlardır. Apo E'nin yirmi yıldan daha uzun süredir ateroskleroz ile olan ilgisinin bilinmesine karşın, Alzheimer hastalığı ve yaşılanma ile olan ilgisinin saptanmasından dolayı 1993'den sonra araştırmaların yoğunlaştiği bir konu haline gelmiştir. (13, 52, 74, 107)

### **4.1. Vücutta Dağılımı:**

Apo E'nin normal plazma sınırları 3-7 mg/dl'dir. Apo E primer olarak hepatik parankimal hücrelerce sentezlenmekle birlikte, birçok değişik dokularda mRNA'sı saptanmıştır. Plazma apo E miktarının 2/3 kadarı karaciğer kaynaklıdır. İkinci sıklıkta üretildiği yer ise beyindir. Beyinde astrositler tarafından sentezlenmekte ve beyin omurilik sıvısının (BOS) majör apolipoproteinini oluşturmaktadır. BOS'da düşük dansiteli lipoprotein (LDL) ve apolipoprotein B bulunmadığından, kolesterol transportundan apo E'nin sorumlu olduğu düşünülmektedir. Makrofajların da apo E sentezleyebildiği ve bunun kolesterol tarafından indüklenebildiği deneysel

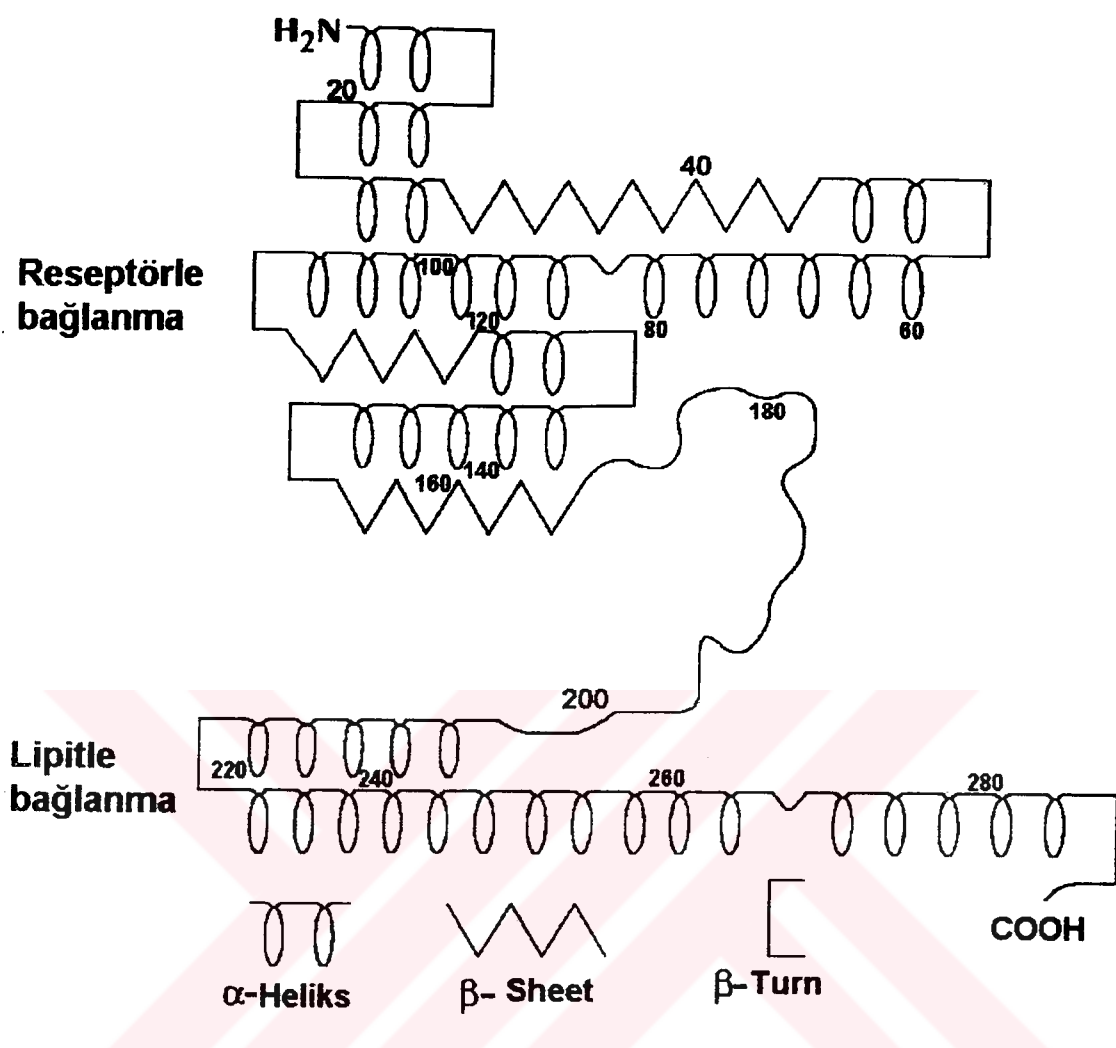
çalışmalarla gösterilmiştir. Ayrıca akciğer, düz kas hücreleri, dalak, böbrek, over, gonatlar ve adrenal bez apo E'nin sentezlendiği diğer dokulardır. (10, 58, 74, 99)

#### **4.2. Yapısal Özellikleri:**

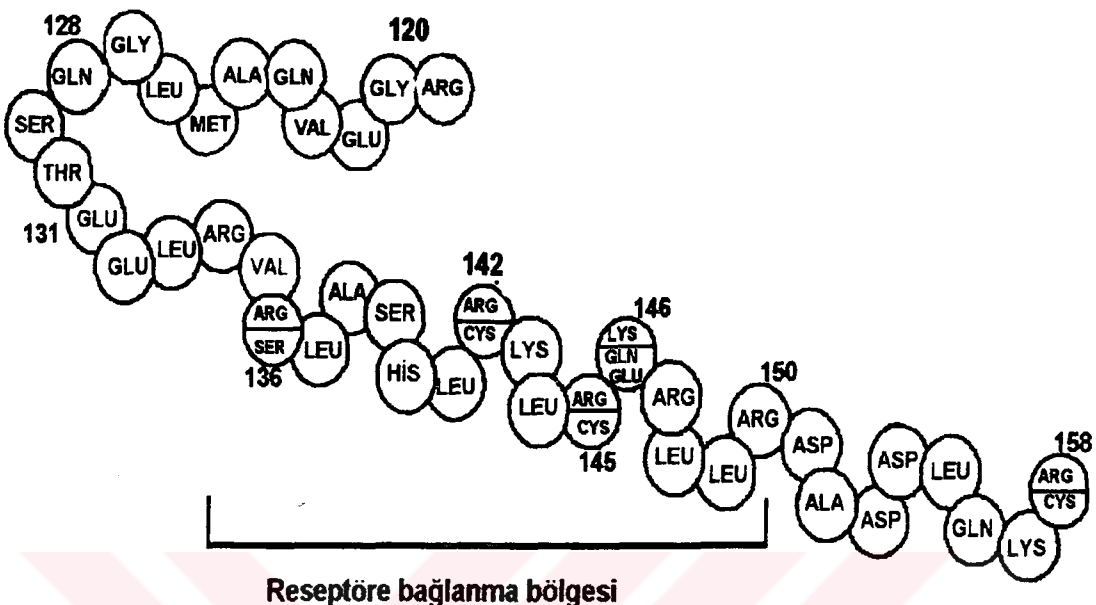
Apo E'nin primer yapısı ilk olarak, VLDL'den saflaştırılan proteinin amino asit dizisinin saptanması ile ortaya çıkmıştır. Apo E'nin tahmin edilen sekonder yapısına göre % 62  $\alpha$  heliks, % 9  $\beta$  sheet, % 11  $\beta$  turn ve % 16 düzensiz yapılar içermektedir. 165. amino asitten 200. amino asite kadar olan düzensiz yapı molekülü farklı fonksiyonlara sahip, amino ve karboksi terminal kisma ayırmaktadır. Amino terminal kısının reseptöre bağlanması, karboksi terminalin ise lipidlere bağlanması fonksiyon gördüğü düşünülmektedir (Şekil 9). Yapılan çalışmalar sonucunda arginin, lizin ve histidin gibi bazik amino asitlerden oluşan 20 amino asitlik dizinin LDL reseptörüne bağlanması fonksiyon gördüğü saptanmıştır (Şekil 10). Bağlanması, bazik amino asitlerin varlığından dolayı iyonik etkileşimle olduğu düşünülmektedir. Bu bölgedeki bazik amino asitlerin nötral amino asitlerle yer değiştirmesi sonucunda reseptöre olan ilgi azalmaktadır. (37, 47, 57, 58, 61, 74, 98, 102)

#### **4.3. Gen Yapısı:**

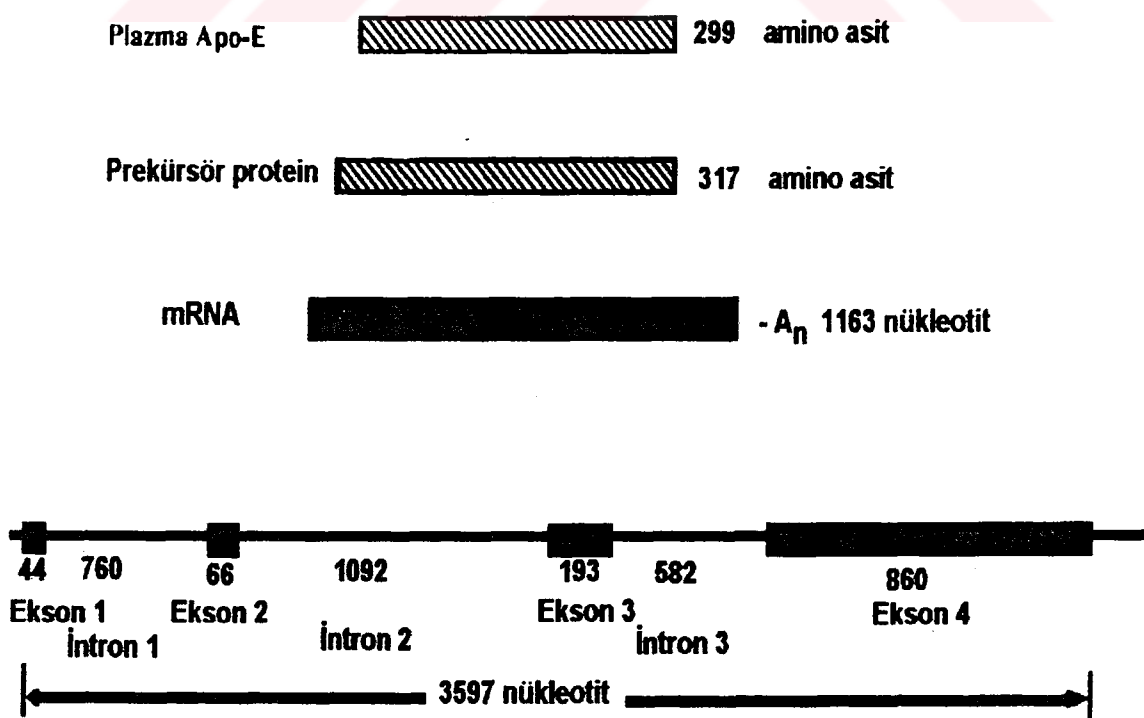
Apo E geni 19. kromozomun uzun kolunda lokalize ve 3.7 kilobaz uzunluğundadır. Dört ekson ve üç introndan oluşan genden, 1163 nülkeotitlik mRNA sentezlenmektedir. 317 amino asitlik preproteinden, 18 amino asitten oluşan sinyal peptidin ko-translasyonel olarak uzaklaştırılması ile 299 amino asitlik olgun apo E proteini oluşmaktadır (Şekil 11). Protein, tek bir polipeptit zincirinden oluşup, 34200 dalton moleküller ağırlığı sahiptir. (45, 47, 66, 77, 86)



Şekil 9. Apo E'nin tahmin edilen sekonder yapısı



Şekil 10. Apo E'nin reseptöre bağlanma bölgesi. Özellikle bazik amino asitler yer almaktadır. Bu bölgedeki bazik amino asitlerin nötral amino asitlerle yer değiştirmesi apo E'nin reseptöre olan ilgisini azaltmaktadır.



Şekil 11. Apo E geni ve protein ürünü

#### **4.4. Katıldığı Metabolik Olaylar:**

**4.4.1. Farklı organların hücreleri arasında lipitlerin dağılımı:** Diyetsel lipitler absorb edildikten sonra enterositlerde şilomikron sentezi gerçekleşir. Şilomikron, esas olarak trigliseritlerden ve az miktarda da kolesteril esterlerinden oluşur. Temel apolipoproteini apo B 48'dir. Genel dolaşma geçtikten sonra HDL'den apo E ve apo CII transferi gerçekleşir. Lipoprotein lipaz enzimi ekstrahepatik dokularda, apo C II'nin aktivatör etkisiyle, şilomikronların trigliseritlerini hidroliz eder. Açıga çıkan serbest yağ asitleri, bu dokularca absorb edilir. Trigliserit içeriğinin çoğunu kaybeden ve kolesteril esterlerince göreceli olarak zenginleşen şilomikron kalıntıları, karaciğerde kalıntı reseptörlerince hücre içine alınırlar. Apo E, şilomikron kalıntısının reseptöre bağlanmasıında ligant olarak fonksiyon görür. (74, 96)

Karaciğerde sentezlenen, trigliserit içeriği yüksek olan VLDL'ler apo E, apo B 100 ve apo C'leri içerir. Ekstrahepatik dokularda, şilomikron metabolizmasında olduğu gibi, lipoprotein lipaz enziminin lipolitik etkisiyle VLDL kalıntıları (IDL) oluşur. IDL, içerdeği apo E miktarıyla orantılı olarak, iki metabolik yol izleyebilir:

1. Daha küçük olan IDL molekülleri daha az apo E içerirler. Hepatik lipaz enziminin etkisiyle trigliseritlerini daha da kaybeder, bu arada apo B 100 dışındaki diğer apolipoproteinlerini de yitirerek LDL'ye dönüşürler.
2. Karaciğerde LDL ya da kalıntı reseptörleri aracılığıyla hücre içine alınırlar. Hem LDL, hem de kalıntı reseptörü ile olan ilişkide apo E aracılık eder. (74, 96)

Periferik dokulardanコレsterol transportunda görev alan HDL'ler, makrofajlar gibiコレsterol ile yüklü hücrelerden interstisiyel sıvıya salınanコレsterolü yapılarına alırlar. Bunlar fosfolipitten zengin, apo E içermeyen HDL'lerdir.コレsterol içeriği artan HDL'ler, makrofaj, düz kas hücreleri gibi değişik hücre tiplerince salgılanan apo E'yi yapılarına alırlar. Apo E'nin kazanılması ile deneysel olarak HDL'lerinコレsterol içeriğinin daha da arttığı gösterilmiştir. Yine deneysel olarak, apo E içeren bu HDL'lerin LDL reseptörlerine bağlanabildiği, apo E'sini kaybedenlerin ise bağlanamadığı gösterilmiştir. HDL'nin LDL reseptörüne bağlanmasında apo E'nin aracılık etiği sonucu çıkarılmıştır. Fakat insan

plazmasında apo E içeren HDL konsantrasyonunun oldukça düşük olduğu ve periferden karaciğere kolesterol transportunda başka mekanizmaların görev aldığı bilinmektedir. (96)

#### **4.4.2. Bir organ ya da dokuda hücreler arasında lipitlerin yeniden dağılımı:**

Apo E'nin, bir dokuda fazla kolesterol içeren hücrelerden, gereksinimi olan diğer hücrelere kolesterol transportunda görev aldığı düşünülmektedir. Olay, gereksinimi olan hücrelerin fazla miktarda LDL reseptörü sentezleyerek, diğerlerinden salınanコレsterol-apo E lipit komplekslerini bu reseptörler aracılığıyla aldığı şeklinde açıklanmaktadır. (17, 47)

#### **4.4.3. Lipit transportu ile ilgili olmayan fonksiyonları:** Apo E'nin lipit transpotundan ilgisiz, ancak hipotez aşamasında olan fonksiyonlarının da bulunduğu düşünülmektedir. Bunlar:

- Nörotrofik faktör olması,
- Düz kas hücre çoğalması ve farklılaşması üzerine etki ve
- İmmünoregülasyon ile olan ilişkisidir. (36, 47)

### **4.5. Polimorfizmi:**

Apo E'nin polimorfik doğası ilk olarak 1970'lerde tanımlanmıştır. Daha sonra üç majör apo E izoformu saptanmıştır. İki nedenle polimorfizm gerçekleşmektedir:

1. Post-translasyonel polimorfizm: Proteinin sentezinden sonra, 194. pozisyondaki treonine sialik asitin eklenmesi ile glikozilasyon gerçekleşmektedir. Eklenen sialik asit miktarına göre değişik polaritede polimorfik apo E molekülleri oluşmaktadır.
2. Genetik polimorfizm: Apo E gen lokusu polimorfiktir. Sık görülen üç homozigot (E 2/2, E 3/3, E 4/4) ve üç heterozigot (E 2/3, E 2/4, E 3/4 ) fenotipin ortaya çıkışından ε 2, ε 3 ve ε 4 alleleri sorumludur. Bu üç allelin protein ürünü apo E 2, E 3 ve E 4 olmak üzere üç majör apo E izoformu oluşturmaktadır (Tablo IV). (15, 17, 58, 59)

Tablo IV. Üç apo E allelinin farklılıklarını verilmektedir.

ALLEL	AMINO ASİT DEĞİŞİKLİĞİ		KODON DEĞİŞİKLİĞİ		YÜK DURUMU
	112	158	112	158	
$\epsilon$ 2	Sistein	Sistein	TGC	TGC	0
$\epsilon$ 3	Sistein	Arginin	TGC	CGC	+
$\epsilon$ 4	Arginin	Arginin	CGC	CGC	++

Apo E 3 izoformu en sık görülen olduğundan normal tip olarak kabul edilirken, E 2 ve E 4 varyant tipler olarak değerlendirilmektedir. Reseptöre bağlanma bölgesindeki amino asit farklılıkları iyonik etkileşimi değiştirdiğinden, reseptöre olan ilgi de değişmektedir (Tablo V). (10, 37, 47, 57, 61, 74, 98, 102)

Tablo V. Apo E 3 ile karşılaştırıldığında, varyant apo E'lerin LDL reseptörüne bağlanma aktiviteleri (%) verilmektedir.

Amino asid farklılığı	Reseptöre bağlanma aktivitesi ( % )
Sistein 112 → Arginin (apo E 4 )	100
Arginin 158 → Sistein ( apo E 2 )	< 2
Arginin 145 → Sistein	45
Lizin 146 → Glutamin	40
Sistein 112 → Arginin, Arginin 142 → Sistein	< 20
Glisin 127 → Aspartat, Arginin 158 → Sistein	4
Alanin 99 → Treonin, Alanin 152 → Prolin	Bilinmiyor

Apo E izoformlarının fenotipik olarak saptanmasında izoelektrik fokuslama kullanılmaktadır. Genotip belirlemede kullanılabilen DNA metodları:

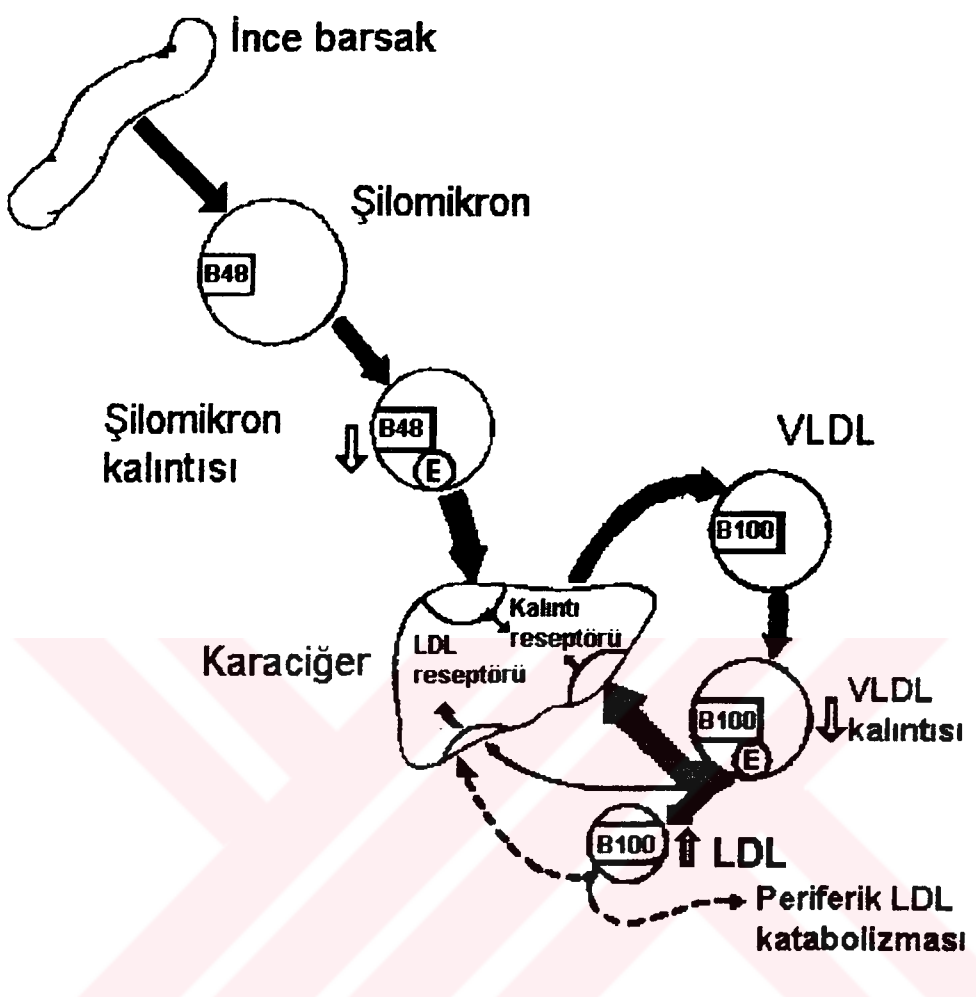
- Allel spesifik oligonükleotit (ASO) hibridizasyon
- Restriksiyon tipleme yöntemi (RFLP)
- Denatüran gradyent jel elektroforezi (DGGE)
- DNA dizi analizidir.

Kolay ve diğerlerine kıyasla ucuz olmasından dolayı restriksiyon tipleme yöntemi apo E'nin genotipik olarak saptanmasında tercih edilen yöntemdir. Cfo I restriksiyon enzimiyle amplifiye DNA'nın özgün bölgelerden kesilmesinden sonra, ortaya çıkan bantların gösterimi için genel olarak poliakrilamid jel elektroforezi kullanılmaktadır. Ancak poliakrilamidin toksik etkileri ve yöntemin yatay jel elektroforezine göre daha zor uygulanır olması göz önünde bulundurularak, MetaPhor agaroz ya da NuSieve agaroz jel elektroforeziyle apo E izoformlarının tiplendirilmesi yapılmaktadır. (8, 43, 44, 74, 98, 106)

#### **4.6. Kardiyovasküler Hastalıklarda Apo E Polimorfizmi**

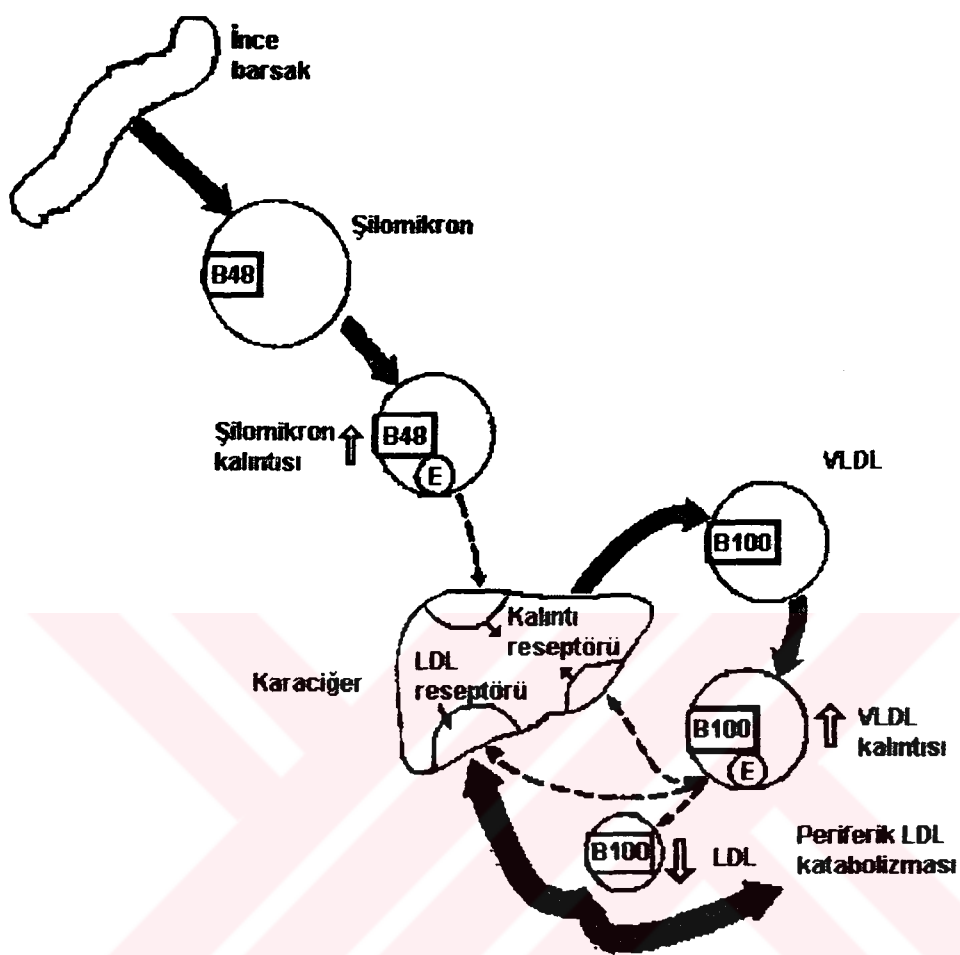
Apo E polimorfizmi ile ateroskleroz arasındaki bağlantı, ilk olarak apo E 2/2 fenotipine sahip tip III hiperlipoproteinemili hastalarda erken koroner kalp hastalığının gözlenmesi ile kurulmuştur. Bu aşamadan sonra konuya ilgili çalışmaların yoğunlaşması ile apo E'nin, aterosklerozun başlama ve ilerlemesinde bireysel varyasyonun majör belirleyicisi olduğu sonucu çıkarılmıştır. (46, 74)

Apo E4 izoformunu içeren şilomikron ve VLDL kalıntılarının reseptöre bağlanma aktivitesinin yüksek olduğu ve karaciğer tarafından daha hızlı hücre içine alındığı bilinmektedir. Ayrıca apo E'nin aracılık ettiği VLDL kalıntılarının LDL'ye dönüşüm hızı, E4 izoformunu içerenlerde daha yüksek oranda olmakta ve LDL oluşum hızını artırmaktadır. Karaciğere kolesterol transportu ve LDL oluşum hızındaki artma, LDL reseptör sentezini baskılamakta ve sonuç olarak da LDL düzeyi daha yüksek olurken, şilomikron ve VLDL kalıntılarının düzeyi daha düşük olmaktadır (Şekil 12). (19, 74, 84, 96)



Şekil 12. Apo E 4/4 genotipinde lipoprotein metabolizması. VLDL ve şilomikron kalıntılarının plazma düzeyleri azalırken, LDL oluşum hızında artış ve periferik katabolizmasındaki yavaşlama sonucu konsantrasyonunun artması söz konusudur.

E2 izoformunu içeren şilomikron ve VLDL kalıntılarının reseptöre bağlanma aktivitelerinin düşük olması nedeniyle katabolizmalarının daha yavaş olduğu bilinmektedir. E4 izoformunun tersine, E2 izoformunu içeren VLDL'lerin LDL'ye dönüşüm hızları daha yavaştır. Karaciğere azalmış kolesterol transportu ve LDL oluşum hızındaki azalma, LDL reseptör sentezini uyaracaktır (Şekil 13). E2 izoformuna sahip bireylerde daha düşük LDL düzeyleri olurken, şilomikron ve VLDL kalıntılarının düzeyleri daha yüksek olacaktır (Tablo VI). (19, 74, 84, 96, 101)



Şekil 13. Apo E 2/2 genotipinde lipoprotein metabolizması. VLDL ve şilomikron kalıntılarının plazma düzeyi yüksektir. Diğer taraftan LDL oluşum hızındaki azalma ve periferik katabolizmasındaki artışa paralel, LDL plazma konsantrasyon düşüklüğü gözlenir.

Tablo VI.  $\epsilon 3$  ile  $\epsilon 2$  ve  $\epsilon 4$  allellerleri kıyaslandığında plazma lipid parametrelerindeki farklılık.

Allel	Total Kolesterol	LDL Kolesterol	LDL Apo B	Triglicerit	Apo E
$\epsilon 2$	↓	↓	↓	↑	↑
$\epsilon 4$	↑	↑	↑	↓	↓

↓:  $\epsilon 3$ 'den daha düşük, ↑:  $\epsilon 3$ 'den daha yüksek

Yapılan çalışmalarda yüksek LDL kolesterol düzeyi ile ilişkili olan E4 izoformunun ateroskleroz açısından bir risk faktörü olduğu, E2 izoformunun ise tip III hiperlipoproteinemi gelişmediği sürece, ateroskleroza karşı koruyucu etki gösterdiği saptanmıştır. (18, 60)

Tip III hiperlipoproteinemi trigliseritten zengin lipoprotein kalıntılarının ( $\beta$ -VLDL) plazmada artışı ile karakterize herediter bir dislipidemidir. Hastalarda kolesterol ve trigliserit yüksekliği birlikte bulunmaktadır.  $\beta$ -VLDL partiküllerinin aterojenik etkisiyle erken yaşta ateroskleroz gelişmektedir. Tip III hiperlipoproteinemili hastalarda, bazı ender vakalar dışında E 2/2 fenotipi saptanmaktadır. Fakat hastalığın prevalansı 1:10000 iken, E 2/2 fenotipinin görülmeye sıklığının çok daha yüksek olması, hastalığın ortaya çıkışında genetik ya da çevresel başka faktörlerin de rol oynadığını düşündürmektedir. (19, 42, 58, 84)

#### 4.7. Apo E Polimorfizmi ve Alzheimer Hastalığı

Alzheimer hastalığı ekstrasellüler senil plaklar, nöron ve dendritlerde nörofibriler karışıklıklar ve vasküler amiloid birikimi ile karakterize nörodejeneratif bir hastalıktır. Alzheimer hastalığı ile  $\epsilon 4$  alleli arasındaki ilişki, ilk olarak 1989 yılında Shimano ve arkadaşları tarafından tanımlanmış ve hastalarda  $\epsilon 4$  allelinin, kontrolle karşılaştırıldığında iki kat daha yüksek sıklıkta görüldüğü saptanmıştır. (45, 52, 69, 74)

Alzheimer hastalığında primer değişiklikler olan senil plakların ve nörofibriler karışıklıkların oluşumunda apo E'nin de rol aldığı düşünülmektedir. Senil plakların ana komponentini amiloid  $\beta$  peptidi oluştururken, nörofibriler karışıklıkların ana komponentini Tau proteinini oluşturmaktadır. Deneysel olarak apo E'nin amiloid  $\beta$  peptidine bağlanarak, denatürasyona dirençli stabil kompleksler oluşturduğu gösterilmiştir. Apo E4, E3'e göre amiloid  $\beta$  peptidine çok daha hızlı bağlanma göstermektedir.  $\epsilon 4$  alleli olan hastalarda, apo E amiloid  $\beta$  ile kolayca birleşerek çökmesini sağlamakta ve senil plak oluşumu gerçekleşmektedir. Anormal olarak hiperfosforile olmuş Tau proteinini, hücre içinde nörofibriler karışıklıklarla ilgili olarak çiftleşmiş helikal filamentler oluşturur. Bu filamentlerin oluşumu apo E genotipi ile ilişki göstermektedir. Apo E3 Tau proteinini bağlayarak fosforilasyona karşı koruyucu etki gösterirken, apo E4

bağlayamamaktadır. ε4 alleleli olan hastalarda, serbest Tau proteinini fosforile olarak nörofibrillerin yapısını etkilemektedir. (7, 78)



## GEREÇ VE YÖNTEMLER

### 1. Araç ve Gereçler:

#### 1.1. Cihazlar:

1. UV Spektrofotometre	Shimadzu UV-120-02
2. Mikrosantrifüj	Fisher 235B
3. Soğutmalı masa üstü santrifüj	Eppendorf centrifuge 5403
4. Thermal Cycler	Perkin Elmer Cetus
5. Speed Vac Konsantratör	Savant SVC 100H
6. Elektroforez Tankı	Pharmacia GNA-100
7. Güç Kaynağı	Pharmacia EPS 500/400
8. Mikrodalga Fırın	Vestel Goldstar
9. Derin Dondurucu	Bosch
10. Kar Makinası	Scotsman AF-10
11. Polaroid Kamera	MP4 Land Camera
12. Su Banyosu	Electro-mag
13. Etüp	Nüve EN 500
14. Analitik Terazi	Mettler AJ 100
15. pH Metre	Beckman Century SS 1
16. Otomatik Pipet	Gilson 10, 20, 100, 200, 1000 µl
17. Eliza	Denley Wellprep 2000
18. Dansitometre	Cliniscan 2

#### 1.2. Kimyasal Maddeler:

1. Proteinaz K
2. Deoksi Adenozin Trifosfat (dATP)
3. Deoksi Sitozin Trifosfat (dCTP)
4. Deoksi Guanozin Trifosfat (dGTP)
5. Deoksi Timidin Trifosfat (dTTP)
6. Taq Polimeraz
7. Bovin Serum Albumin

8. Dimetil sulfoksit (DMSO)
9. Primerler
10. Cfo I Restriksiyon Enzimi
11.  $\Phi$ X 174 DNA / Hae III Marker
12. Agaroz
13. NuSieve Agaroz
14. Etidiyum Bromür

Düger tüm kimyasal maddeler analar kalitede olup, Sigma ve Merck firmalarından temin edilmiştir.

### **1.3. Kitler:**

1. Kolesterol Kiti	Boehringer Mannheim MPR 1 1 442 341
2. LDL Kolesterol Çöktürücüsü	Boehringer Mannheim 726 290
3. HDL Kolesterol Çöktürücüsü	Boehringer Mannheim 543 004
4. Trigliserit Kiti	Randox TR 210
5. Apolipoprotein B Kiti	The Binding Site NK086
6. Apolipoprotein A1 Kiti	The Binding Site NK085
7. Lipoprotein (a) Kiti	Boehringer Mannheim 1 386 107

### **2. Örnek Toplama:**

Kan örnekleri Adana ili Yemişli köyünden ve Çukurova Üniversitesi Tıp Fakültesi Biyokimya Anabilim Dalına lipit parametrelerini öğrenmek amacıyla başvuran kişilerden alındı. Kişilerle daha önceden temas geçilerek, kan alınmasından önce 12 saat aç kalmaları söylendi. EDTA'lı tüplere 5 ml kan örneği alındı. Köyden toplanan kan örnekleri Adana'ya, buz kabında korunarak taşındı. Örnekler santrifüj edilerek plazmaları ayrıldı. Her örnekten, iki ependorf tüpüne 250'şer  $\mu$ l plazma konarak, daha sonra lipoprotein (a), apolipoprotein A1 ve B çalışılmak üzere derin dondurucuda -20°C'de saklandı. Lipoprotein elektroforezi, total, LDL ve HDL kolesterol ile trigliserit düzeylerinin saptanmasından sonra lökosit DNA'ları izole edilerek, restriksiyon tipleme yöntemi ile apo E genotipleri belirlendi.

### **3. Analiz Yöntemleri:**

#### **3.1. Lipoprotein Elektroforezi:**

**Prensip:** Lipoproteinler elektriksel bir alanda farklı mesafelere göç ederler. Ayışmayı, taşıdıkları farklı yükler yanında, şekil ve boyut farklılıklar ile destek materyaliyle olan etkileşimleri belirter. Alkali ortamda lipoproteinler negatif yüklüdürler ve elektriksel alanda anoda doğru göç ederler. Sellüloz asetat kağıdında HDL ( $\alpha$ -lipoprotein) anoda doğru en hızlı göç eden lipoproteindir. Bunu sırasıyla VLDL (pre- $\beta$ -lipoprotein) ve LDL ( $\beta$ -lipoprotein) izler. Şilomikron ise aplikasyon noktasında yer alır. (79)

#### **Ayıraçlar:**

1. Barbital Tamponu: 0.05 mol/L, pH 8.6

Sodyum Barbital	10.6 g
Disodyum EDTA	0.70 g

tartılarak 1000 ml'ye distile su ile tamamlanır.

2. Sellüloz asetat elektroforez kağıdı (Sartorius 12200)

3. Stok oil red boyası: 0.3 g toz boyası %70'lük, 500 ml metanol içinde çözülür. Isıtıcıda kaynatılır. Kaynar kaynamaz ısıticiden alınır. 37°C'de etüvde saklanır. Süzmeden kullanılır.

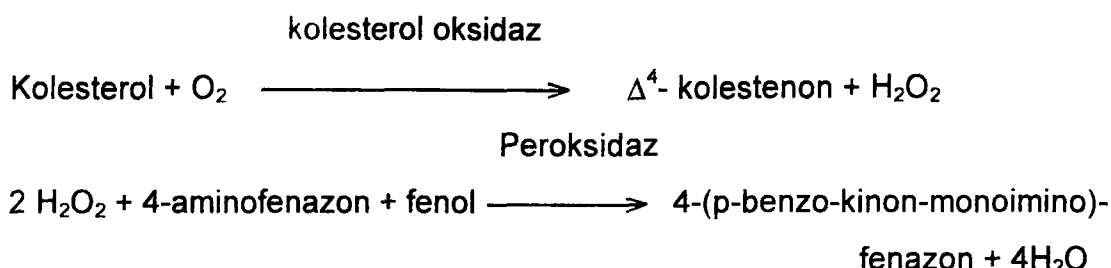
4. Çalışma boyası: Etüvde saklanan boyadan 30 ml alınarak, üzerine 0.1 N'lik NaOH'ten 7 ml ilave edilir.

**Yöntem:** Elektroforez tankının anod ve katoduna eşit miktarda barbital tampon konur. Sellüloz asetat elektroforez kağıtları tampon içinde 15 dakika ıslatılır. İki  $\mu$ l'lik aplikatör ile aplikasyon uygulanır. Kağıt tankın köprüsüne yerleştirilir. Santimetresine 0.6 mA akım 45 dakika uygulanır. Oil red boyası içinde bir gece bekletilir. Ertesi gün suyla yıkanarak artık boyaya kalıntılarından temizlenir. Dansitometre ile boyaya yoğunluğuna göre lipoprotein yüzdeleri saptanır.

#### **3.2. Total Kolesterol Tayini (CHOD-PAP Metodu - Enzimatik Yöntem)**

**Prensip:** Kolesterol esterlerinin tümü kolesterol esteraz ile serbest kolesterol ve yağ asitlerine dönüştürülür. Ortamda oksijen varlığında, serbest kolesterol kolesterol oksidaz ile kolest-4-en-3-on ve  $H_2O_2$ 'e çevrilir.  $H_2O_2$ , peroksidaz

varlığında fenol ve 4-aminofenazon ile reaksiyona girerek kinonimin boyasını oluşturur. Oluşan renk şiddeti kolesterol konsantrasyonu ile orantılıdır. 500 nm'de fotometrik olarak ölçüm yapılır.



#### Ayırıcılar:

1. Kolesterol ayıracı
2. Kolesterol standartı (200 mg/dl)

**Yöntem:** Test tüplerine Tablo VII'deki gibi pipetleme yapılır.

Tablo VII. Total kolesterol için deney tüplerine pipetlenecek miktarlar

	Ayırıcı Körü	Standart	Örnek
Örnek materyali	---	---	10 µl
Kolesterol standartı	---	10 µl	---
Kolesterol ayıracı	1000 µl	1000 µl	1000 µl

Karıştırılır, tüpler 20-25°C' de 10 dakika inkübe edilir. Bir saat içinde, spektrofotometrede ayırac körüğe karşı 500 nm'de okuma yapılır.

#### Hesaplama:

$$\text{mg/dl konsantrasyon} = 575 \times A_{\text{örnek}} \text{ ya da}$$

$$A_{\text{örnek}}$$

$$\text{mg/dl konsantrasyon} = \frac{A_{\text{örnek}}}{A_{\text{Standart}}} \times \text{Standart konsantrasyonu}$$

$$A_{\text{Standart}}$$

### **3.3. LDL Kolesterol Tayini: (Polivinil sülfat presipitasyon metodu)**

**Prensip:** Örneğe polivinil sülfat eklenmesi ile LDL kolesterol presipite edilir. Santrifugasyondan sonra supernatanın kolesterol içeriği enzimatik olarak ölçülür. Total kolesterolden ölçülen değer çıkarılarak LDL kolesterol düzeyi saptanır.

#### **Ayırıcılar:**

1. Kolesterol ayırıcı
2. Polivinil sülfat
3. Akseleratör

Bir şişe polivinil sülfat üzerine 1000 µl akseleratör eklenerek presipite edici solüsyon hazırlanır. Solüsyon oda ısısında 4 hafta dayanıklıdır.

#### **Yöntem:**

a) **Presipitasyon:** 200 µl örnek üzerine 100 µl presipite edici solüsyondan eklenir. Karıştırılır, oda ısısında 15 dakika inkübe edilir. 10 000 g'de 2 dakika sanrifüj edilir.

b) **Kolesterol Tayini:** Tablo VIII'deki gibi pipetleme yapılır.

Tablo VIII. LDL kolesterol için deney tüplerine pipetlenecek miktarlar

	Ayırıcı Körü	Örnek
<b>Redistile su</b>	25 µl	---
<b>Supernatan</b>	---	25 µl
<b>Kolesterol ayırıcı</b>	1000 µl	1000 µl

Karıştırılır ve tüpler oda ısısında 10 dakika inkübe edilir. Bir saat içerisinde örnek absorbansı ayırıcı körüne karşı, spektrofotometrede 500 nm'de okunur.

#### **Hesaplama:**

$$\text{mg/dl supernatan kolesterolü} = A_{\text{örnek}} \times 350.1$$

$$\text{LDL kolesterol} = \text{Total kolesterol} - \text{Supernatanın kolesterolü}$$

### **3.4. HDL Kolesterol Tayini:**

**Prensip:** Örneğe fosfotungstik asit ve magnezyum iyonlarının eklenmesiyle şilomikronlar, VLDL ve LDL presipite olur. Sanrifüj sonucu supernatanda sadece HDL kalır. Supernatanın kolesterol içeriği enzimatik olarak saptanır.

**Ayırıcılar:**

1. Kolesterol ayıracı
2. Presipite edici solüsyon

**Yöntem:**

- a) **Presipitasyon:** 200 µl örnek üzerine 500 µl presipite edici solüsyondan eklenir. Karıştırılarak, oda ısısında 10 dakika inkübe edilir. 12 000 rpm'de 2 dakika santrifüj edilir.
- b) **Kolesterol Tayini:** Tablo IX'daki gibi pipetleme yapılır.

Tablo IX. HDL kolesterol için deney tüplerine pipetlenecek miktarlar

	Ayırıcı Körü	Örnek
<b>Redistile su</b>	100 µl	---
<b>Supernatan</b>	---	100 µl
<b>Kolesterol ayıracı</b>	1000 µl	1000 µl

Karıştırıldıktan sonra tüpler oda ısısında 10 dakika inkübe edilir. Bir saat içerisinde örneğin absorbansı ayırac körüne karşı, spektrofotometrede 500 nm'de okunur.

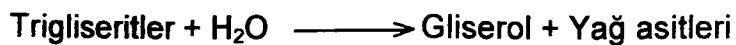
**Hesaplama:**

$$\text{mg/dl HDL Kolesterol} = A_{\text{örnek}} \times 219.2$$

**3.5. Trigliserit Tayini: (GPO-PAP Metodu, Enzimatik Yöntem)**

**Prensip:** Trigliseritlerin lipaz ile hidrolizi sonucu gliserol ve yağ asitleri açığa çıkar. Gliserol, ATP varlığında gliserol kinaz ile gliserol-3-fosfata dönüşür. Gliserol-3-fosfat, oksijen varlığında gliserol-3-fosfat oksidaz ile dihidroksiaseton fosfat ve H<sub>2</sub>O<sub>2</sub> oluşturur. H<sub>2</sub>O<sub>2</sub>, peroksidaz varlığında fenol ve 4-aminofenazon ile reaksiyona girerek kinonimin boyasını oluşturur. Oluşan renk şiddetti trigliserit konsantrasyonu ile orantılıdır. 500 nm'de fotometrik olarak ölçüm yapılır.

### Lipaz



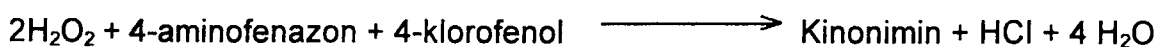
### Gliserol kinaz



### Gliserol-3-fosfat oksidaz



### Peroksidaz



### Ayırıcılar:

1. Tampon
2. Enzim ayıracı: Bir şişe enzim ayıracı içerisinde 15 ml tampon konarak karıştırılır. 2-8°C'de 21 gün dayanıklıdır.
3. Trigliserit standartı (200 mg/dl)

**Yöntem:** Tablo X'daki gibi pipetleme yapılır.

Tablo X. Trigliserit tayini için deney tüplerine pipetlenmesi gereken miktarlar

	Ayırıcı Körü	Standart	Örnek
Örnek	---	---	10 µl
Standart	---	10 µl	---
Enzim ayıracı	1000 µl	1000 µl	1000 µl

Karıştırılır ve oda ısısında 10 dakika inkübe edilir. 60 dakika içerisinde örneğin ve standartın absorbansı, ayırac körüğe karşı 500 nm'de okunur.

### Hesaplama:

$$\text{mg/dl konsantrasyon} = 743 \times A_{\text{örnek}} \text{ ya da}$$

$$A_{\text{örnek}}$$

$$\text{mg/dl konsantrasyon} = \frac{x \text{ Standart konsantrasyonu}}{A_{\text{Standart}}}$$

### **3.6. Apolipoprotein Al Tayini: (Turbidimetrik Yöntem)**

**Prensip:** Turbidimetri, solüsyonda bulunan partiküllerin yaydığı ışığı ölçme esasına dayanır. Örnekteki apo A10 zgün antikorlarla birleşerek, turbidite ile sonuçlanan immün kompleksler oluştururlar. Oluşan turbiditenin miktarı örneğin apo Al konsantrasyonu ile orantılıdır. Turbidite spektrofotometrede 340 nm'de ölçülür. Daha önceden farklı konsantrasyonlardaki apo Al kalibratörleri kullanılarak çizilen kalibrasyon eğrisinden örneğin konsantrasyonu saptanır.

#### **Ayırıcılar:**

1. Antiserum
2. Antiserum sulandırıcısı
3. Kalibratör (163 mg/dl)
4. Düşük kontrol (62-84 mg/dl)
5. Yüksek kontrol (189-257 mg/dl)
6. Serum sulandırıcısı

#### **Yöntem:**

##### **a) Standart eğri çizimi (Tablo XI)**

Tablo XI. Apo Al için standart eğri çiziminde kullanılacak standartların hazırlanması

	Kalibratör hacmi (µl)	Serum sulandırıcısı hacmi (µl)	Konsantrasyon (% kalibratör değeri)
S1	10	450	20
S2	15	360	40
S3	25	300	80
S4	50	365	120
S5	60	320	160
S6	100	400	200

##### **b) Örnek ve kontrollerin hazırlanması**

Kontrol / Örnek hacmi

50 µl

Serum sulandırıcısı hacmi

450 µl

Dilüsyon

1 / 10

**c) Uygulama:**

Antiserum sulandırıcısı	675 µl
Sulandırılmış standart/ornek/kontrol	15 µl

340 nm'de su körüne karşı optik dansite<sub>1</sub> (OD<sub>1</sub>) ölçülür.

Antiserum	75 µl
-----------	-------

Karıştırılır, oda ısısında 520 saniye sonra OD<sub>2</sub> ölçülür.

**Hesaplama:**

$$\Delta OD = OD_2 - OD_1$$

Çalışılan standartlarla çizilen kalibrasyon eğrisinden, örneğin ve kontrollerin konsantrasyonları saptanır.

**3.7. Apolipoprotein B Tayini: (Turbidimetrik Yöntem)**

**Prensip:** Turbidimetri, solüsyonda bulunan partiküllerin yaydığı ışığı ölçme esasına dayanır. Örnekteki apo B özgün antikorlarla birleşerek, turbidite ile sonuçlanan immün kompleksler oluştururlar. Oluşan turbiditenin miktarı örneğin apo B konsantrasyonu ile orantılıdır. Turbidite spektrofotometrede 340 nm'de ölçülür. Daha önceden farklı konsantrasyonlardaki apo B kalibratörleri kullanılarak çizilen kalibrasyon eğrisinden örneğin konsantrasyonu saptanır.

**Ayıraçlar:**

1. Antiserum
2. Antiserum sulandırıcısı
3. Kalibratör (99 mg/dl)
4. Düşük kontrol (40-60 mg/dl)
5. Yüksek kontrol (100-140 mg/dl)
6. Serum sulandırıcısı

**Yöntem:**

**a) Standart eğri çizimi (Tablo XII)**

**Tablo XII.** Apo B için standart eğri çiziminde kullanılacak standartların hazırlanması

	<b>Kalibratör hacmi (µl)</b>	<b>Serum sulandırıcısı hacmi (µl)</b>	<b>Konsantrasyon (% kalibratör değeri)</b>
<b>S1</b>	20	480	20
<b>S2</b>	40	460	40
<b>S3</b>	80	420	80
<b>S4</b>	160	340	120
<b>S5</b>	180	320	160
<b>S6</b>	200	300	200

**b) Örnek ve kontrollerin hazırlanması**

<u>Kontrol / Örnek hacmi</u>	<u>Serum sulandırıcısı hacmi</u>	<u>Dilüsyon</u>
50 µl	200 µl	1 / 5

**c) Uygulama:**

Antiserum sulandırıcısı	450 µl
Sulandırılmış standart/ornek/kontrol	80 µl

340 nm'de su körüne karşı optik dansite<sub>1</sub> (OD<sub>1</sub>) ölçülür.

Antiserum	50 µl
-----------	-------

Karıştırılır, oda ısısında 360 saniye sonra OD<sub>2</sub> ölçülür.

**Hesaplama:**

$$\Delta OD = OD_2 - OD_1$$

Çalışılan standartlarla çizilen kalibrasyon eğrisinden, örneğin ve kontrollerin konsantrasyonları saptanır.

**3.8. Lipoprotein (a) Tayini: (Mikroeliza)**

**Prensip:** Öncelikle 'mikro plate' kuyucuklarının duvarına poliklonal antikorlar adsorptif olarak bağlanır. Serbest antikorlar yıkandıktan sonra ortamdan uzaklaştırılır. Kuyucuklara özgü olmayan proteinlerin bağlanmasılığını önlemek amacıyla 'bloking' ayıraç ile inkübe edilir. Daha sonra serum/plazma/standart eklenir. Serum/plazma/standart içindeki Lp (a), kuyucukların duvarına bağlı antikorlara

bağlanır. Bağlanmayan proteinler yıkandıktan sonra ortamdan uzaklaştırılır. Peroksidaz işaretli monoklonal antikorlarla inkübe edilir. Bu antikorlar Lp (a)'ya fiks olurlar. Ortama kromogen bir madde eklenmesiyle de Lp (a) konsantrasyonu ile orantılı olarak, koyu yeşil bir renk oluşur. Lp (a) konsantrasyonu çizilen standart eğriden değerlendirilir.

#### Ayırıcılar:

1. 'Coating' tampon: PBS (phosphate buffer saline) toz karışımı 1000 ml redistile su içinde çözülür. 100 ml'si 'capture antibody' solüsyonu ve 'conjugate dilution' hazırlanmasında kullanılır.
2. Konsantre 'capture antibody' solüsyonu: Liyofilizat 1 ml redistile su içinde çözülür. 50 µl'lik 20 alıkota ayrılır. -20°C'de saklanır.
3. 'Capture antibody' solüsyonu: 50 µl konsantre 'capture antibody' solüsyonu 1 ml 'coating' tampon ile sulandırılır. 10 test için yeterlidir. Kullanılacağı an hazırlanmalıdır.
4. Yıkama solüsyonu: 450 µl Tween 20, 900 ml 'coating' tampona eklenir.
5. 'Blocking/diluting' solüsyonu: 100 ml konsantre 'blocking/diluting' solüsyonu 1000 ml'ye redistile su ile tamamlanır.
6. Stok Lp (a) standarı: Liyofilitize standart üzerine 500 µl redistile su eklenir. Konsantrasyonu 50 mg/dl'dir.
7. Standart dilüsyonları: Kullanılacağı an hazırlanmalıdır. (Tablo XIII)

Tablo XIII. Lp (a) standartlarının hazırlanması

	'Blocking/diluting solüsyonu (ml)	Stok standart (µl)	Konsantrasyon (mg/dl)
S1	5.0	100	1.0
S2	5.0	50	0.5
S3	5.0	20	0.2
S4	5.0	10	0.1
S5	5.0	S2'den 500	0.05
S6	5.0	S3'den 500	0.02

8. Serum dilüsyonu: 10  $\mu$ l serum, 5 ml 'blocking/diluting' solüsyonu ile 1/500 oranında sulandırılır.
9. Konsantre 'conjugate' solüsyonu: 1 ml redistile su içinde çözülür. Mikrobiyal kontaminasyondan korumak amacıyla birkaç timol kristali eklenir. Dondurulmamalıdır.
10. Çalışma 'conjugate' solüsyonu: 50  $\mu$ l konsantre 'conjugate' solüsyonuna 1ml 'blocking/diluting' solüsyonundan eklenerek hazırlanır. Kullanılacağı an hazırlanmalıdır.
11. Substrat solüsyonu: 2 ABTS tableti 10 ml substrat tamponu içinde çözülür. 100 test için yeterlidir. Işıktan korunmalıdır.

**Yöntem:** İnkübasyon oda ısısında 700 rpm'de çalkamayı kapsar.

1. Antikorla kaplama: 'Mikro plate'in her kuyusuna 100  $\mu$ l 'capture antibody' solüsyonu pipetlenir. 30 dakika inkübe edilir.
2. Yıkama: Kuyular boşaltılır. Kalan sıvı kısım selüloz gibi yumuşak-kuru bir zemin üzerine hafifçe vurularak uzaklaştırılır. Her kuyuya 250  $\mu$ l yıkama solüsyonundan eklenir. Etkisini göstermesi için 15 saniye beklenir. Daha sonra boşaltılarak, yukarıda anlatıldığı şekilde sıvı kısım uzaklaştırılır. Bu olay 3 kez tekrarlanır.
3. 'Blocking/diluting' solüsyonla kaplama: Her kuyuya 250  $\mu$ l 'blocking/diluting' solüsyondan pipetlenir. 15 dakika inkübe edilir.
4. Yıkama: 2. aşamada anlatıldığı şekilde yapılır.
5. Standart/ornek ile reaksiyon: Farklı konsantrasyonlarda hazırlanmış 6 standart ve sulandırılmış örneklerden 100'er  $\mu$ l kuyucuklara pipetlenir. 30 dakika inkübe edilir.
6. Yıkama: 2. aşamada anlatıldığı şekilde yapılır.
7. 'Conjugate' ile inkübasyon: Her kuyuya 100'er  $\mu$ l çalışma 'conjugate' solüsyonu pipetlenir. 90 dakika inkübe edilir.
8. Yıkama: 2. aşamada anlatıldığı şekilde yapılır.
9. Substratla reaksiyon: Her kuyuya 100'er  $\mu$ l substrat solüsyonu pipetlenir. 30 dakika inkübe edilir.

Bir 'mikro plate' okuyucu kullanarak, 405 nm'de okuma yapılır. Sonuçlar çizilen standart eğriden değerlendirilir.

### **3.9. Tam Kandan DNA Eldesi:**

**Prensip:** Tam kandaki eritrositler hipotonik lizis çözeltisi ile patlatıldıktan sonra santrifüj edilerek lökositler ayrıştırılır. Sodyum klorür-tris-EDTA (STE) çözeltisi ile lökosit pelleti süspane edilir. Sodyum dodesil sülfat (SDS) ve proteinaz K eklenerek, hücre zarlarının ve proteinlerin hidrolizi gerçekleştirilir. Bir gece inkübasyondan sonra protein ve hücre artıkları fenol-kloroform ile uzaklaştırılır. Pürifiye edilen DNA soğuk saf etanolde çöktürülerek, genomik DNA elde edilir. (105)

#### **Ayıraçlar:**

##### **1. 5 x Retik salin çözeltisi:**

NaCl            40.9 g

KCl            1.85 g

MgCl<sub>2</sub>.6H<sub>2</sub>O    7.1 g distile su ile litreye tamamlanır.

##### **2. Lizis çözeltisi: Günlük hazırlanmalıdır.**

131 mM NH<sub>4</sub>Cl    7.14 g

0.9 mM NH<sub>4</sub>HCO<sub>3</sub>    0.07 g distile su ile litreye tamamlanır.

##### **3. STE çözeltisi:**

0.1 M NaCl    5.844 g

0.2 M Tris    6.057 g

1 mM EDTA    0.3722 g distile su ile litreye tamamlanır. NaOH ya da HCl kullanılarak pH'sı 7.4'e ayarlanır.

**4. Proteinaz K çözeltisi:** 25 mg proteinaz K, pH'sı 7.4 olan 10 mM'lık 2.5 ml tris tamponda çözülür ve -20°C'de saklanır.

**5. Fenol:** 1000 g fenole 200 mM, pH 8.5 tris (200 mM tris: 24.22 g tris baz 1000 ml saf suda çözüлerek hazırlanır, pH'sı 8.5'e HCl ile ayarlanır) tampon eşit miktarda eklenir. İyice karıştıktan sonra fazlar ayrışincaya kadar bekletilir. Üst fazın pH'sı ölçülür. pH 8.5'in altında ise üst faz döküлerek yeni tampon eklenir. Aynı işleme pH yaklaşık 8.5 oluncaya kadar devam edilir. Son olarak konsantrasyonu %0.1 olacak şekilde 8-hidroksi kinolin (1 g) eklenir. Buzdolabında saklanır.

##### **6. TE solüsyonu:**

10 mM Tris    1.2114 g

1 mM EDTA            0.3722 g distile su ile litreye tamamlanır, HCl ile pH 7.4' e ayarlanır.

## 7. Kloroform

### **Yöntem:**

1. EDTA'lı tüpe 5 ml kan alınır. Santrifüj edilerek plazması uzaklaştırılır.
2. 15 ml'lik tüpe aktarılır ve üzerine eşit miktarda 1x retik salin eklenir.
3. 4°C'de, 2500 rpm'de 10 dakika santrifüj edilir.
4. Beyaz küre tabakasına dikkat edilerek, süpernatan aspire edilir.
5. 1x retik salin ile yıkama işlemi üç kez tekrarlanır.
6. Günlük hazırlanmış lizis solüsyonu ile eritrositler patlatılır. Oda ısısında 5-10 dakika yavaşça karıştırılır.
7. 4°C'de, 2500 rpm'de 10 dakika santrifüj edilir.
8. Süpernatan aspire edilir ve lizis işlemi üç kez tekrarlanır.
9. Lökosit pelleti 5 ml STE içerisinde süspanse edilir. İçine 1/20 oranında %20'lik SDS ve 100 µl proteinaz K eklenerek, bir gece 37°C'de bekletilir.
10. Ertesi sabah solüsyon kıvamlı bir hal alır. Eğer lökositler tam olarak parçalanmamışsa iki saat daha inkübasyonda bırakılır.
11. Eşit hacimde fenol eklenir. Yavaşça 10 dakika karıştırılır ve 10 dakika buzda bekletilir. 4°C'de, 2500 rpm'de 10 dakika santrifüj edilir.
12. Üst faz pastör pipeti ile çekilerek temiz bir tüpe aktarılır.
13. 2.5 ml fenol ve 2.5 ml kloroform eklenir. Yavaşça 10 dakika karıştırılır ve 10 dakika buzda bekletilir. 4°C'de, 2500 rpm'de 10 dakika santrifüj edilir.
14. Üst faz pastör pipeti ile çekilerek temiz bir tüpe aktarılır..
15. 5 ml kloroform eklenir. Yavaşça 10 dakika karıştırılır ve 10 dakika buzda bekletilir. 4°C'de, 2500 rpm'de 10 dakika santrifüj edilir.
16. Üstteki faz %95'lik soğuk etanol içine aktarılır. DNA'nın hava kabarcıkları şeklinde presipite olduğu gözlenir.
17. Presipite olan DNA %70'lik etanole aktarılarak yıkanır. 2 dakika santrifüj edilir.
18. Dikkatlice alkol dökülür, içinde kalan az miktar ise 'speed vac'a konarak uçurulur.

19. DNA pelleti üzerine TE solüsyonu eklenerek, 37°C'de bir gece inkübe edilir. DNA tamamen çözülünce 10 µl'si 590 µl saf suyla karıştırılır. 260 nm'deki absorbansı ölçülerek, konsantrasyonu hesaplanır.

$$\mu\text{g/ml konsantrasyon} = \text{OD}_{260} \times \text{sulandırma katsayısı (60)} \times 40$$

DNA'nın 280 nm'deki absorbansı da ölçülerek,  $\text{OD}_{260} / \text{OD}_{280}$  oranından verimi hesaplanır. Verimin 1.5'dan daha yüksek olması istenir.

### 3.10. Polimeraz Zincir Reaksiyonu (PCR) ile Apo E Geninin Amplifikasyonu:

**Prensip:** Genomik DNA'nın çoğaltılmak istenen yörenin iki ucuna özgü, bu yöredeki DNA dizisine komplementer, bir çift sentetik primer kullanılarak, o yörenin enzimatik olarak çoğaltılması esasına dayanır. İlk aşamada, DNA'nın iki zincirinin yüksek ısıda birbirinden ayrılması sağlanır. İkinci aşamada, sıcaklık düşürülerek, primerlerin kendilerine komplementer olan DNA dizilerine bağlanması sağlanır. Son aşamada ise taq polimeraz enzimi ortamda bulunan deoksi nükleotit trifosfatları (dNTP) kullanarak DNA zincirlerinin sentezini gerçekleştirir. Bu işlem 25-30 kez tekrarlandığında, istenilen yörenin yaklaşık bir milyon kez çoğaltılmış olur (Şekil 14). (70)

#### Ayıraçlar:

##### 1. 10 x PCR tamponu (3):

Tris HCl pH 8.8	670 mM
$(\text{NH}_4)_2\text{SO}_4$	166 mM
$\text{MgCl}_2$	67 mM
$\beta$ -Merkaptoetanol	100 mM
Bovin serum albumin	10 µg/ml
Steril redistile su içinde	10 ml

##### 2. Primerler: Apo E geninin 4. eksonunun 227 baz çiftlik (bp) bölgesinin amplifikasyonunda kullanılan primerlerin baz dizisi.(100)

Primer 48 5' TCC AAG GAG CTG CAG GCG GCG CA3'

Primer 49 5' ACA GAA TTC GCC CCG GCC TGG TAC ACT GCC A 3'

##### 3. 2.5 mM dNTP karışımı:

100 mM dATP	25 µl
100 mM dGTP	25 µl
100 mM dCTP	25 µl
100 mM dTTP	25 µl
900 µl steril redistile su eklenir.	

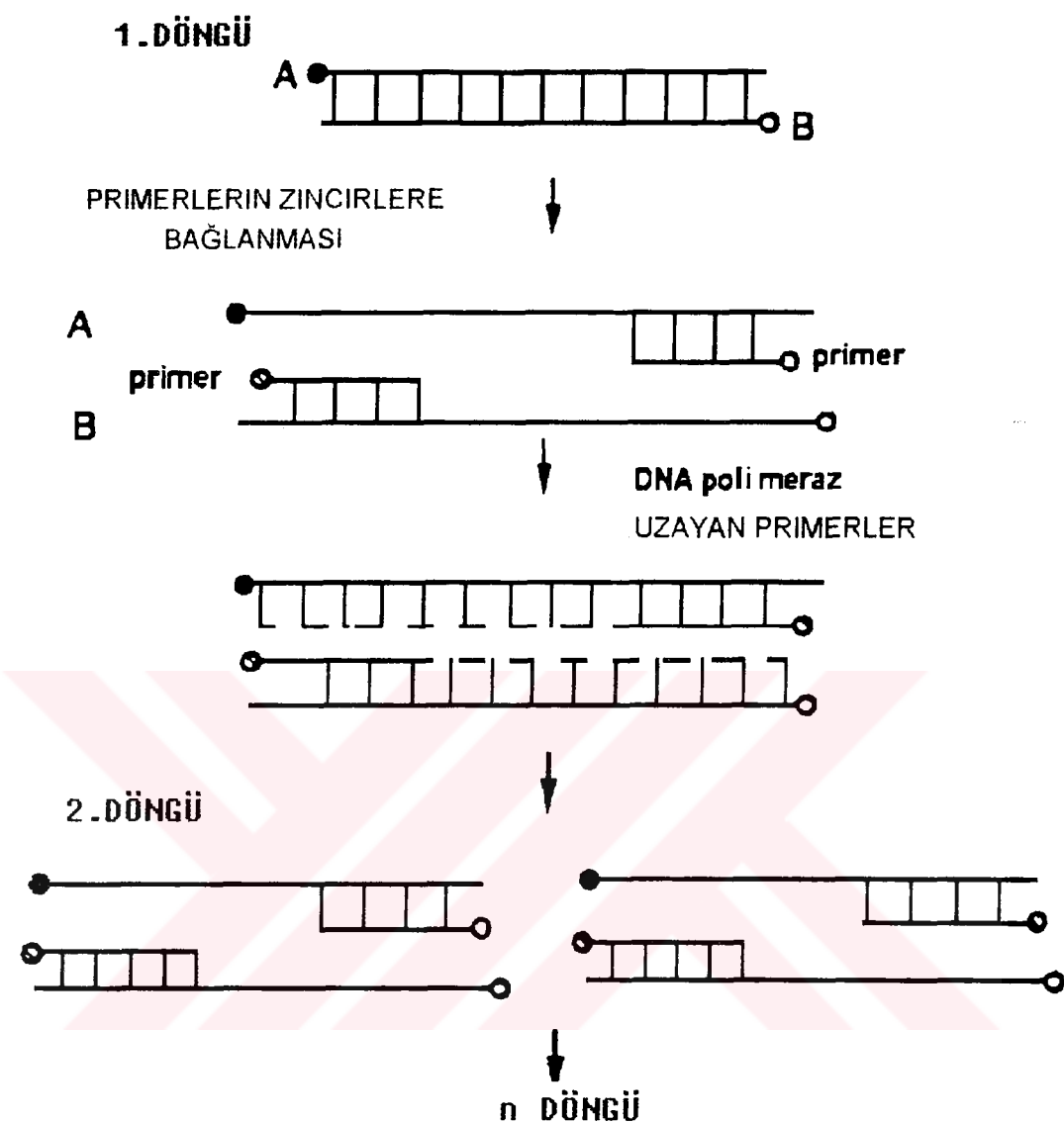
4. %50'lik dimetil sülfoksit (DMSO)

5. Taq polimeraz

**3.10.1. Amplifikasyon Koşulları:** Her örnek için tablo XIV'de verildiği şekilde PCR karışım havuzu hazırlanır. Karıştırılıp, anlık santrifüjden sonra, her bir örnek tüpüne bu havuzdan 19'ar µl pipetlenir. Daha sonra tüplere 0.4 µg konsantrasyonda DNA ve 0.3 µl (1.5 ünite) taq polimeraz eklenir. Her örnek tüpü 50 µl'ye redistile steril su ile tamamlanır. Karıştırılıp, anlık santrifüj edilir. Amplifikasyona başlamadan önce, tüp içeriğinin buharlaşmasını önlemek amacıyla, 1'er damla mineral oil damlatılır. PCR programı uyarınca amplifikasyon başlatılır. (17)

Tablo XIV. PCR karışım havuzunun hazırlanması

Çözelti	Miktar	Konsantrasyon
10 x PCR tamponu	5 µl	1 x PCR tamponu
2.5 mM dNTP karışımı	2 µl	0.1 mM her dNTP'den
25 pmol / µl Primer 48	1 µl	25 pmol / 50 µl
25 pmol / µl Primer 49	1 µl	25 pmol / 50 µl
%50 DMSO	10 µl	%10



Şekil 14. Polimeraz zincir reaksiyonu (PCR). Amplifiye edilmek istenen hedef DNA bölgesi, A zinciri ve ona komplementer olan B zinciri şeklinde çift sarmalı DNA olarak gösterilmiştir. 1. döngüde, DNA denatüre edilir ve kısa oligonükleotit primerlerin yapışması sağlanır. Taq polimeraz, dNTP'ler varlığında, primerlerin uzamasını sağlar. Hedef DNA bölgesinin iki kopyası oluşur. 2.döngüde, 1. döngü sonucunda oluşan iki DNA sarmalı denatüre olur ve aynı işlemler tekrarlanır. Böylece hedef DNA'nın 4 kopyası oluşur. N döngü sonucunda  $2^n$  kadar DNA oluşur.

**3.10.2. PCR Programı:** 95°C'de 5 dakika ön denatürasyon yapılır. Bunu 40 döngü olacak şekilde,

94°C'de 0.5 dakika	denatürasyon
65°C'de 0.5 dakika	yapışma (annealing)
70°C'de 1.5 dakika	uzama (extension)

aşamaları izler. 10 dakika 70°C'de son uzama aşamasıyla amplifikasyon tamamlanır. (100)

**3.10.3. Amplifikasyon Kontrolü:** Restriksiyon tipleme yöntemi için enzimle kesme aşamasından önce amplifikasyon kontrolünün yapılması gerekmektedir. Bu amaçla, daha sonra detaylı olarak bahsedilecek olan, yatay jel elektroforezi uygulanır. %1'lik agaroz jelde, 1 x tris borat EDTA (TBE) tamponda, 150 volotta 30 dakika yürütülen örnekler, etidiyum bromürle boyandıktan sonra ultraviyole (uv) lamba altında kontrol edilir.

### **3.11. Restriksiyon Tipleme Yöntemi İle Apo E Genotipinin Saptanması (Restriction Fragment Length Polymorphism - RFLP):**

**Prensip:** Restriksiyon enzimleri, kendileri için özgün baz dizilimlerini tanıayıp, bu yörelerden çift sarmallı DNA'ları keserek, farklı uzunlukta DNA parçacıklarının oluşumuna neden olurlar. Bir restriksiyon enzimi, aynı DNA dizisine sahip farklı örneklerde, aynı uzunlukta DNA parçacıklarının oluşumunu gerçekleştirir. Ancak, DNA dizisindeki bir mutasyon, restriksiyon enzime özgü tanıma bölgesinde değişikliğe neden oluyorsa, bu durumda farklı uzunlukta DNA parçacıkları oluşacaktır. Apo E geninin, polimorfik yörelerini içeren 227 bp'lik dizisinin amplifikasyonla çoğaltılmadan sonra, Cfo I restriksiyon enzimiyle inkübasyonu, polimorfik yörelerdeki farklı baz diziliği nedeniyle, farklı uzunluklarda DNA parçacıklarının oluşumuyla sonuçlanacaktır. (1, 2, 35, 85)

#### **Ayıraçlar:**

##### **1. Cfo I restriksiyon enzimi**

Özgün tanıma bölgesi; ↓  
**GCGC**  
**CGCG**  
↑

## 2. 10 x tampon L

**Yöntem:** Amplifikasyon kontrolünden sonra, her örnek için tablo XV'de verildiği şekilde pipetleme yapılır.

**Tablo XV. Cfo I restriksiyon enzimi ile kesim hazırlığı**

Amplifikasyon ürünü	20 µl
Cfo I restriksiyon enzimi	1 µl (10 ünite)
10 x tampon L	2.5 µl
Steril redistile su	1.5 µl
<b>Toplam</b>	<b>25 µl</b>

37°C'de bir gece inkübasyondan sonra, oluşan DNA parçacıklarının görüntülenmesi aşamasına geçilir. (2, 35)

## 3.12. Elektroforez:

**Prensip:** Elektriksel alanda, NuSieve agaroz-agaroz jel üzerine aplike edilen DNA'ların anoda doğru göç etmesi esasına dayanır. Örneklerin yanında uygun marker kullanılması ile de, belirli uzaklıklara yürümuş olan DNA bantlarının moleküler ağırlığı saptanabilir.

### Ayıraçlar:

#### 1. %4'lük NuSieve agaroz-agaroz (2:1 oranında) jel:

NuSieve agaroz 1.3 g

Agaroz 0.7 g

50 ml 1xTBE tamponda çözülür.

#### 2. 10xTBE tampon:

Tris baz 108 g

Borik asit 55 g

200 ml 0.1 M, pH 8.0 EDTA içinde çözüldükten sonra 1000 ml'ye saf su ile tamamlanır. Son pH yaklaşık 8.3'tür. Kullanılacağı zaman 1:10 sulandırılarak 1xTBE tampon hazırlanır.

#### 3. Etidiyum bromür: 5 mg/ml olacak şekilde saf suda hazırlanır.

#### **4. Yükleme (loading) tamponu:**

Bromfenol mavisi	%0.25
Sukroz	%40

olacak şekilde 1xTBE tamponda çözülüp, pH'sı 7.5'e ayarlanır.

**Yöntem:** %4'lük NuSieve agaroz-agaroz polimerizasyona uygun hale gelmesi için mikrodalga fırında ısıtılır. Homojen sıvı jel, daha önceden uygun tarak konarak hazırlanmış olan elektroforez kabına dökülür. Donuncaya kadar beklenir. Polimerize olmuş jel 1xTBE tampon içeren elektroforez tankına yerleştirilerek tarak çıkarılır. Parafilm üzerine her örnek için 2 µl yükleme tamponu pipetlenir. Cfo I restriksiyon enzimiyle kesilmiş her örnektен 20 µl, otomatik pipet yardımıyla, homojen hale gelinceye dek yükleme tamponuyla karıştırılır. Bu karışım kuyucuklara aplike edilir. Ayrıca uygun marker da yükleme tamponuyla karıştırılarak kuyucuklardan birine aplike edilir. Aplikasyon tamamlandığında elektroforez işlemi başlatılır. İki saat süreyle 100 V akım uygulanır. Elektroforez tamamlandıktan sonra jel etidiyum bromür kabına konarak, 5 dakika boyada bırakılır. Daha sonra bir saat süreyle su içinde bekletilir ve jelin artık boyalardan temizlenmesi sağlanır. UV ışık altında kamera ile deney sonucu görüntülenir ve çekilen resimlerde apo E genotipleri belirlenir.

#### **4. İstatistiksel Analiz:**

Istatistiksel açıdan değerlendirmeler 'one-way analysis of variance'a göre yapılmıştır.

## BULGULAR

Çalışma süresince, toplam 75 kan örneği toplandı. Örneklerin 41 tanesi Adana ili Yemişli köyünden, 34'ü ise Çukurova Üniversitesi Tıp Fakültesi Biyokimya Anabilim Dalı'na lipit parametrelerini öğrenmek amacıyla başvuran, sağlıklı görünen kişilerden temin edildi. Yemişli köyünün seçilmesinin nedeni, henüz yayınlanmamış olan tarama çalışmalarında, bu köyün insanların yüksek lipit konsantrasyonlarına sahip olmalarıdır. Olguların yaşları 20 ile 84 arasında değişmekteydi. Olgular 40 yaş ve altı ile 40 yaş üzeri olmak üzere iki gruba ayrıldı. Her dekadı kendi içinde değerlendirmemizin nedeni, olgu sayısının istatistiksel değerlendirme açısından yetersiz olmasıdır. Ayrıca kadın ve erkek olarak cinsiyetlerine göre de alt gruplara ayrıldı. Tablo XVI'da bu grupların istatistiksel değerleri verilmektedir.

Tablo XVI. Çalışılan kan örneklerinin cinsiyet ve yaşa göre dağılımı ile grupların yaş ortalamaları ve standart sapmaları

	40 Yaş ve Altı (Yaş X ± SD)	40 Yaş Üzeri (Yaş X ± SD)	Toplam (Yaş X ± SD)
Kadın	22 (31 ± 5.9)	27 (57 ± 10.4)	49 (45 ± 15.8)
Erkek	13 (32 ± 4.9)	13 (49 ± 6.0)	26 (41 ± 15.8)
Toplam	35 (31 ± 5.6)	40 (54 ± 9.8)	75 (44 ± 14.2)

Kanların laboratuvara ulaşmasından sonra lipoprotein elektroforezi, total kolesterol (TK), LDL kolesterol (LDL-K), HDL kolesterol (HDL-K) ve trigliserit (TG) değerleri saptandı. Tablo XVII'de lipoprotein elektroforez sonuçlarının yaş ve

cinsiyete göre dağılımı verilmektedir. Tablo XVIII'de TK, LDL-K, HDL-K ve TG değerlerinin istatistiksel verileri verilmektedir. Tüm örneklerin toplanmasından sonra apo A I, apo B ve Lp (a) parametreleri toplu olarak çalışıldı. Bu değerlerin istatistiksel verileri ise tablo XIX'da verilmektedir. Şekil 15'de total, LDL ve HDL kolesterol ile apo Al'in, çalışılan tüm olguları kapsayacak biçimde yapılmış olan populasyon dağılımı verilmektedir. Her dört parametre de gausyan dağılımına uygunluk göstermektedir. Diğer tarafından şekil 16'da gözlenen trigliserit, apo B ve Lp (a) parametreleri gausyan dağılım göstermemektedir.

Tablo XVII. Tüm olguların yaş ve cinsiyete göre lipoprotein elektroforez sonuçları

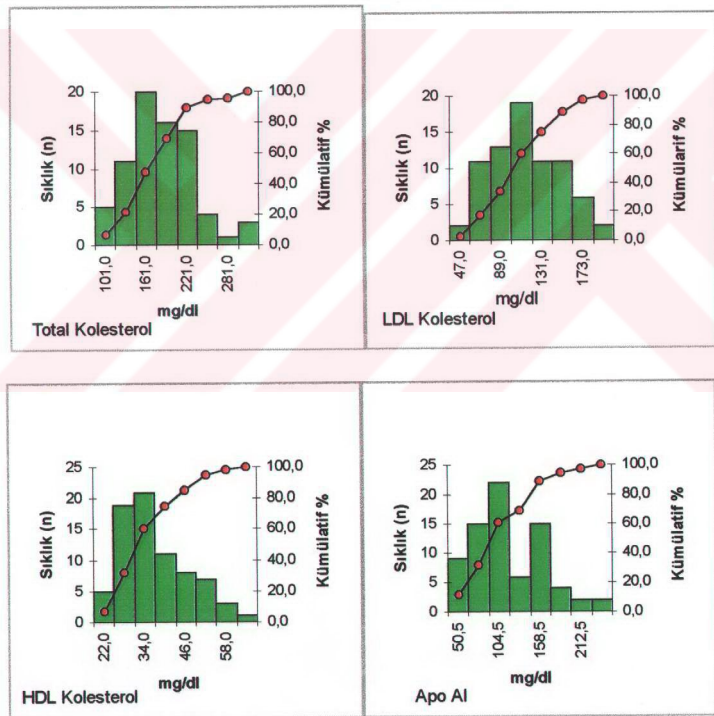
	$\beta X \pm SD$	$pre\beta X \pm SD$	$\alpha X \pm SD$
Kadın	$54 \pm 8.5$	$18 \pm 12.4$	$27 \pm 10.0$
Erkek	$58 \pm 11.1$	$22 \pm 12.5$	$20 \pm 6.6$
Toplam	$55 \pm 9.6$	$20 \pm 12.4$	$25 \pm 9.6$

Tablo XVIII. Çalışılan örneklerin TK, LDL-K, HDL-K ve TG ortalamaları, standart sapmaları ve minimum - maksimum değerleri

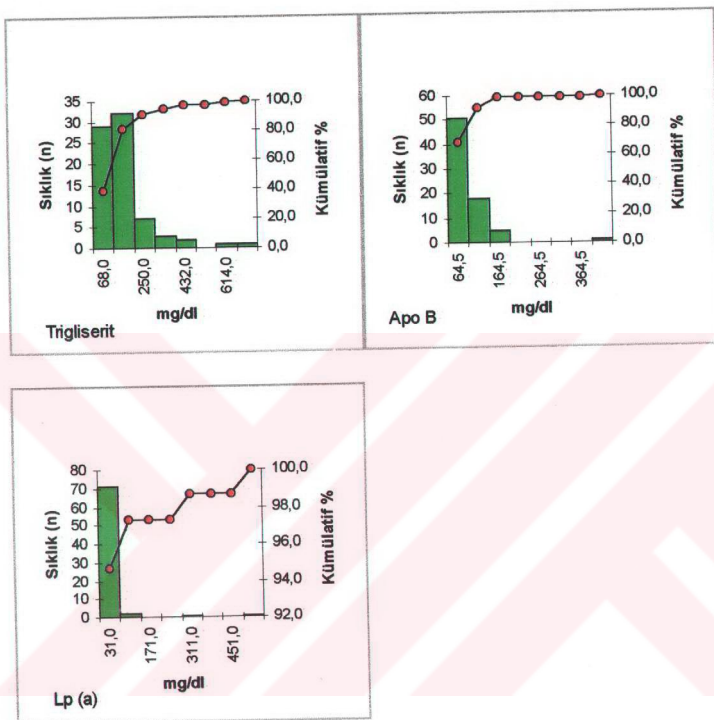
	Total-K $\pm SD$ (min - max)	LDL-K $\pm SD$ (min - max)	HDL-K $\pm SD$ (min - max)	TG $\pm SD$ (min - max)
Kadın	$187 \pm 43.3$ (87 - 312)	$117 \pm 33.5$ (37 - 188)	$40 \pm 9.6$ (20 - 65)	$147 \pm 101.5$ (32 - 651)
Erkek	$176 \pm 54.5$ (113 - 324)	$109 \pm 37.3$ (67 - 203)	$30 \pm 6.3$ (21 - 51)	$176 \pm 159.9$ (25 - 747)
Toplam	$183 \pm 47.4$ (87 - 324)	$114 \pm 34.8$ (37 - 203)	$37 \pm 10$ (20 - 65)	$157 \pm 124.6$ (25 - 747)

Tablo XIX: Çalışılan örneklerin Lp (a), apo A I ve apo B ortalamaları, standart sapmaları ve minimum - maksimum değerleri

	<b>Lp (a) <math>\pm</math> SD (min - max)</b>	<b>Apo A I <math>\pm</math> SD (min - max)</b>	<b>Apo B <math>\pm</math> SD (min - max)</b>
<b>Kadın</b>	18 $\pm$ 47,8 (1 - 316)	130 $\pm$ 48,4 (49 - 251)	78 $\pm$ 15,9 (51 - 112)
<b>Erkek</b>	33 $\pm$ 106,2 (1 - 550)	93 $\pm$ 32,3 (38 - 188)	101 $\pm$ 70,9 (62 - 427)
<b>Toplam</b>	23 $\pm$ 73,1 (1 - 550)	117 $\pm$ 46,7 (38 - 251)	91 $\pm$ 45,9 (51 - 427)



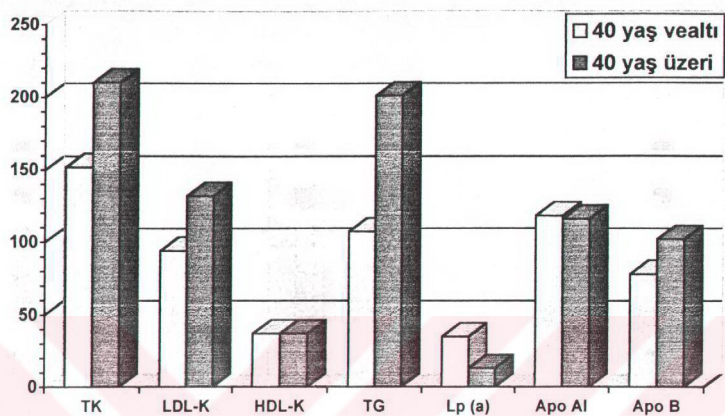
Şekil 15. Total, LDL ve HDL kolesterol ile apo Al'in gausiyen dağılımları



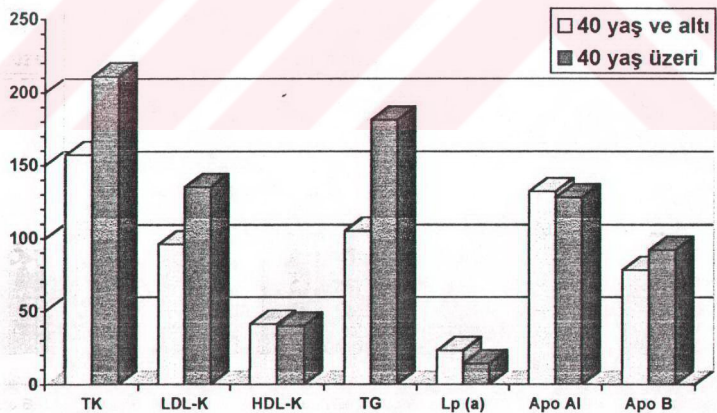
Şekil 16. Triglicerit, apo B ve Lp (a)'nın gausiyan olmayan dağılımları.

Tüm olgularda yaş gruplarına göre, lipit parametrelerinin ortalama değerlerinin dağılımı şekil 17'de verilmektedir. İki yaş grubu istatistiksel açıdan değerlendirildiğinde total kolesterol, LDL kolesterol ve triglycerit  $p<0,01$ 'e göre, apo B  $p<0,05$ 'e göre anlamlı farklılık göstermektedir. Şekil 18 ve 19'da ise farklı cinsiyetlerde yaş gruplarına göre lipit parametrelerinin dağılımı verilmektedir. Kadınlarda total kolesterol, LDL kolesterol ve triglycerit istatistiksel açıdan anlamlı ( $p<0,01$ ) farklılık gösterirken, erkeklerde total ve LDL kolesterol  $p<0,01$ 'e göre,

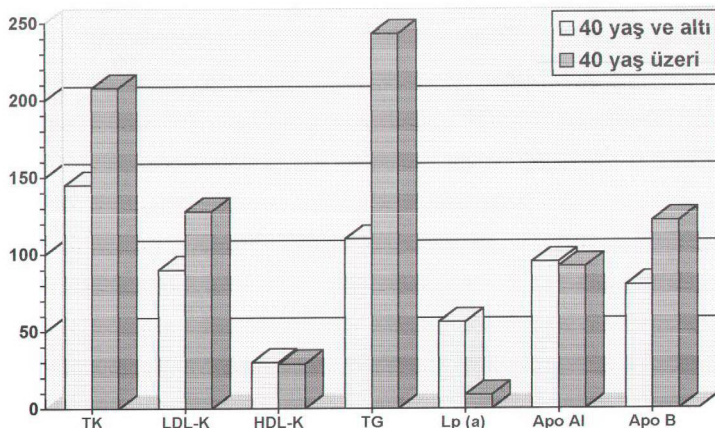
trigliserit  $p<0.05$ 'e göre anlamlı farklılık göstermektedir. Her iki cinsiyette yaş gruplarına göre apo B istatistiksel açıdan anlamlı farklılık göstermemektedir.



Şekil 17. Tüm olgularda yaş gruplarına göre lipit parametrelerinin dağılımı

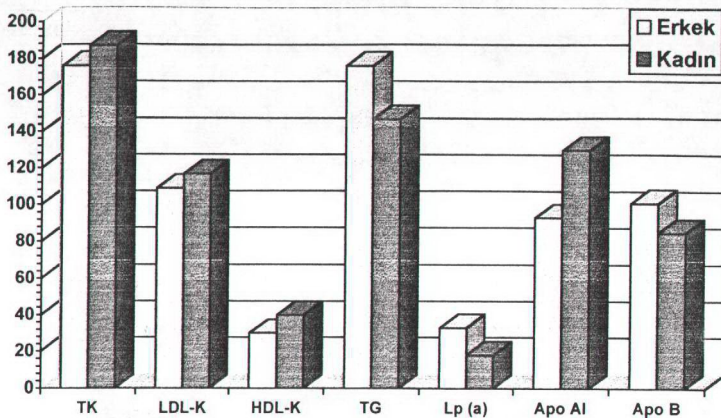


Şekil 18. Kadın olgularda yaş gruplarına göre lipit parametrelerinin dağılımı

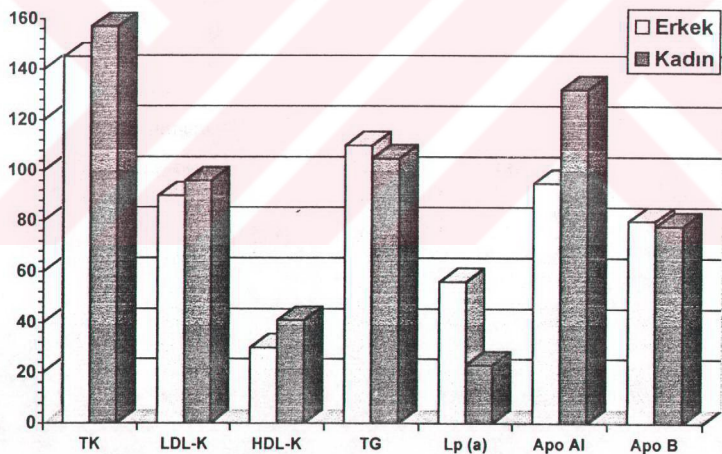


Şekil 19. Erkek olgularda yaş gruplarına göre lipit parametrelerinin dağılımı

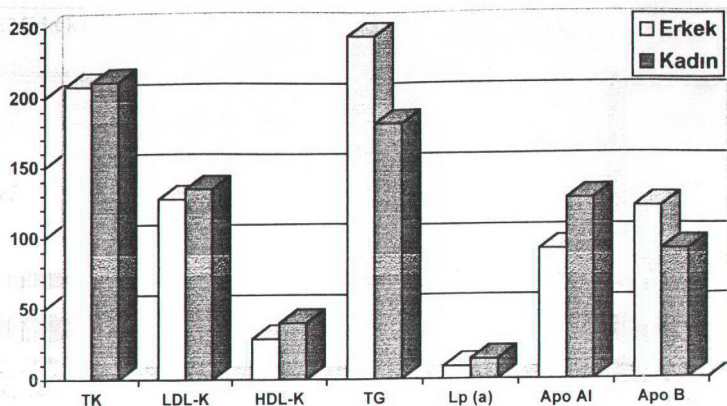
Şekil 20'de tüm olguların cinsiyete göre lipit parametrelerinin dağılımı verilmektedir. İstatistiksel açıdan değerlendirildiğinde HDL kolesterol ve apo Al  $p<0.01$ 'e göre anlamlı farklılık göstermektedir. Şekil 21 ve 22'de ise cinsiyete göre lipit parametrelerinin dağılımı, yaş gruplarına ayrılarak verilmiştir. 40 yaş ve altındaki olgularla 40 yaş üzerindeki olguların gruplarında HDL kolesterol  $p<0.01$ 'e ve apo Al  $p<0.05$ 'e göre anlamlı farklılığı yansımaktadır



Şekil 20. Tüm olgularda cinsiyete göre lipit parametrelerinin dağılımı



Şekil 21. 40 yaş ve altındaki olgularda lipit parametrelerinin cinsiyete göre dağılımı



Şekil 22. 40 yaş üzerindeki olgularda lipit parametrelerinin cinsiyete göre dağılımı

Hastaneye başvuran olgularla Yemişli köyünün olgularının lipit parametreleri karşılaştırıldığında total, LDL ve HDL kolesterol ile apo AI istatistiksel açıdan ( $p<0.05$ ) anlamlı farklılık göstermektedir.

Tablo XX: Farklı olgu kaynaklarının lipit parametrelerinin karşılaştırması

Olguların Kaynağı	TK ( $\pm$ SD)	LDL-K ( $\pm$ SD)	HDL-K ( $\pm$ SD)	TG ( $\pm$ SD)	Apo AI ( $\pm$ SD)	Apo B ( $\pm$ SD)	Lp (a) ( $\pm$ SD)
Yemişli Köyü	195 (41.7)	124 (32.2)	39 (9.7)	150 (109.4)	129 (52.1)	89 (23.0)	20 (52.0)
Hastane	169 (50.4)	103 (36.0)	33 (9.5)	166 (141.9)	102 (34.5)	93 (63.5)	27 (93.1)
<b>p</b>	0.016	0.011	0.010	0.579	0.013	0.645	0.672

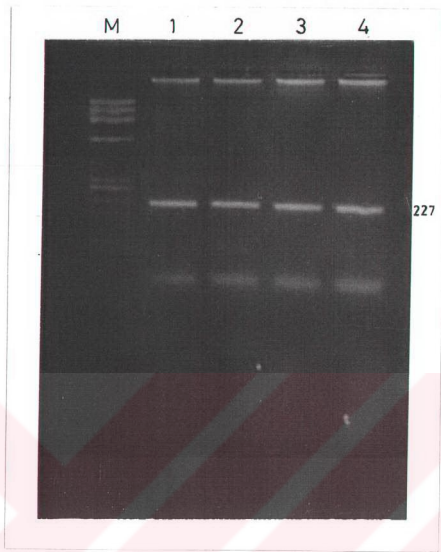
Örneklerin DNA'ları fenol-kloroform ekstraksiyon yöntemi ile izole edildikten sonra, 260 nm dalga boyunda DNA ve 280 nm dalga boyunda protein absorbansları ölçüлerek, DNA yoğunluğu ve verimi hesaplanmıştır. Elde edilen bulgular tablo XXI'de verilmektedir.

Tablo XXI. DNA izolasyonu sonucu elde edilen veriler

(No)	Olgular	O.D. <sub>260</sub>	O.D. <sub>280</sub>	O.D. <sub>260</sub> / O.D. <sub>280</sub>	Konsantrasyon µg/ml
1	E.A.	0.100	0.055	1.82	120
2	F.K.	0.106	0.090	1.18	127
3	Y.K.	0.220	0.122	1.80	264
4	Ç.K.	0.085	0.065	1.31	102
5	Ş.Y.	0.140	0.100	1.40	168
6	G.Ö.	0.276	0.200	1.38	331
7	A.A.	0.490	0.280	1.75	588
8	C.G.	0.310	0.220	1.41	372
9	N.A.	0.360	0.200	1.80	432
10	M.A.	0.404	0.235	1.72	485
11	M.E.	0.332	0.235	1.41	398
12	A.K.	0.370	0.230	1.61	444
13	M.K.	0.283	0.170	1.66	340
14	N.K.	0.462	0.280	1.65	554
15	M.K.	0.290	0.200	1.45	348
16	F.Ü.	0.112	0.082	1.37	134
17	B.Ü.	0.109	0.086	1.27	131
18	D.A.	0.101	0.074	1.37	121
19	A.A.	0.145	0.118	1.23	174
20	G.E.	0.155	0.110	1.41	186
21	N.K.	0.212	0.132	1.61	254
22	B.T.	0.272	0.175	1.55	326
23	A.B.	0.166	0.094	1.76	199
24	F.E.	0.245	0.136	1.80	294
25	H.Ö.	0.160	0.082	1.95	192
26	E.Ö.	0.202	0.112	1.80	242
27	A.Ş.	0.124	0.080	1.55	149
28	M.K.	0.256	0.145	1.77	307
29	A.M.	0.270	0.149	1.81	324
30	E.K.	0.334	0.190	1.76	401
31	A.K.	0.148	0.085	1.74	178
32	S.B.	0.160	0.065	2.46	192
33	M.B.	0.140	0.080	1.75	168
34	N.K.	0.255	0.162	1.57	306
35	N.K.	0.238	0.153	1.56	286
36	M.K.	0.245	0.166	1.48	294
37	Y.A.	0.110	0.090	1.22	132
38	N.U.	0.133	0.110	1.21	160
39	N.A.	0.130	0.107	1.22	156
40	I.A.	0.141	0.114	1.24	169
41	G.A.	0.133	0.108	1.23	160
42	G.T.	0.060	0.045	1.33	71
43	H.H.	0.136	0.104	1.31	163
44	I.K.	0.097	0.061	1.59	116
45	B.E.	0.137	0.107	1.28	164
46	N.E.	0.321	0.206	1.56	385
47	K.E.	0.180	0.106	1.70	216
48	N.B.	0.222	0.131	1.70	266
49	Y.B.	0.204	0.150	1.36	245
50	N.B.	0.109	0.070	1.49	131

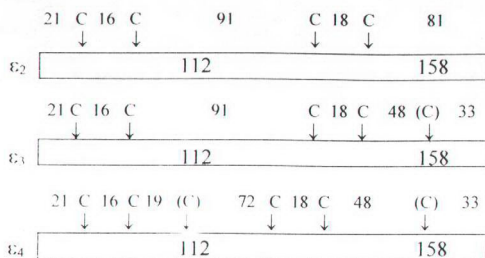
51	G.U.	0.246	0.180	1.37	295
52	N.U.	0.116	0.080	1.45	139
53	H.A.	0.273	0.200	1.37	328
54	E.A.	0.263	0.180	1.46	316
55	A.K.	0.088	0.060	1.47	104
56	E.Ö.	0.100	0.080	1.25	120
57	S.A.	0.157	0.110	1.43	188
58	O.I.	0.092	0.060	1.53	110
59	M.A.A.	0.131	0.090	1.46	157
60	A.K.	0.074	0.050	1.48	89
61	H.K.	0.109	0.056	1.82	131
62	F.K.	0.080	0.050	1.60	96
63	D.T.	0.254	0.200	1.27	305
64	A.S.	0.117	0.090	1.30	140
65	K.B.	0.082	0.050	1.64	98
66	H.B.	0.085	0.055	1.55	102
67	P.Ü.	0.175	0.109	1.61	210
68	Ş.K.	0.257	0.207	1.24	308
69	I.I.	0.436	0.200	2.18	523
70	T.I.	0.949	0.683	1.39	1139
71	H.G.	0.135	0.072	1.86	162
72	G.Y.	0.075	0.060	1.25	90
73	H.A.	0.465	0.340	1.37	558
74	R.K.	0.665	0.375	1.77	788
75	C.I.	0.280	0.152	1.84	336

PCR ile DNA'ların amplifikasyonundan sonra, restriksiyon enzimiyle kesimden önce, her örnek için amplifikasyon kontrolü yapıldı (Şekil 23). Amplifiye edilen 227 bp'lik yöre 112. ve 158. polimorfik kodonları içermektedir. 227 bp'lik amplifiye DNA'ları göstermek amacıyla φX174DNA/Hae III markeri kullanılmıştır.

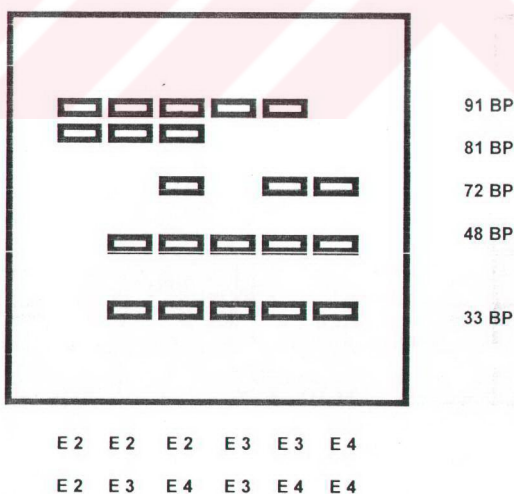


Şekil 23. Amplifikasyon kontrolü. Marker olarak  $\phi$ X174DNA/Hae III kullanılmıştır.

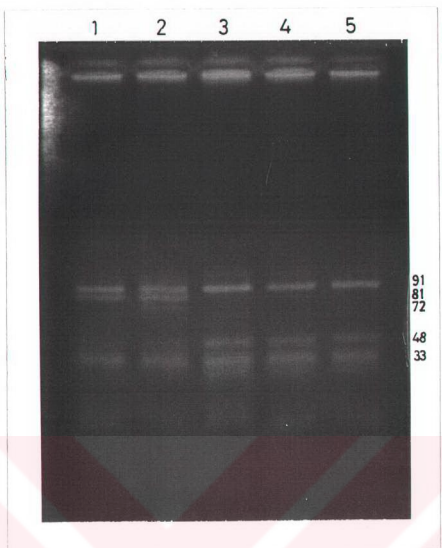
Cfo I restriksiyon enzimiyle kesim sonucunda, çalışılan 75 olguda E 2/3, 2/4, 3/3, 3/4 ve 4/4 olmak üzere, sık görülen 5 değişik apo E genotipi saptandı. Cfo I restriksiyon enzimiyle apo E geninin  $\epsilon$ 2,  $\epsilon$ 3 ve  $\epsilon$ 4 allellerinin restriksiyon haritası şekil 24'de verilmektedir. Kodon 112 ve 158, 3745. ve 3883.'deki polimorfik nükleotitleri içermektedir. Şekil 25'de Cfo I restriksiyon enzimiyle 227 bp'lik amplifiye DNA'nın inkübasyonu sonucu, değişik apo E genotipine göre oluşan bantlar şematik olarak gösterilmektedir. E 2/2 genotipinde 91 ve 81; E 2/3'de 91, 81, 48 ve 33; E 2/4'de 91, 81, 72, 48 ve 33; E 3/3'de 91, 48 ve 33; E 3/4'de 91, 72, 48 ve 33; E 4/4'de ise 72, 48 ve 33 bp'lik DNA fragmanları oluşmaktadır. Şekil 26, 27 ve 28'de ise değişik apo E genotiplerine örnek verilmektedir. Çalışılan olgular arasında E 2/2 genotipine rastlanmadı. (100)



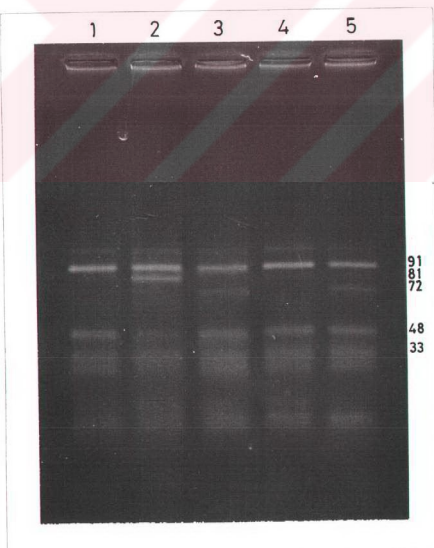
Şekil 24. Cfo I restriksiyon enzimiyle apo E geninin ε<sub>2</sub>, ε<sub>3</sub> ve ε<sub>4</sub> allellerinin restriksiyon haritası. 112 ve 158 polimorfik kodonları göstermektedir. Kesim noktaları C ile, polimorfik noktalardan olan kesimler ise (C) ile işaretlenmiştir. Kesim noktaları arasındaki sayılar bp olarak DNA fragman uzunluklarını göstermektedir.



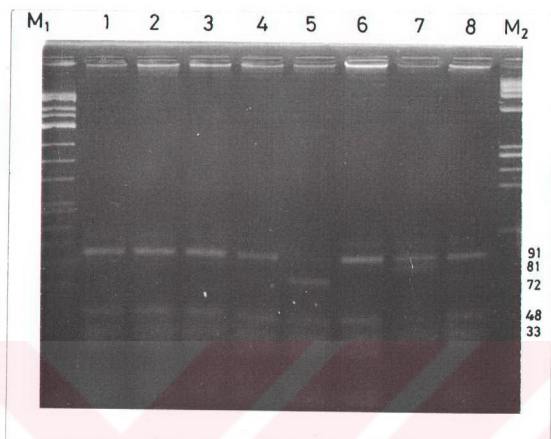
Şekil 25. Şematik olarak apo E genotiplerinin gösterimi



Şekil 26. 1 E2/3, 2 E2/4 ve diğerleri E3/3 genotipleri



Şekil 27. 1 ve 4 E3/3, 2 E2/3, 3 ve 5 E3/4 genotipleri



Şekil 28. M<sub>1</sub> ve M<sub>2</sub> marker, 1, 2, 3 ve 6 E3/3, 4 ve 8 E3/4, 5 E4/4 ve 7 E2/3 genotipleri

Tablo XXII'de çalışılan tüm olguların apo E genotipleri toplu olarak verilmektedir. Olguların apo E genotiplerinin cinsiyete göre dağılımı tablo XXIII'de verilmektedir. E 2/3 genotipi erkeklerde %3.85, kadınlarda %14.3; E 2/4 erkeklerde %3.85, kadınlarda %2; E 3/3 erkeklerde %76.9, kadınlarda %63.3; E 3/4 erkeklerde %15.4, kadınlarda %18.4 ve E 4/4 erkeklerde %0, kadınlarda %2 sıklıkta görülmektedir.

Tablo XXII. Çalışılan tüm olguların apo E genotipleri

No	İsim	Apo E Genotipi	No	İsim	Apo E Genotipi
1.	E.A.	3/3	39.	N.A.	3/3
2.	F.K.	3/4	40.	I.A.	3/3
3.	Y.K.	3/3	41.	G.A.	2/3
4.	Ç.K.	4/4	42.	G.T.	3/3
5.	Ş.Y.	3/3	43.	H.H.	3/3
6.	G.Ö.	2/3	44.	I.K.	3/4
7.	A.A.	3/3	45.	B.E.	3/4
8.	C.G.	3/4	46.	N.E.	3/3
9.	N.A.	3/3	47.	K.E.	3/3
10.	M.A.	3/3	48.	N.B.	2/4
11.	M.E.	3/3	49.	Y.B.	2/3
12.	A.K.	3/3	50.	N.B.	3/3
13.	M.K.	3/3	51.	G.U.	3/3
14.	N.K.	3/4	52.	N.U.	2/3
15.	M.K.	3/3	53.	H.A.	3/3
16.	F.Ü.	3/3	54.	E.A.	2/3
17.	B.Ü.	3/4	55.	A.K.	2/4
18.	D.A.	3/3	56.	E.Ö.	3/3
19.	A.A.	3/3	57.	S.A.	3/3
20.	G.E.	3/4	58.	O.I.	3/3
21.	N.K.	3/3	59.	M.A.A.	3/3
22.	B.T.	3/3	60.	A.K.	3/4
23.	A.B.	3/4	61.	H.K.	3/3
24.	F.E.	2/3	62.	F.K.	3/4
25.	H.Ö.	3/3	63.	D.T.	3/3
26.	E.Ö.	3/4	64.	A.S.	3/4
27.	A.Ş.	3/3	65.	K.B.	3/3
28.	M.K.	3/3	66.	H.B.	3/4
29.	A.M.	3/3	67.	P.Ü.	3/3
30.	E.K.	2/3	68.	Ş.K.	3/3
31.	A.K.	3/3	69.	I.I.	3/3
32.	S.B.	3/3	70.	T.I.	3/3
33.	M.B.	2/3	71.	H.G.	3/3
34.	N.K.	3/3	72.	G.Y.	3/3
35.	N.K.	3/3	73.	H.A.	3/3
36.	M.K.	3/3	74.	R.K.	3/3
37.	Y.A.	3/3	75.	C.I.	3/3
38.	N.U.	3/3			

**Tablo XXIII.** Çalışılan olgularda apo E genotiplerinin cinsiyete göre dağılımı ve % sıklığı

	E 2/3 (%)	E 2/4 (%)	E 3/3 (%)	E 3/4 (%)	E 4/4 (%)	TOPLAM
<b>Kadın</b>	7 (14.3)	1 (2.0)	31 (63.3)	9 (18.4)	1 (2.0)	<b>49</b>
<b>Erkek</b>	1 (3.9)	1 (3.9)	20 (76.8)	4 (15.4)	0 (0)	<b>26</b>
<b>TOPLAM</b>	<b>8</b> (10.7)	<b>2</b> (2.7)	<b>51</b> (68.0)	<b>13</b> (17.3)	<b>1</b> (1.3)	<b>75</b>

Apo E 2/4 ve 4/4 grupları sayı yetersizliği nedeniyle istatistiksel analiz dışı bırakılıp diğer üç grubun (apo E 2/3, 3/3, 3/4) total ve LDL kolesterol ile trigliserit, lipoprotein (a), apo AI ve apo B parametrelerinin değerlendirilmesinde istatistiksel açıdan anlamlı bir farklılık olmadığı gözlenmiştir. Diğer taraftan HDL kolesterol düzeyleri gruplar arasında farklılık taşımaktadır ( $p<0.05$ ). Tablo XXIV ve XXV'de apo E genotiplerine göre yaş, total, LDL ve HDL kolesterol ile trigliserit, lipoprotein (a), apo AI ve B parametrelerinin grup ortalamaları ve standart sapmaları verilmektedir. Tablo XXVI ve XXVII'de ise sırasıyla apo E genotiplerinin % ve allellerinin rölatif sıklığı verilmektedir.

Tablo XXIV. Apo E genotipine göre yaş ve lipit parametrelerinin ortalama değerleri ve standart sapmaları

Apo E genotipi (olgu sayısı)	Yaş ± SD	TK ± SD	LDL-K ± SD	HDL ± SD	TG ± SD
E 2/3 (8)	40 ± 12.5	171 ± 29.4	102 ± 23.6	44 ± 13.3	132 ± 95.4
E 2/4 (2)	28 ± 14.9	169 ± 5.7	74 ± 5.7	37 ± 9.2	288 ± 174.0
E 3/3 (51)	46 ± 14.1	188 ± 53.1	119 ± 37.0	34 ± 9.0	168 ± 136.5
E 3/4 (13)	37 ± 14.1	173 ± 35.3	109 ± 31.0	40 ± 9.7	112 ± 62.6
E 4/4 (1)	32	182	118	45	94

Tablo XXV. Apo E genotiplerine göre yaş, Lp (a) ve apolipoproteinlerin ortalama değerleri ile standart sapmaları

Apo E genotipi	Yaş ± SD	Lp (a) ± SD	Apo AI ± SD	Apo B ± SD
E 2/3	40 ± 12.5	6 ± 4.3	146 ± 69.4	69 ± 14.2
E 2/4	28 ± 14.9	7 ± 4.2	130 ± 54.4	78 ± 8.5
E 3/3	46 ± 14.1	24 ± 77.7	110 ± 44.0	95 ± 53.7
E 3/4	37 ± 14.1	13 ± 15.6	122 ± 36.8	82 ± 23.2
E 4/4	32	316	159	93

Tablo XXVI. Olguların kayınağına göre ve toplam olarak apo E genotiplerinin % sıklığı

Olguların Kaynağı	E 2/3	E 2/4	E 3/3	E 3/4	E 4/4
Yemişli Köyü	%12.2	%2.4	%61	%22	%2.4
Hastane	%8.8	%2.9	%76.5	%11.8	%0
TOPLAM	%10.7	%2.7	%68	%17.3	%1.3

**Tablo XXVII.** Apo E allellerinin olguların kaynağına göre ve toplam olarak rölatif sıklıkları

Olguların Kaynağı	$\varepsilon 2$	$\varepsilon 3$	$\varepsilon 4$
<b>Yemişli Köyü</b>	0.073	0.781	0.146
<b>Hastane</b>	0.059	0.868	0.073
<b>TOPLAM</b>	0.067	0.820	0.113

Total kolesterol için 200 mg/dl, LDL kolesterol için 150 mg/dl, Lp (a) için 30 mg/dl ve apo B için 96 mg/dl üzerindeki değerler ateroskleroz açısından risk faktörleri olarak bilinmektedir. Aynı şekilde HDL kolesterol için 35 mg/dl ve apo AI için 112 mg/dl altındaki değerler de risk faktörleri arasında yer almaktadır. Apo E allellerinin yukarıda bahsedilen lipit parametrelerine göre, ateroskleroz açısından risk taşımayan ve taşıyan olgulardaki % dağılımı tablo XXVIII'de verilmektedir. (79)

**Tablo XXVIII.** Lipit parametrelerine göre ateroskleroz riski taşımayan ve taşıyan olgulardaki apo E allellerinin % dağılımı

	Risk (-)			Risk (+)		
	$\varepsilon 2$ (%)	$\varepsilon 3$ (%)	$\varepsilon 4$ (%)	$\varepsilon 2$ (%)	$\varepsilon 3$ (%)	$\varepsilon 4$ (%)
<b>TK</b>	8.8	78.4	12.8	2.1	89.6	8.3
<b>LDL-K</b>	8.6	79.3	12.1	0	96.9	3.1
<b>HDL-K</b>	10.5	75.0	16.5	2.7	89.2	8.1
<b>Apo AI</b>	8.3	77.8	13.9	5.1	85.9	9.0
<b>Apo B</b>	8.0	79.5	12.5	2.6	89.5	7.9
<b>Lp (a)</b>	7.5	82.8	9.7	0	75	25

## TARTIŞMA

Yetişkin dönemde görülen birçok hastalık, genetik ve çevresel faktörlerin etkileşimi sonucunda ortaya çıkan, multifaktöryel hastalıklardır. Ateroskleroz ve Alzheimer hastalığı, genetik olarak apo E polimorfizminden etkilendiği düşünülen hastalıklardır. Apo E polimorfizmi ve ateroskleroz arasındaki ilişki, ilk olarak Utermann ve arkadaşlarının apo E 2/2 fenotipi taşıyan tip III hiperlipoproteinemi hastalarda erken koroner kalp hastalığını gözlemeleri ile ortaya konmuştur. Apo E polimorfizmi ile ilgili çalışmaların artmasıyla da, apo E'nin aterosklerozun başlama ve ilerlemesinde bireyler arası değişkenliğin majör belirleyicilerinden olduğu kanısındaki görüşler giderek güçlenmiştir. 1993 yılında apo E'nin Alzheimer hastalığı ile olan ilişkisinin ortaya atılmasıyla da, bu konudaki çalışmalar daha da yoğunluk kazanmıştır. (4, 96)

Apo E geninin çoklu allellerden oluşması, sık görülen üç apo E izoformunun ortaya çıkışından sorumludur. Apo E 3 izoformu, yapılan değişik populasyon taramalarında en sık görülen olduğundan normal tip, E 2 ve 4 ise varyant tipler olarak değerlendirilmektedir. Yapılan birçok populasyon taramasında izoform sıklığıyla birlikte, sık görülen apo E genotiplerinin lipit parametreleri ile olan ilişkisi de araştırılmıştır. (15, 17, 58, 59)

Bizim çalışmamızda lipoprotein elektroforez sonuçlarına bakıldığından (Tablo XVII),  $\beta$  kadınlarda %54, erkeklerde % 58 ve tüm grupta %55; pre $\beta$  kadınlarda %18, erkeklerde %22 ve tüm grupta %20;  $\alpha$  ise kadınlarda %27, erkeklerde %20 ve tüm grupta % 25'lik bir ortalama değer göstermektedir. Normalde %5 ile 10 arasında olması beklenen pre $\beta$  fraksiyonu, özellikle erkeklerde olmak üzere, tüm grupta oldukça yüksek bir yüzdeye sahiptir. Bu sonuç VLDL kolesterol ve paralelinde trigliserit yüksekliğini yansımaktadır. Ayrıca, normalde %25 ile 30 arasında olması beklenen  $\alpha$  fraksiyonunun, erkeklerde %20'lik bir değer göstermesi de HDL kolesterol düşüklüğünü yansımaktadır.

Lipit parametrelerini gözden geçirdiğimizde (Tablo XVIII ve XIX) özellikle dikkat çekici olan, erkeklerdeki HDL kolesterol düşüklüğüdür. Normalde 35 mg/dl'nin üzerinde olması beklenen değer, ortalama 30 mg/dl olarak saptanmıştır.

21 mg/dl gibi oldukça düşük HDL kolesterol düzeylerinin bulunması ve HDL kolesterolinin ateroskleroz gelişimiyle olan negatif korelasyonu göz önüne alınırsa, bu konuya ilgili çevresel ve genetik faktörleri kapsayan çalışmaların yoğunlaşması gerekliliği ortaya çıkacaktır. Bir diğer dikkat çekici nokta trigliserit düzeylerinin yüksek olmasıdır. Kadınlarda 30 ile 135 mg/dl arasında beklenen değer ortalama 147, erkeklerde 40 ile 160 mg/dl arasında beklenen değer ise ortalama 176 mg/dl olarak saptanmıştır. Bunun temelinde bölgedeki beslenme alışkanlığının önem taşıdığı düşünülmektedir. (79)

Erkeklerde Lp (a), apo B ve apo Al konsantrasyonları da normalden sapma göstermektedir. Bunların ortalama değerleri sırasıyla 33, 101 ve 93 mg/dl olarak saptanmıştır. Aterosklerozla, 30 mg/dl üzerindeki Lp (a) ile 96 mg/dl üzerindeki apo B düzeylerinin pozitif korelasyonu ve 112 mg/dl altındaki apo Al düzeyinin negatif korelasyonu, bu populasyonda, ateroskleroz açısından risk faktörlerini ortaya koymaktadır. Ayrıca 40 yaş üzerindeki grubun Lp (a) düzeyinin düşük olması, yüksek Lp (a) konsantrasyonuna sahip bireylerin erken yaşta koroner arter hastalığından kaybedilmiş olabileceği fikrini ortaya çıkarmaktadır (Şekil 19). (67, 72, 81)

Şekil 20'de tüm olgularda cinsiyete göre lipit parametrelerinin dağılımı verilmektedir. HDL kolesterol ve paralelinde apo Al'in cinsiyete göre istatistiksel açıdan anlamlı farklılık gösterdiği saptanmıştır ( $p<0.01$ ). Erkeklerde belirgin HDL kolesterol ve apo Al düşüklüğü gözlenmektedir. Bu farklılık yaş gruplarının cinsiyete göre kıyaslanmasında da (HDL-K için  $p<0.01$ , apo Al için  $p<0.05$ ) aynı şekilde ortaya çıkmaktadır (Şekil 21 ve 22). Kadınlarda HDL kolesterol ve apo Al düzeylerinin daha yüksek olması östrojenin metabolik etkilerinden kaynaklanmaktadır. (79)

Tüm olgularda yaş gruplarına göre lipit parametrelerinin dağılımında (Şekil 17) totalコレsterol ( $p<0.01$ ), LDLコレsterol ( $p<0.01$ ), trigliserit ( $p<0.01$ ) ve apo B ( $p<0.05$ ) 40 yaş üzerindeki grupta istatistiksel açıdan anlamlı olarak yüksek bulunmuştur. Yaş gruplarına göre kadın ve erkek olguları kendi içlerinde değerlendirdiğimizde; kadınlarda totalコレsterol, LDLコレsterol ve trigliserit ( $p<0.01$ ), erkek olgularda totalコレsterol ( $p<0.01$ ), LDLコレsterol ( $p<0.01$ ) ve trigliserit ( $p<0.05$ ) yine 40 yaş üzerindeki grupta anlamlı olarak yüksek

saptanırken, apo B farklılığı ortadan kalkmaktadır (Şekil 18 ve 19). Apo B düzeyinin değerlendirilmesinde dikkat edilmesi gereken nokta, sadece LDL kolesterolün içерdiği apo B 100'ün ölçülmediği, bunun yanında Lp (a)'nın içerdeği apo B 100'ün de ölçüldüğüdür. Bu bilgi doğrultusunda; özellikle erkeklerde 40 yaş ve altındaki grupta Lp (a) düzeyinin yüksek olmasının, iki yaş grubu arasındaki apo B farklılığının ortadan kalkmasında etken olabileceği görüşünü ortaya atabiliyoruz. (45)

Olguların kaynağına göre lipit parametrelerini karşılaştırdığımızda; Yemişli köyü olgularının, hastaneye başvuran olgulara göre, istatistiksel açıdan anlamlı olarak daha yüksek total, LDL ve HDLコレsterol ile apo AI düzeylerine sahip oldukları saptadık (Tablo XX). Yemişli köyünde daha önceden yapılan tarama sonuçlarında da yine total ve LDLコレsterol düzeyleri yüksek olarak saptanmıştır. E 3/4 ve 4/4 genotiplerinin yüksek total ve LDLコレsterol düzeyleri ile ilişkili olduğunu göz önüne alarak bu farklılığı açıklayabiliriz. E 3/4 ve 4/4 genotipleri Yemişli köyü olgularında sırasıyla %22.0 ve %2.4 sıklıkta bulunurken, hastaneye başvuran olgularda %11.8 ve %0 olarak saptanmıştır (Tablo XXVI). ε4 allelinin rölatif sıklığı açısından da iki toplum farklılık göstermektedir. Yemişli köyünün olgularında 0.146 iken, hastaneye başvuran olgularda 0.073'tür (Tablo XXVII). HDLコレsterol ve paralelinde apo AI düzeylerinin Yemişli köyü olgularında daha yüksek olarak bulunmasını ise kent insanların köye oranla daha sedanter yaşam biçimlerine sahip olmalarıyla açıklayabiliriz.

Tüm olgularda tablo XXII'de de görüldüğü gibi, sık görülen üç homozigot ve üç heterozigot apo E genotiplerinden, E 2/2 genotipi dışında diğerleri toplumda yer almaktadır. Çalışılan 75 olgudan 8'i (%10.7) E 2/3, 2'si (%2.7) E 2/4, 51'i (%68.0) E 3/3, 13'ü (%17.3) E 3/4 ve 1 olgunun (%1.3) E 4/4 genotipine sahip olduğu saptanmıştır (Tablo XXIII). E 2/3 genotipi erkeklerde oranla kadınlarda belirgin yükseklik gösterirken, erkeklerde E 3/3 daha yüksek olarak saptanmıştır. Boerwinkle ve arkadaşlarının Fransa'da, Ordovas ve arkadaşlarının Amerika'da yaptıkları çalışmalarda da benzer sonuçlar alınmıştır. Ancak olgu sayısının

azlığının, bu konuda kesin bir yargıya varmamızı engellediği düşüncesindeyiz. (8,56)

Tablo XXIX'da verilen değişik populasyonlarda saptanan apo E genotiplerinin sıklıklarını, bizim çalışmamızın sonuçları ile kıyasladığımızda, koroner arter hastalığının düşük görüldüğü Japon toplumuna benzerlik gösterdiği ortaya çıkmaktadır. Almanya ve Kuzey İskoçya sonuçları birbirine paralellik gösterirken, Kanada, özellikle E 4/4 sıklığı açısından bu iki toplumdan ayrılmaktadır. Amerika'nın San Fransisko kentinde yapılan çalışma ise E 2/3, 3/3 ve 4/4 sıklıkları açısından Kanada'dan farklılık göstermektedir. Burada, Kanada ve Amerika'nın sonuçlarını yorumlarken dikkat edilmesi gereken nokta, her iki ülkenin de heterojen toplum yapısının olduğunu söylemektedir. Diğer taraftan, koroner kalp hastalığının oldukça sık görüldüğü Finlandiya, özellikle E 3/4 ve E 4/4 genotiplerinin yüksek sıklıkta, E 3/3'ün ise düşük sıklıkta görülmesi ile tüm toplumlara göre farklılık taşımaktadır. Bizim olgularımız arasında E 2/2 genotipinin bulunmaması, olgu sayısının diğer çalışmalarla oranla daha düşük olmasından kaynaklanabilir. Ancak olgu sayımızı arttırmamızın, apo E genotiplerinin sıklığını ne ölçüde etkileyeceği de tartışma konusudur. (16, 19, 23, 24, 49, 76)

Tablo XXIX. Değişik populasyonlarda apo E genotiplerinin sıklığı (%)

<b>Merkez (n)</b>	<b>E 2/2</b>	<b>E 2/3</b>	<b>E 2/4</b>	<b>E 3/3</b>	<b>E 3/4</b>	<b>E 4/4</b>
<b>Almanya (Münih) (272)</b>	1.1	11.8	2.6	59.5	23.9	1.1
<b>Kuzey İskoçya (400)</b>	0.5	12.8	2.8	58.2	24.7	1.0
<b>Finlandiya (Helsinki) (207)</b>	0.5	10.1	1.4	47.3	34.8	5.8
<b>Kanada (Ottawa) (102)</b>	2.0	9.8	2.0	61.7	20.6	3.9
<b>USA (San Fransisko) (412)</b>	0.5	8.5	1.0	67.0	20.6	2.4
<b>Japonya (Osaka) (100)</b>	0	12	1.0	71.1	15.0	1.0
<b>Çukurova (75)</b>	0	10.7	2.7	68.0	17.3	1.3

Apo E genotip sıklığı yanında, allellerin rölatif sıklıkları da değişik populasyonlarda saptanmıştır. Tablo XXX'da görüldüğü gibi  $\epsilon 2$  İskoçya,  $\epsilon 4$  Finlandiya ve  $\epsilon 3$  de Çin ile Japon populasyonlarında en yüksek sıklıkta saptanmışlardır. Güney Amerika yerlilerinde  $\epsilon 2$ 'nin hiç olmaması ve  $\epsilon 4$ 'ün Finlandiya kadar olmasa da, yüksek sıklıkla görülmesi dikkat çekicidir. Dünyanın değişik yerlerinde yaşayan Yahudiler üzerinde yapılan çalışmalarda apo E allele sıklıkları Framingham sonuçlarına benzerlik göstermektedir. İskoç toplumu dışında,  $\epsilon 4$  allele sıklığı Avrupa'da kuzeyden güneye doğru azalmaktadır. Asya populasyonunda ise en düşük düzeye ulaşmaktadır. Bununla birlikte, zenci Afrikalılarda ve Papua Yeni Gine'de  $\epsilon 4$  yine yüksek sıklıkta karşımıza çıkmaktadır. (3, 8, 19, 24, 26, 49, 54, 56, 74, 97)

Çukurova Bölgesi'nin apo E allellerinin rölatif sıklıkları Asya populasyonlarında yapılan çalışmalara benzerlik göstermektedir. Tablo XXVII'de de görüldüğü gibi  $\epsilon 2$  0.067,  $\epsilon 3$  0.820 ve  $\epsilon 4$  0.113'lük bir rölatif sıklığa sahiptir. Bizim toplumumuzda  $\epsilon 4$  ve  $\epsilon 2$  alleleri, Avrupa ve Amerika populasyonlarına göre daha düşük sıklıkta saptanmıştır.

Bizim çalışmamızın apo E genotiplerinin % sıklığını olgu kaynağına göre incelediğimizde daha farklı bir sonuçla karşılaşmaktayız (Tablo XXVI). Yemişli köyü olgularının sonuçları, Finlandiya dışındaki Almanya, Kuzey İskoçya, Kanada ve Amerika gibi batı toplumu sonuçlarıyla uygunluk göstermektedir. Benzer şekilde E 2/3, 3/4 ve 4/4 genotipleri yüksek ve 3/3 genotipi ise düşüktür. Bunun yanında, hastaneye başvuran olgularda E 3/4 ve 4/4 genotipleri Japon toplumundan da daha düşük olarak bulunmuştur. E 3/3 genotipi ise çalışılan tüm populasyonlardan daha yüksek sıklıkta saptanmıştır. E 2/3 ve 2/4 genotipleri ise batı toplumuına daha uygunluk göstermektedir.

Olgu kaynağına göre apo E allellerinin rölatif sıklığı da farklılık göstermektedir (Tablo XXVII). Yemişli köyü olguları, allellerin rölatif sıklığı açısından Almanya, Amerika ve Yahudilerde saptanan sonuçlara uygunluk göstermektedir. Hastaneye başvuran olgular ise Asya populasyonunun sonuçlarıyla daha uyumludur.

Populasyonlar arası apo E allele sıklıklarındaki farklılıklardan nelerin sorumlu olduğuna yönelik özgün çalışmalar henüz bulunmamaktadır. Ancak

populasyonlar arası  $\epsilon 4$  allele sıklığındaki farklılıklar, belki de değişik populasyonlardaki kardiyovasküler hastalık prevalansındaki değişkenliği açıklamakta yardımcı olabilir. (74)

Tablo XXX. Değişik populasyonlarda apo E allellerinin rölatif sıklığı

<b>Merkez</b>	<b>n</b>	<b><math>\epsilon 2</math></b>	<b><math>\epsilon 3</math></b>	<b><math>\epsilon 4</math></b>
<b>USA Framingham</b>	1108	0.075	0.790	0.135
<b>USA San Fransisko</b>	412	0.052	0.816	0.132
<b>Eski Batı Almanya</b>	1000	0.078	0.783	0.139
	272	0.083	0.774	0.143
<b>Fransa Nancy</b>	434	0.123	0.751	0.126
<b>Güney Amerika</b>	95	0.000	0.816	0.184
<b>Yerlileri</b>				
<b>Çin</b>	196	0.086	0.852	0.064
<b>Japonya</b>	880	0.035	0.851	0.112
<b>Yahudiler</b>	5805	0.080	0.769	0.150
<b>Finlandiya Helsinki</b>	207	0.063	0.698	0.239
<b>İskoçya</b>	400	0.147	0.770	0.083
<b>Çukurova</b>	75	0.067	0.820	0.113

Apo E'nin lipoprotein reseptörleriyle olan ilişkisi, farklı apo E genotiplerinin lipoprotein metabolizması üzerine farklı etkileşimlerini ortaya çıkarmaktadır. Bu konu ilk olarak Utermann ve arkadaşlarının, normal populasyonda yaptıkları bir çalışmada  $\epsilon 2$  allellini taşıyan bireylerde, E 3/3 genotipini taşıyan bireylere kıyasla, daha düşük plazma total ve LDL kolesterol düzeylerini saptamaları ile gündeme gelmiştir. Bunu, Bouthillier ve arkadaşları ile Davignon ve arkadaşlarının,  $\epsilon 4$  allellini taşıyan bireylerin E 3/3 genotipi olanlara göre daha yüksek plazma total ve LDL kolesterol düzeylerine sahip olduklarını açıklamaları izlemiştir. (9, 76, 88, 91, 92)

Eichner ve arkadaşları ise, orta yaş erkeklerde yaptıkları bir çalışmada, apo E genotiplerine göre LDL kolesterolün istatistiksel açıdan anlamlı farklılık

gösterdiğini yayinallyamışlardır. Bu çalışmada, diğer apo E genotiplerini taşıyan gruplarla apo E 2/3 genotipine sahip olanların LDL kolesterol düzeyleri arasında 20-23 mg/dl'lik bir farkın bulunduğu bildirilmiştir. Ayrıca istatistiksel açıdan anlamlı olmamakla birlikte, totalコレsterol ve trigliserit düzeylerinin apo E genotipine göre farklılık gösterdiğini de belirtmişlerdir. (24)

Manke ve arkadaşlarının familyal defektif apo B-100'lü hastalarla normal populasyonu, apo E genotipleri açısından karşılaştırıldıları çalışmada, kontrol olgularında; E 2/2 grubunun en düşük total ve LDLコレsterol, E 4/4 grubunun ise en yüksek total ve HDLコレsterol düzeyleriyle ilişkili olduğunu göstermişlerdir. Ayrıca trigliserit konsantrasyonu açısından E 2/2 ve E 4/4 gruplarının istatistiksel olarak farklılık taşıdıkları, E 2/2 grubunun daha yüksek konsantrasyona sahip olduğu da belirtilmektedir. Bu çalışmada apo E allellerinin lipit parametreleri üzerine olan etkisi de incelenmiştir. Genel olarak  $\epsilon$ 2 allelinin LDL ve HDLコレsterolü,  $\epsilon$ 3 allelinin trigliseriti düşürücü ve  $\epsilon$ 4 allelinin ise total ve LDLコレsterolü yükseltici etkisinin bulunduğu sonucuna varılmıştır. (49)

Bizim çalışmamızda ise istatistiksel olarak değerlendirmeye aldığımız üç farklı apo E genotipine sahip gruplar arasında total ve LDLコレsterol ile trigliserit, Lp (a), apo A1 ve apo B açısından anlamlı bir farklılık gözlenmemekken, HDLコレsterolde farklılık bulunmaktadır (Tablo XXIV). HDLコレsterol düzeyi en yüksek E 2/3, en düşük 3/3 grubunda saptanmıştır. Bunun, grplardaki cinsiyet farklılığından kaynaklandığını düşünüyoruz. Erkek/kadın oranı E 2/3, 3/3 ve 3/4 grupları için sırasıyla 1/7, 20/31 ve 4/9'dur. Ortalama HDLコレsterol düzeylerine göre grupları sıralarsak E 3/3 < E 3/4 < E 2/3 diziliminin cinsiyet oranına paralellik gösterdiği sonucunu elde ederiz. Birçok çalışmada apo E genotipinin HDLコレsterol üzerine etkisi olmadığı yönünde sonuçlar alınmış ise de, Manke ve arkadaşlarının çalışmada en yüksek HDLコレsterol düzeyi E 4/4 genotipini taşıyan bireylerde gözlenmiştir. Bu çalışmada grupların cinsiyet oranı verilmemiştir. Fakat en yüksek düzeye sahip grubun yaş ortalaması en düşük olandır. (49)

Diger parametreler açısından farklılık bulunmaması sonucuna ulaşmamıza etken olabileceğini düşündüğümüz faktörler:

- E 2/2 genotipinin olgularımız arasında bulunmaması.

- E 2/4 ve 4/4 gruplarındaki olgu sayılarının yetersizliği nedeniyle istatistiksel değerlendirmeye alınmaması.
- Değerlendirmeye alınan E 2/3, 3/3 ve 3/4 gruplarının farklı yaş ortalamalarına sahip olmalarıdır.

E 3/4 grubu ( $37 \pm 14.1$ ) en düşük, 3/3 grubu ( $46 \pm 14.1$ ) ise en yüksek yaş ortalamasına sahip olgulardan oluşmaktadır. Lipit parametreleri yaşa göre değişiklik göstermekte ve persentil değerleri saptanmış durumdadır. Total ve LDL kolesterol ile trigliseritin yaşla olan pozitif korelasyonu ve HDL'nin negatif korelasyonu göz önünde bulundurulması gereken bir gerçektir. (79)

Farklı apo E genotipindeki bireylerin, aynı LDL kolesterol konsantrasyonuna sahip olmaları, LDL kolesterol eğrisinin farklı persentilinde yer almalarından kaynaklabilir. E 2/3 genotipini taşıyan grupta 110 mg/dl LDL kolesterol düzeyi olan bir kişi, bu grubun %95'lik persentiline daha yakın olabilir. Aynı şekilde 3/4 genotipini taşıyan grupta 110 mg/dl LDL kolesterol düzeyi olan bir kişi, bu grubun %5'lik persentiline daha yakın olabilir. (24)

Olaya ateroskleroz açısından bakacak olursak, yüksek LDL kolesterol düzeyine sahip bireylerin, bu düzeye ne kadar süredir maruz kaldıkları da önem taşımaktadır. E3/4 genotipindeki bir kişi, 3/3 ya da 2/3 genotipindeki bir kişiye göre daha uzun süredir yüksek LDL kolesterol düzeyine sahip olabilir. Sonuç olarak, başka etkenleri göz önüne almadan, sadece LDL kolesterol düzeylerine bakarak, bu kişilerin ateroskleroz riskini ne oranda taşıdıklarıni kestirmemiz mümkün olmayacaktır. (24)

Apo E polimorfizminin apolipoprotein düzeyleri üzerine olan etkisi de araştırılmıştır. Sing ve Davignon ile Utermann yaptıkları çalışmalar sonucunda en düşük apo B düzeyinin E 2/2, en yüksek apo B düzeyinin ise E 4/4 ve 3/4 genotipleriyle ilişkili olduğu sonucuna varmışlardır. Havekes ve arkadaşları da benzer sonuçlar elde etmişlerdir. Ayrıca Utermann tarafından apo B farklılığı üzerine apo E polimorfizminin %12'lik bir etkisinin bulunduğu bildirilmiştir. Bununla birlikte apo A1 üzerine apo E polimorfizminin herhangi bir etkisi olmadığı bildirilmektedir. Diğer taraftan ateroskleroz açısından bağımsız risk faktörü olarak değerlendirilen Lp (a) üzerine apo E polimorfizminin etkisi ile ilgili yeterli çalışma bulunmamaktadır. (12, 76, 92)

Bizim çalışmamızda gruplar arası apo AI farklılığı, istatistiksel açıdan anlam taşımamakla birlikte, HDL kolesterol sonuçlarına uygunluk göstermektedir. Benzer uygunluk, apo B ile LDL kolesterol ve apo B ile Lp (a) arasında da gözlenmektedir (Tablo XXV). LDL kolesterol, Lp (a) ve apo B grup ortalamalarını yüksek düzeyden düşüge doğru sıralayacak olursak E3/3> E 3/4> E 2/3 dizilimini elde etmekteyiz.

Olgu kaynağına göre, apo E genotiplerinin lipit parametreleri üzerine olan etkileri, sayı yetersizliği nedeniyle istatistiksel açıdan anlamlı olmayacağı düşünülerek yapılmamıştır.

Ateroskleroz açısından yüksekliği ya da düşüklüğü risk faktörü olarak değerlendirilen lipit parametrelerine göre apo E allellerinin % dağılımı tablo XXVIII'de verilmektedir. Risk (-) grupta ε2 aleli, risk (+) gruba göre oldukça yüksek yüzdeyle saptanmıştır. Bunun yanında risk (-) gruba göre risk (+) grupta ε4 allelinin daha yüksek yüzdeye sahip olması beklenirken, daha düşük olarak bulunmuştur. Bu sonuç, ε4 alellini taşıyan bireylerin ateroskleroz riski taşıdığını yönelik bir değerlendirme yapmamızı engellemektedir.

Bu çalışma ile;

- Total ve LDL kolesterol ile apo B ve Lp (a) yüksekliği, HDL kolesterol ve apo AI düşüklüğü gibi ateroskleroz açısından risk faktörleri olarak kabul edilen parametreler özellikle erkek populasyonunda saptanmıştır. Hem LCAT eksikliği gibi genetik faktörler, hem de beslenme alışkanlığı ve egzersiz gibi çevresel faktörler üzerinde yoğunlaşarak, bu konudaki çalışmalar ilerletilmelidir.
- Çukurova Bölgesi'nin apo E genotipleri ve allellerinin sıklığı açısından Asya populasyonuna paralellik gösterdiği, diğer taraftan total ve LDL kolesterolinin yüksek olarak saptandığı Yemişli köyü olgularının ise batı toplumuna benzerlik gösterdiği ortaya çıkmaktadır. ε4 allelinin daha yüksek olarak saptandığı bu köyde, halkın, ateroskleroz risk faktörleri ve korunma amacıyla yapılması gerekenler konusunda aydınlatılmasını gerekli kılmaktadır.
- Başlangıç olarak düşünülen bu çalışmanın, olgu sayısının artırılması ile lipit parametreleri ile apo E genotipleri arasındaki ilişki açısından daha

anlamlı sonuçlar vereceği düşüncesi ağırlık taşımaktadır. Bununla birlikte, çalışmaya alınan olguların belirli aralıklarla izlenmesinin de lipit parametrelerinin yaşa göre değişkenliğini görmemize katkıda bulunacağı görüşünü taşımaktayız.



## **SONUÇ**

1. Toplam 75 olgunun lipit parametreleri ve apo E genotipleri saptanmıştır.
2. Aterosklerozun risk faktörleri olarak değerlendirilen lipit parametrelerinin olgularımızdaki dağılımı saptanmıştır.
3. Apo E allelelerinin rölatif sıklığı ε2 0.067, ε3 0.820 ve ε4 0.113 olarak tespit edilmiştir.
4. Genel olarak allel sıklığı Asya populasyonuna uygunluk gösterse de, Yemişli köyü sonuçlarının aterosklerozun daha sık görüldüğü batı toplumuna benzerlik gösterdiği saptanmıştır.
5. Apo E polimorfizminin lipit parametreleri üzerine belirgin bir etkisi saptanamamıştır. Ancak olgu sayısı arttırılarak daha anlamlı sonuçlar alınacağı görüşüne varılmıştır.
6. Çukurova Bölgesi'nin tamamını kapsayacak çalışmalar için ön çalışma yapılmıştır.

## KAYNAKLAR

1. Alberta B, Bray D, Lewis J, Raff M, Roberts K, Watson JD: Molecular Biology of the Cell. New York and London, Garland Publishing Inc., 1994, ed 3 p 303-305.
2. Appel E, Eisenberg S, Roitelman J: Improved PCR Amplification/Hha I restriction for Unambiguous determination of apolipoprotein E alleles. *Clin Chem* 1995; 41/2: 187-190.
3. Asakawa J, Takahashi N, Rosenblum BB, Neel JW: Two-dimensional gel studies of genetic variation in the plasma proteins of Amerindians and Japanese. *Hum Genet* 1985; 70: 222-230.
4. Beaudet AL, Scriver CR, Sly WS, Valle D: Genetics, Biochemistry, and Molecular Basis of Variant Human Phenotypes in Scriver CR, Beaudet AL, Sly WS, Valle D (eds): The Metabolic and Molecular Bases of Inherited Disease. USA: Mc Graw-Hill Inc., 1995; ed 7 p 53-118.
5. Berg K: A new serum type system in man: The Lp-system. *Acta Pathol Microbial Scand* 1963; 59: 369-382.
6. Bhagavan NV: Medical Biochemistry, USA, Jones and Bartlett Publishers Inc., 1992, ed 2 p 384-419.
7. Bhatnagar D, and Durrington PN: Clinical value of apolipoprotein measurement. *Ann Clin Biochem* 1991; 28: 427-437.
8. Boerwinkle E, Sing CF: The use of measured genotype information in the analysis of quantitative phenotypes in man. III. Simultaneous estimation of the frequencies and effects on cholesterol, betalipoprotein and triglyceride levels. *Ann Hum Genet* 1987; 51: 211-226.
9. Bouthillier D, Sing CF, Davidnon J: Apolipoprotein E phenotyping with a single gel method-application to the study of informative matings. *J Lipid Res* 1983; 24: 1060-1069.
10. Breslow JL: Apolipoprotein genetic variation and human disease. *Physiol Rev* 1988; 65: 85-132.
11. Brown MS, Goldstein JL: A receptor mediated pathway for cholesterol homeostasis. *Science* 1986; 232: 34-47.

12. Choe YH, Choi Y, Kim JQ: Lipoprotein (a) in Korean children and a history of coronary or cerebral vascular events in their older family members. **Ann Clin Biochem** 1997; 34: 179-184.
13. Civeira F, Pocovi M, Cenarro A, Casao E, Joven J, Gonzalez J, Garcia-Otin AL, Ordovas JM: Apo E variants in patients with type III hyperlipoproteinemia. **Atherosclerosis** 1996; 127 (2): 273-282
14. Clavel C, Durlach A, Durlach V, Birembaut P: Rapid and safe determination of human apolipoprotein E genotypes by miniaturised SDS-PAGE in non-insulin dependent diabetes mellitus. **J Clin Pathol** 1995; 48: 295-299.
15. Clay MA, Anantharamaiah GM, Mistry MJ, Balasubramaniam A, and Harmony JAK: Localization of a domain in apolipoprotein E with both cytostatic and cytotoxic activity. **Biochemistry** 1995; 34: 11142-11151.
16. Cumming AM, Robertson F: Polymorphism at the apo E locus in relation to risk of coronary disease. **Clin Genet** 1984; 25: 310-313.
17. Dallinga-Thie GM, Trip ML-S, Kock LAW, De Bruin TWA: Apolipoprotein E2/E3/E4 genotyping with agarose gels. **Clin Chem** 1995; 41/1: 73-75.
18. Das KH, McPherson J, Bruns GAP, Karathanasis SK, and Breslow JL: Isolation, characterization, and mapping to chromosome 19 of the human apolipoprotein E gene. **J Biol Chem** 1985; 260: 6240-6247.
19. Davignon J, Gregg RE, and Sing CF: Apolipoprotein E polymorphism and atherosclerosis. **Arteriosclerosis** 1988; 8: 1-21.
20. Drayna D, Jarnagin AS, Mc Lean J, Henzel W, Kohr W, Fielding S, Lawn R: Cloning and sequencing of human cholesteryl ester transfer protein cDNA. **Nature** 1987; 327: 632-637.
21. Duly EB, Ward AJ, Kirk CW, Nevin NC, Trinick TR, Nicholls DP, Young IS, Graham CA: Apo E genotype and familial hypercholesterolaemia. **Ann Clin Biochem** 1997; 34: 534-536.
22. Edelstein C, Kezdy F, Scanu AM, Shen BW: Apolipoproteins and the structural organization of plasma lipoproteins: Human plasma high density lipoprotein-3. **J Lipid Res** 1979; 20: 143-148.

23. Ehnholm C, Lukka M, Kuusi T, Nikkila E, Utermann G: Apolipoprotein E polymorphism in the Finish population: gene frequencies and relation to lipoprotein concentrations. *J Lipid Res* 1986; 27: 227-235.
24. Eichner JE, Kuller LH, Orchard TJ, Grandits GA, McCallum LM, Ferrell RE, and Neaton JD: Relation of apolipoprotein E phenotype to myocardial infarction and mortality from coronary artery disease. *Am J Cardiol* 1993; 71: 160-165.
25. Eisenberg S: High density lipoprotein metabolism. *J Lipid Res* 1984; 25: 1017-1025.
26. Eto M, Watanabe K, Ishii K: Reciprocal effects of apolipoprotein E alleles ( $\epsilon 2$  and  $\epsilon 4$ ) on plasma lipid levels in normolipidemic subjects. *Clin Genet* 1986; 29: 477-484.
27. Fielding CJ: Lecithin: cholesterol acyltransferase in Esfahanie M, Swaney J (eds): Advances in Cholesterol Research. Telford, Caldwell Inc., 1990; p 270-279.
28. Fless GM, Zum Mallen ME, Scanu AM: Physico-chemical properties of apolipoprotein (a) and lipoprotein (a) derived from the dissociation of human plasma lipoprotein (a). *J Biol Chem* 1986; 261: 8713-8719.
29. Friedman G, Ben-Yahuda A, Dabach Y, Ben-Naim M: Scavenger receptor activity and expression of apolipoprotein E mRNA in monocyte-derived macrophages of young and old healthy men. *Atherosclerosis* 1997; 128 (1): 67.
30. Guevara J Jr, Knapp RD, Honda S, Northup SR, Morrisett JD: A structural assessment of the apo (a) protein of human lipoprotein (a). *Proteins* 1992; 12: 188-199.
31. Havekes L, Vermeer BJ, Brugmann T, Emeis J: Binding of Lp(a) to the low density lipoprotein receptor of human fibroblast. *FEBS Lett* 1981; 132: 169-173.
32. Havel RJ, Chao YS, Windler EE, Kotite L, Guo LSS: Isoenzyme specificity in the hepatic uptake of apolipoprotein E and the pathogenesis of familial dysbetalipoproteinemia. *Proc Natl Acad Sci* 1980; 77: 4349-4353.
33. Havel RJ, Kane JP: Introduction: Structure and Metabolism of Plasma Lipoproteins in Scriver CR, Beaudet AL, Sly WS, Valle D (eds): The Metabolic

and Molecular Bases of Inherited Disease. USA: Mc Graw-Hill Inc., 1995; ed 7 p 1841-1851.

34. Havel RJ: Origin, Metabolic Fate and Metabolic Function of Plasma Lipoproteins in Steinberg D, Oletsky JM (eds): Contemporary Issues in Endocrinology and Metabolism. New York, Churchill Livingstone, 1987; ed 2 p 117-169.
35. Hixson JE, Vernier DT: Restriction isotyping of human apolipoprotein E by gene amplification and cleavage with Hha I. *J Lipid Res* 1990; 31: 545-548.
36. Humphries SE: The application of molecular biology techniques to the diagnosis of hyperlipidemia and other risk factors for cardiovascular disease. *Clin Chem Acta* 1993; 216: 5-18.
37. Innerarity TL, Friedlander EJ, Rall Jr SC, Weisgraber KH, and Mahley RW: The receptor binding domain of human apolipoprotein E: binding of apolipoprotein E fragments. *J Biol Chem* 1983; 258: 12341-12347.
38. Jackson RL: Lipoprotein Lipase and Hepatic Lipase, in Boyer PD(ed): The Enzymes. New York, New York Academic Sci, 1983; ed 2 p 141-173.
39. Jialal I, Devaraj S: Antioxidants, LDL oxidation and atherosclerosis. *The Fats of Life* 1995; VIII: 9-14.
40. Kamboh MI, Ferrell RE, Kottke B: Expressed hypervariable polymorphism of apolipoprotein (a). *Am J Hum Genet* 1991; 49: 1063-1084.
41. Kraft HG, Menzel HJ, Hoppichler F, Vogel W, Utermann G: Changes of genetic apolipoprotein phenotypes caused by liver transplantation. Implications for apolipoprotein synthesis. *J Clin Invest* 1989; 83: 137-144.
42. Lahoz C, Osgood D, Wilson PWF, Schaefer EJ, and Ordovas JM: Frequency of phenotype-genotype discrepancies at the apolipoprotein E locus in a large population study. *Clin Chem* 1996; 42/11: 1817-1823.
43. Lazar A, Ignatius Ou S-H, and Mahley RW: Human apolipoprotein E: receptor binding activity of truncated variants with carboxyl-terminal deletions. *J Biol Chem* 1989; 264: 8447-8450.
44. Lazar A, Weisgraber KH, Rall Jr SC, Giladi H, Innerarity TL, Levanon AZ, Boyles JK, Amit B, Gorecki M, Mahley RW, and Vogel T: Site-specific

- mutagenesis of human apolipoprotein E: receptor binding activity of variants with single amino acid substitutions. *J Biol Chem* 1988; 263: 3542-3545.
45. Mahley RW, Rall Jr SC: Type III hyperlipoproteinemia: The role of apolipoprotein E in normal and abnormal lipoprotein metabolism, in Scriver CR, Beaudet AL, Sly WS, Valle D (eds): *The Metabolic and Molecular Bases of Inherited Disease*. USA: Mc Graw-Hill Inc., 1995; ed 7 p 1953-1980.
46. Mahley RW, Weisgraber KH, Innerarity TL, And Rall Jr SC: Genetic defects in lipoprotein metabolism: elevation of atherogenic lipoproteins caused by impaired catabolism. *JAMA* 1991; 265: 78-83.
47. Mahley RW: Apolipoprotein E: cholesterol transport protein with expanding role in cell biology. *Science* 1988; 240: 622-630.
48. Mahley RW: Aterogenezin Hücresel ve Moleküler Biolojisi, İstanbul, Merck Sharp and Dohme (Çeviri Ed.leri Gökdemir O, Palaoğlu KE), 1993 s iii-iv, 43-78.
49. Manke C, Schuster H, Keller C, Wolfram G: The effect of the apolipoprotein E polymorphism on lipid levels in patients with familial defective apolipoprotein B-100. *Clin Investig* 1993; 71: 277-280.
50. Mayes PA: Lipid Transport and Storage in Murray RK, Granner DK, Mayes PA, Rodwell W (eds): *Harpers Biochemistry*, USA: Prentice-Hall International Inc., 1993, ed 23 p 250-265.
51. Mayes PA: Lipids of Physiologic Significance in Murray RK, Granner DK, Mayes PA, Rodwell W (eds): *Harpers Biochemistry*, USA: Prentice-Hall International Inc., 1993, ed 23 p 142-153.
52. Mc Lean JW, Fukazawa C, Taylor JM: Rat apolipoprotein E mRNA. Cloning and sequencing of double-stranded cDNA. *J Biol Chem* 1983; 264: 8993-9000.
53. Mc Lean JW, Tomlinson JE, Kuang W-J, Eaton DL, Chen EY, Fless GM, Scanu AM, Lawn RM: cDNA sequence of human apolipoprotein (a) is homologous to plasminogen. *Nature* 1987; 300: 132-137.
54. Menzel HJ, Kladetzky RG, Assmann G: Apolipoprotein E polymorphism and coronary artery disease. *Arteriosclerosis* 1983; 3: 310-315.

55. Morrisett J, Gaubatz J, Nava M, Guyton J, Hoffmann A, Hachey D: Apo (a) apo B100 in human lipoprotein (a) in Copapano AL, Gotto AM Jr, Smith LC (eds): Drugs Affecting Lipid Metabolism. Boston, Kluwer Inc, 1993; p 161-193.
56. Ordovas JM, Litwack-Klein L, Wilson PWF, Schaefer MM, Schaefer EJ: Apolipoprotein E isoform phenotyping methodology and population frequency with identification of apo E1 and apo E5 isoforms. *J Lipid Res* 1987; 28: 371-380.
57. Paik Y-K, Chang DJ, Reardon CA, Davies GE, Mahley RW, and Taylor JM: Nucleotid sequence and structure of the human apolipoprotein E gene. *Proc Natl Acad Sci* 1985; 82: 3445-3449.
58. Rall Jr SC, and Mahley RW: The role of apolipoprotein E genetic variants in lipoprotein disorders. *J Internal Med* 1992; 231: 653-659.
59. Rall Jr SC, Newhouse YM, Clarke HRG, Weisgraber KH, McCarthy BJ, Mahley RW, and Bersot TP: Type III hyperlipoproteinemia associated with apolipoprotein E phenotype E3/3. *J Clin Invest* 1989; 83: 1095-1101.
60. Rall SC, Weisgraber KH, and Mahley RW: Human apolipoprotein E: the complete amino acid sequence. *J Biol Chem* 1982; 257: 4171-4178.
61. Reed GR: Detecting apo E variants. *The Fats of Life* 1994; VII/1, 10-11.
62. Relkin NR, Kwan YJ, Tsai J, Gandy A: The National Institute on Aging/Alzheimer's Association recomendations on the apolipoprotein E genotyping to Alzheimer's disease. *Ann NY Acad Sci* 1996; 802: 149-176.
63. Rhoads GG, Dahlen G, Berg K, Morton NE, Dannenberg AL: Lp (a) lipoprotein as a risk factor for myocardial infarction. *JAMA* 1986; 256: 2540-2544.
64. Richard P, Thomas G, Pascual de Zulueta M, Luc de Gennes J, Thomas M, Cassaigne A, Béréziat G, Iron A: Common and rare genotypes of human apolipoprotein E determined by specific restriction profiles of polymerase chain reaction-amplified DNA. *Clin Chem* 1994; 40/1: 24-29.
65. Ridker PM, Hennekens CH, Stampfer M: A prospective study of lipoprotein (a) and the risk of myocardial infarction. *JAMA* 1993; 270: 2195-2199.
66. Rifai N: Lipoproteins and apolipoproteins: composition, metabolism, and association with coronary heart disease. *Arch Pathol Lab Med* 1986; 110: 694-701.

67. Rosengren A, Wilhelmsen L, Eriksson E, Risberg B, Wedel-H: Lipoprotein (a) and coronary heart disease: A prospective case-control study in a general population sample of middle aged men. **BMJ** 1990; 301: 1248-1251.
68. Rothblat GH, Mahlberg FH, Johnson WJ, Phillips MC: Apolipoproteins, membrane cholesterol domains, and the regulation of cholesterol efflux. **J Lipid Res** 1992; 33: 1091-1097.
69. Rubinsztein DC: Apolipoprotein E: a review of its roles in lipoprotein metabolism, neuronal growth and repair and as a risk factor for Alzheimer's disease. **Physiol Med** 1995; 25: 223-229.
70. Saiki RK: Amplification of genomic DNA in Imis MA, Gelford DH, Sninsky JJ, White TJ (eds): **PCR Protocols: A Guide to Methods and Applications**. New York, New York Academic Press Inc., 1990, p 13-20.
71. Sandholzer C, Saha N, Kork JD, Rees A, Jaross W, Dieplinger H, Hoppichler F, Boerwinkle E, Utermann G: Apo (a) isoforms predict risk for coronary heart disease: A study in six populations. **Arterioscler Thromb** 1992; 12: 1214-1221.
72. Schaefer EJ, Lamon-Fava S, Jenner JL, McNamara JR, Ordavas JM, David E, Abolafia JM, Lippel K, Levy RI: Lipoprotein (a) levels and risk of coronary heart disease in men. **JAMA** 1994; 271: 999-1003.
73. Schaefer EJ: Overview of the Diagnosis and Treatment of Lipid Disorders. Cambridge, Genzyme Corporation, 1993, p 4-6.
74. Siest G, Pillot T, Régis- Bailly A, Leininger- Muller B, Steinmetz J, Galteau M-M, and Visvikis S: Apolipoprotein E: an important gene and protein to follow in laboratory medicine. **Clin Chem** 1995; 41/8: 1068-1086.
75. Silberman SR, Butman BT: Lipoprotein (a): Recent progress. **The Fats of Life** 1994; VIII: 8-9.
76. Sing CF, Davignon J: Role of the apolipoprotein E polymorphism in determining normal plasma lipid and lipoprotein variation. **Am J Hum Genet** 1985; 37: 268-285.
77. Smith JD, Miyata M, Ginsberg M, Grigaux C, Shmoolder E, Plumps AS: cAMP induces apolipoprotein E binding activity and promotes efflux from a

- macrophage cell line to apolipoprotein acceptors. *J Biol Chem* 1996; 271 (48): 30647-30655.
78. Snyder SM, Terdiman JF, Caan B, Feingold KR, Hubl ST, Smith RS, and Young SG: Relationship of apolipoprotein E phenotypes to hypcholesterolemia. *Am J Med* 1993; 95: 480-488.
79. Stein EA, Myers LG: Lipids, lipoproteins and apolipoproteins in Burtis CA, Ashwood ER (eds): *Tietz Textbook of Clinical Chemistry*. USA, Saunders, 1994, ed 2 p 1002-1093.
80. Steinberg D: Lipoproteins and atherosclerosis: a look back and a look ahead. *Arteriosclerosis* 1983; 3: 283-301.
81. Taddei-Peters WC, Jürgens G, Wiklund O, Költringer P, Petek W, Linden T, Chen Q, Greilberger J, Ulström C, macomber PF, Butman BT, Ransom JH: ELISA quantitation of Lp (a) concentration demonstrates thar Lp (a) is an important risk factor in cerebro- and cardiovascular disease. *Clin Chem* 1994; 40: 1098-1099.
82. Thompson GR: Hiperlipidemi El Kitabı, İstanbul, Merck Sharp and Dohme (Çeviri ed. Tamuçur E), 1989 s 87-99.
83. Tomlinson JE, Mc Lean JW, Lawn RM: Rhesus monkey Lp (a). Sequence, evolution, and sites of synthesis. *J Biol Chem* 1989; 264: 5957-5963.
84. Tsai M-S, Tangalos EG, Petersen RC, Smith GE, Schald DJ, Kokmen E, Ivnik RJ, and Thibodeau SN: Apolipoprotein E: risk factor for Alzheimer disease. *Am J Hum Genet* 1994; 54: 643-649.
85. Unger ER, Piper MA: Nucleic Acid Biochemistry and Diagnostic Applications in Burtis CA, Ashwood ER (eds): *Tietz Textbook of Clinical Chemistry*. USA, Saunders, 1994, ed 2 p 594-624.
86. Utermann G, Hees M, Steinmetz A: Polymorphism of apolipoprotein E and occurence of dysbetalipoproteinemia. *Nature* 1977; 33: 11-24.
87. Utermann G, Jaeschke M, Menzel J: Familial hyperlipoproteinemia type III. Deficiency of a specific apolipoprotein ( apo EIII ) in the very low density lipoproteins. *FEBS Lett* 1975; 56: 352-355.

88. Utermann G, Pruijn N, Steinmetz A: Polymorphism of apolipoprotein E. III. Effect of single polymorphic gene locus on plasma lipid levels in man. **Clin Genet** 1979; 15: 63-72.
89. Utermann G, Weber W: Protein composition of Lp (a) lipoprotein from human plasma. **FEBS Lett** 1983; 154: 357-361.
90. Utermann G, Wiegend H: Separation and characterization of a lipoprotein with antigenic activity in the Lp (a) system. **Hum Genet** 1969; 8: 39-45.
91. Utermann G: Apolipoprotein E mutants, hyperlipidemia and arteriosclerosis. **Adv Exp Med Biol** 1985; 183: 173-188.
92. Utermann G: Genetic polymorphism in apolipoprotein E-Impact on plasma lipoprotein metabolism in Crepaldi G, Tiengo A, Baggio G (eds): **Diabetes, Obesity and Hyperlipidemias III**. Amsterdam, Excerpta Medica, 1985, p 1-28.
93. Utermann G: Lipoprotein (a) in Scriver CR, Beaudet AL, Sly WS, Valle D (eds): **The Metabolic and Molecular Bases of Inherited Disease**. USA: McGraw-Hill Inc., 1995; ed 7 p 1887-1912.
94. Utermann G: The mysteries of lipoprotein (a). **Science** 1989; 246: 904-910.
95. van Holde KE, Mathews C: Biochemistry. The Benjamin/Cummings Publishing Company Inc., USA, 1990: 571-603.
96. Walden CC, and Hegele RA: Apolipoprotein E in hyperlipidemia. **Ann Intern Med** 1994; 120: 1026-1036.
97. Wang K: Studies of human apolipoprotein E genetic isoforms and their phenotypes among the Chinese population. **Acta Acad Med Sinicae** 1986; 8: 198.
98. Weisgraber KH, Innerarity TL, Harder KJ, Mahley RW, Milne RW, Marcel YL, and Sparrow JT: The receptor binding domain of human apolipoprotein E: monoclonal antibody inhibition of binding. **J Biol Chem** 1983; 258: 12348-12354.
99. Weisgraber KH, Mahley RW: Human apolipoprotein E the Alzheimer's disease connection. **FASEB J** 1996; 10 (13): 1485-1494.
100. Wenham PR, Price WH, Blundell G: Apolipoprotein E genotyping by one stage PCR. **Lancet** 1991; 337: 1158-1159.

101. Wenham PR, Sedky A, and Spooner RJ: Apolipoprotein E phenotyping: a word of caution. *Ann Clin Biochem* 1991; 28: 599-605.
102. Westerlund JA, and Weisgraber KH: Discrete carboxy-terminal segments of apolipoprotein E mediate lipoprotein association and protein oligomerization. *J Biol Chem* 1993; 268: 15745- 15750.
103. Williams KJ, Fless GM, Petrie KA, Synder ML, Brocia RW, Swenson TL: Mechanisms by which lipoprotein lipase alters cellular metabolism of lipoprotein (a), low density lipoprotein, and nascent lipoproteins. Roles for low density lipoprotein receptors and heparan sulfate proteoglycans. *J Biol Chem* 1992; 267: 13284-13291.
104. Wilson PWF: Relation of high-density lipoprotein subfractions and apolipoprotein E isoforms to coronary disease. *Clin Chem* 1995; 41/5: 165-169.
105. Yüregir GT, Arpacı A, Tuli A: Temel ve Klinik Biyokimya'da İleri Teknoloji ve Yöntemleri. Adana, Çukurova Üniversitesi Tıp Fakültesi Yayınları, 1995, p 45-47.
106. Zannis VI, and Breslow JL: Human very low density lipoprotein apolipoprotein E isoprotein is explained by genetic variation and posttranslational modification. *Biochemistry* 1981; 20: 1033-1041.
107. Zhao S-P, Van Den Maagdenberg MJM, Vroom TFFP, Hooft FMV, Leuven JAG, Havekes LM, Frants RR, Van Der Laarse A, and Smelt AHM: lipoprotein profiles in a family with two mutants of apolipoprotein E: possible association with hypertriglyceridemia but not with dysbetalipoproteinemia. *Clin Sci* 1994; 86: 323-329.
108. Zioncheck TF, Powell LM, Rice GC, Eaton DL, Lawn RM: Interaction of recombinant apolipoprotein (a) and lipoprotein (a) with macrophages. *J Clin Invest* 1991; 87: 767-772.
109. Zubay G: Biochemistry. USA, Wm. C. Brown Publishers Inc., 1993, ed 3 p 635- 658.